









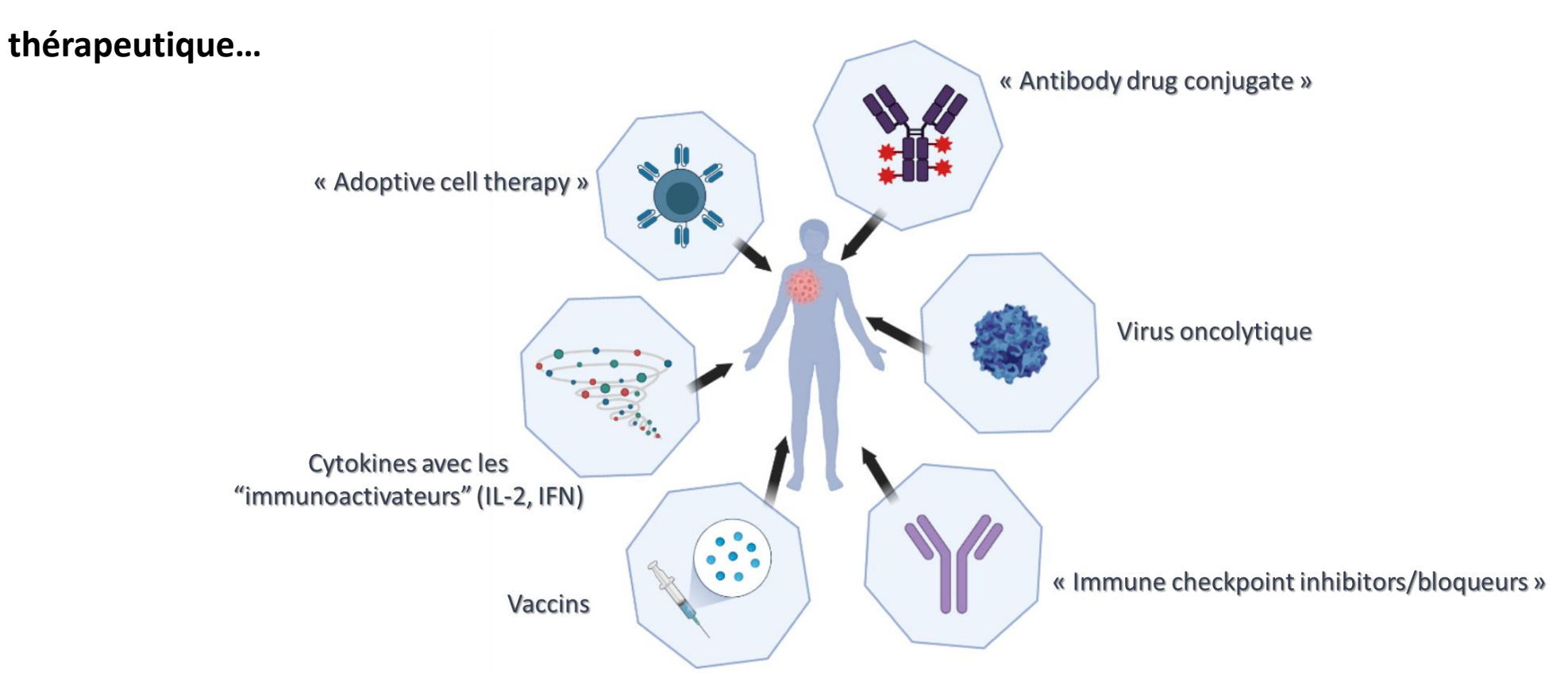
Les radiopharmaceutiques : Innover pour une meilleure prise en charge des patients

Charles TRUILLET

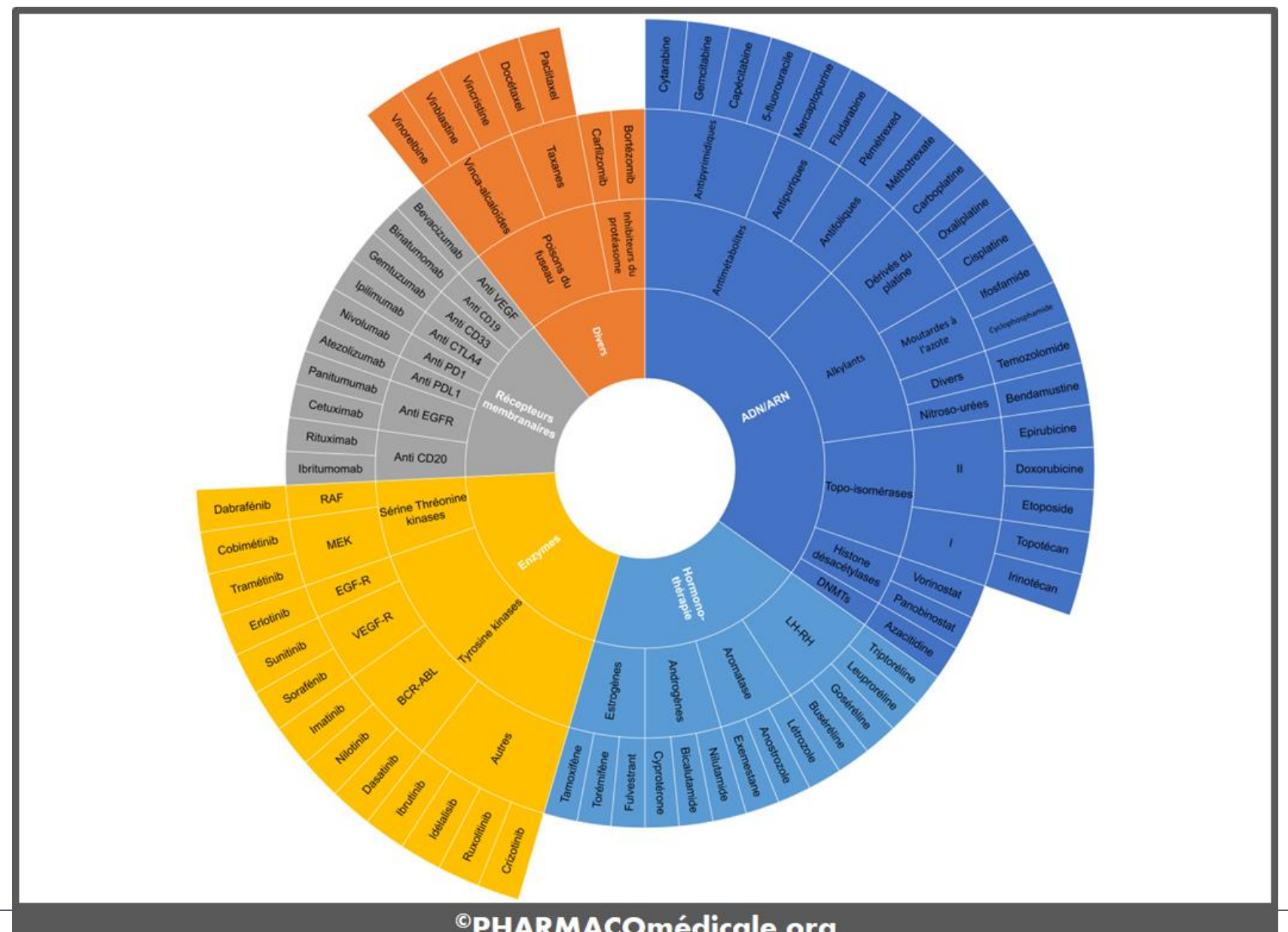
charles.truillet@cea.fr



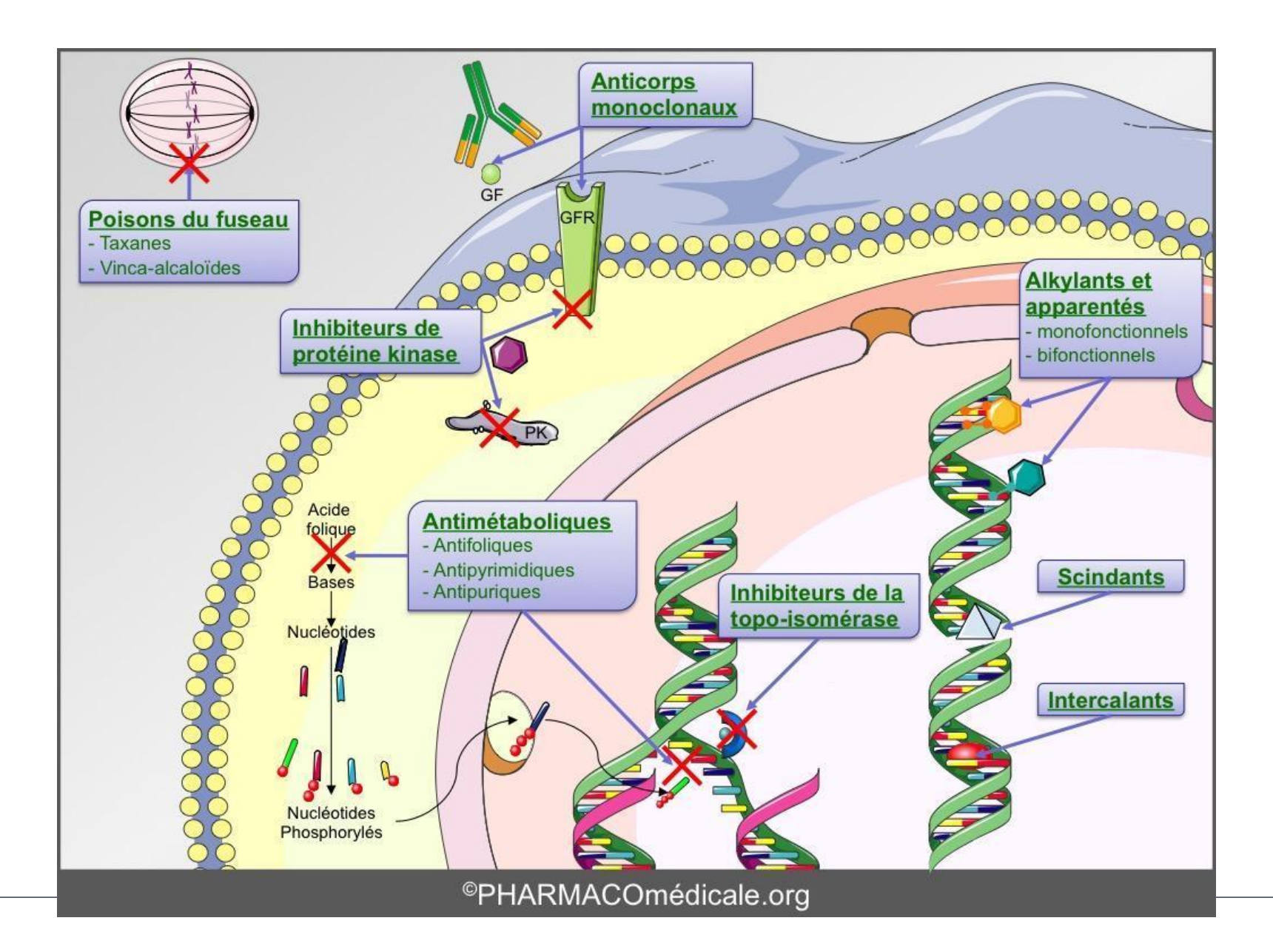
- Développement de nouvelles thérapies (oncologie)
- Besoin d'imagerie en recherche : biodistribution, essais cliniques précoces...
- Besoin d'imagerie en routine clinique : médecine personnalisée, screening pré-thérapeutique, évaluation







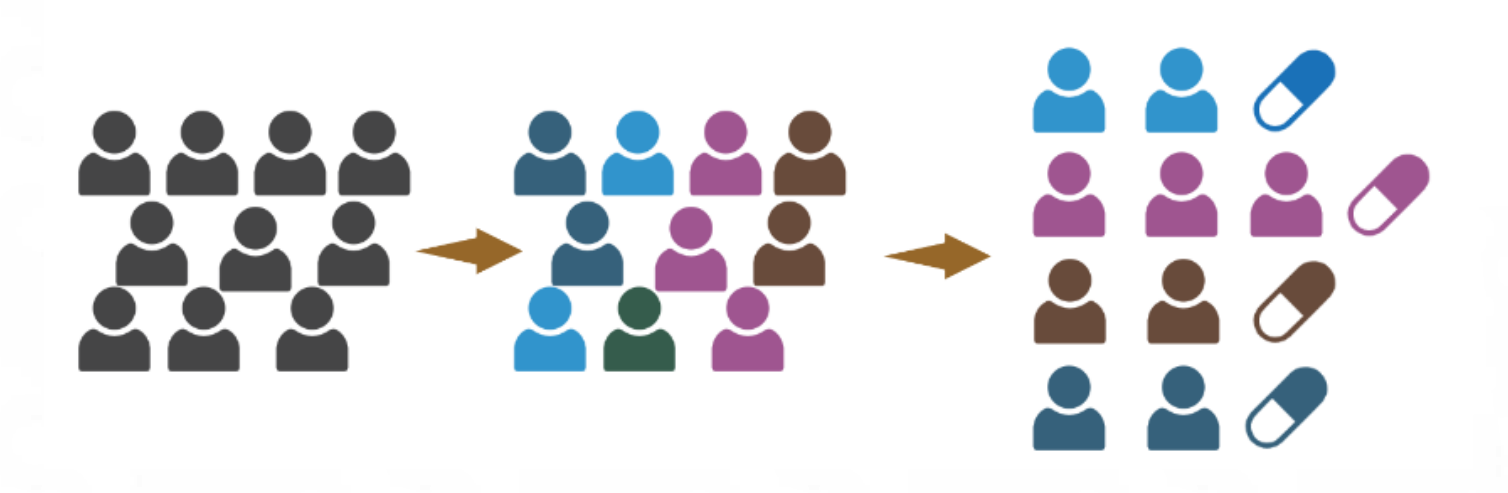






Une médecine personnalisée au centre des thérapies "Nouvelles Générations"

→ Un besoin fort d'aller vers une médecine personnalisée



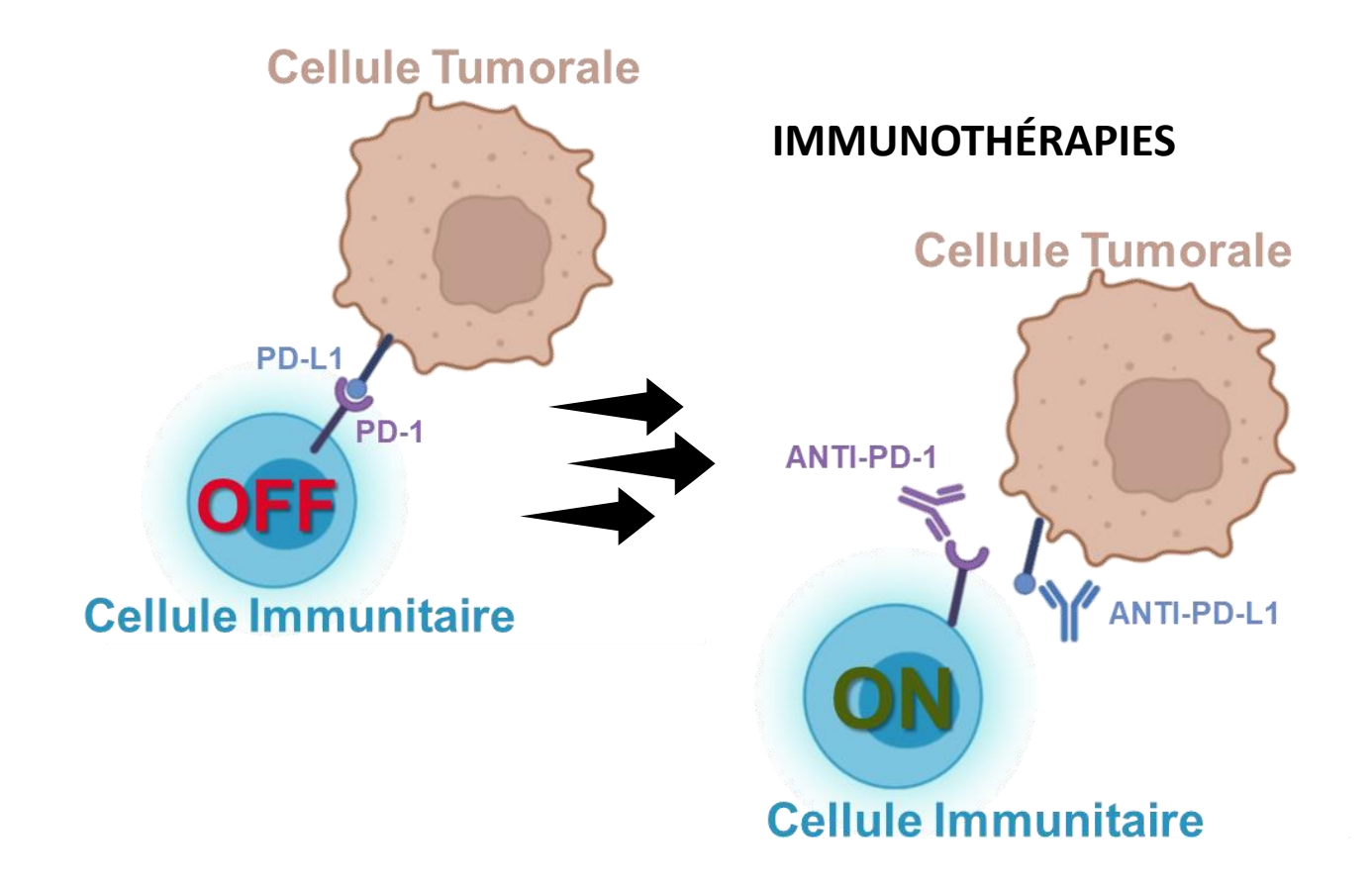
- Pronostique
- Prédictif
- Surveillance
- Progression
- Pharmacodynamique





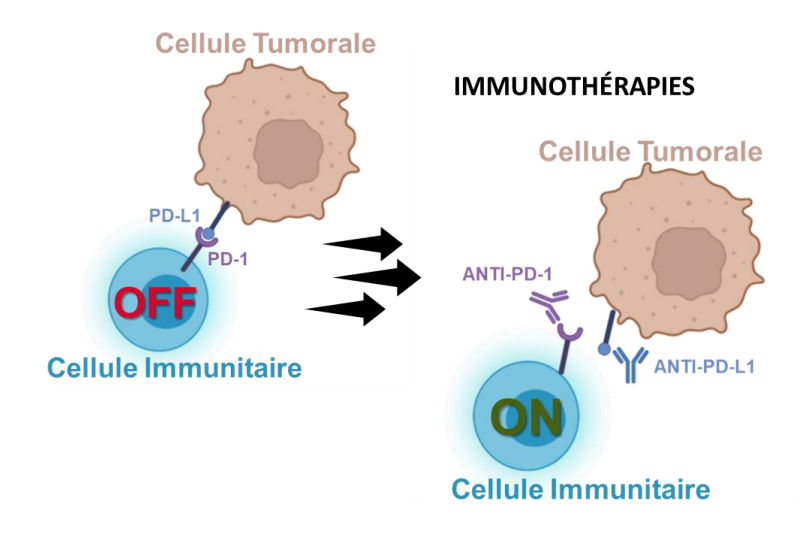












→ Exemple de PD-1/PD-L1



Réponses durables



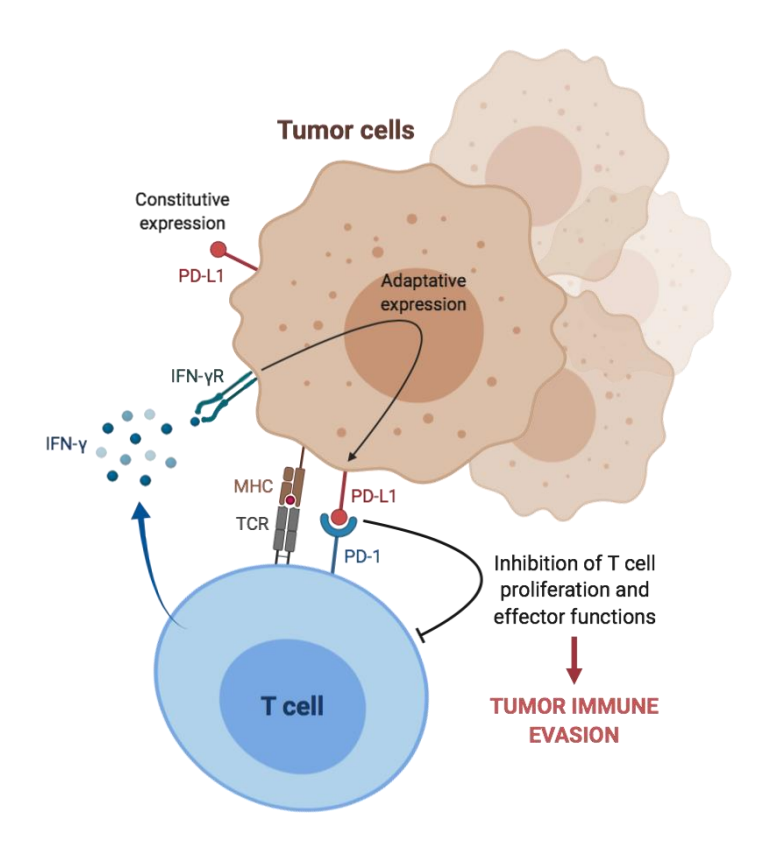


Risque d'effets indésirables (p. Ex. Pneumopathie, colite)



Coût élevé





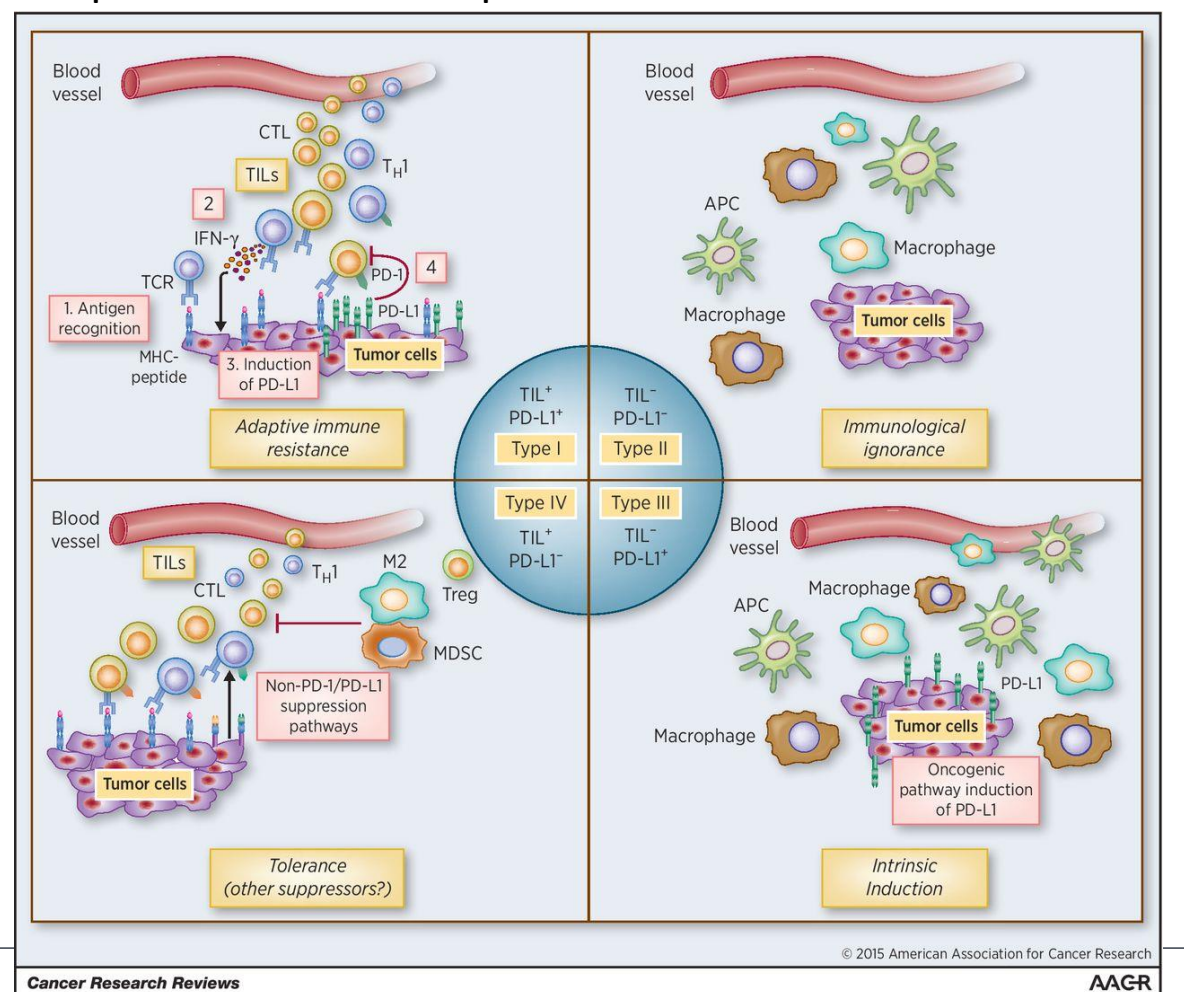
→ Importance de trouver des biomarqueurs d'intérêts pour caractériser l'environnement tumoral complexe pour optimiser le traitement individuel.

Exemple: dosages par immunohistochimie (IHC) de PD-L1 et CD8+.





PD-L1 & CD8 sont actuellement les biomarqueurs en IHC les plus utilisés comme diagnostic compagnon clinique pour la stratification des patients atteints du poumon.

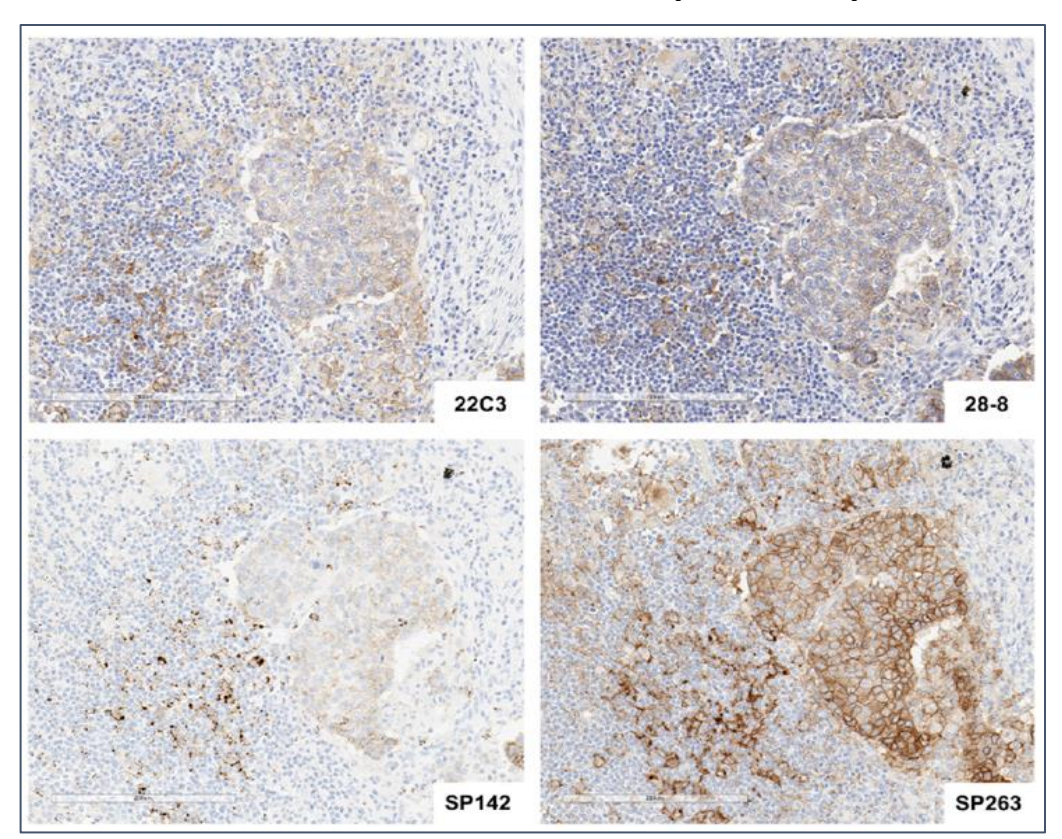


Theranostics. 2019; 9(17): 5085-5104.

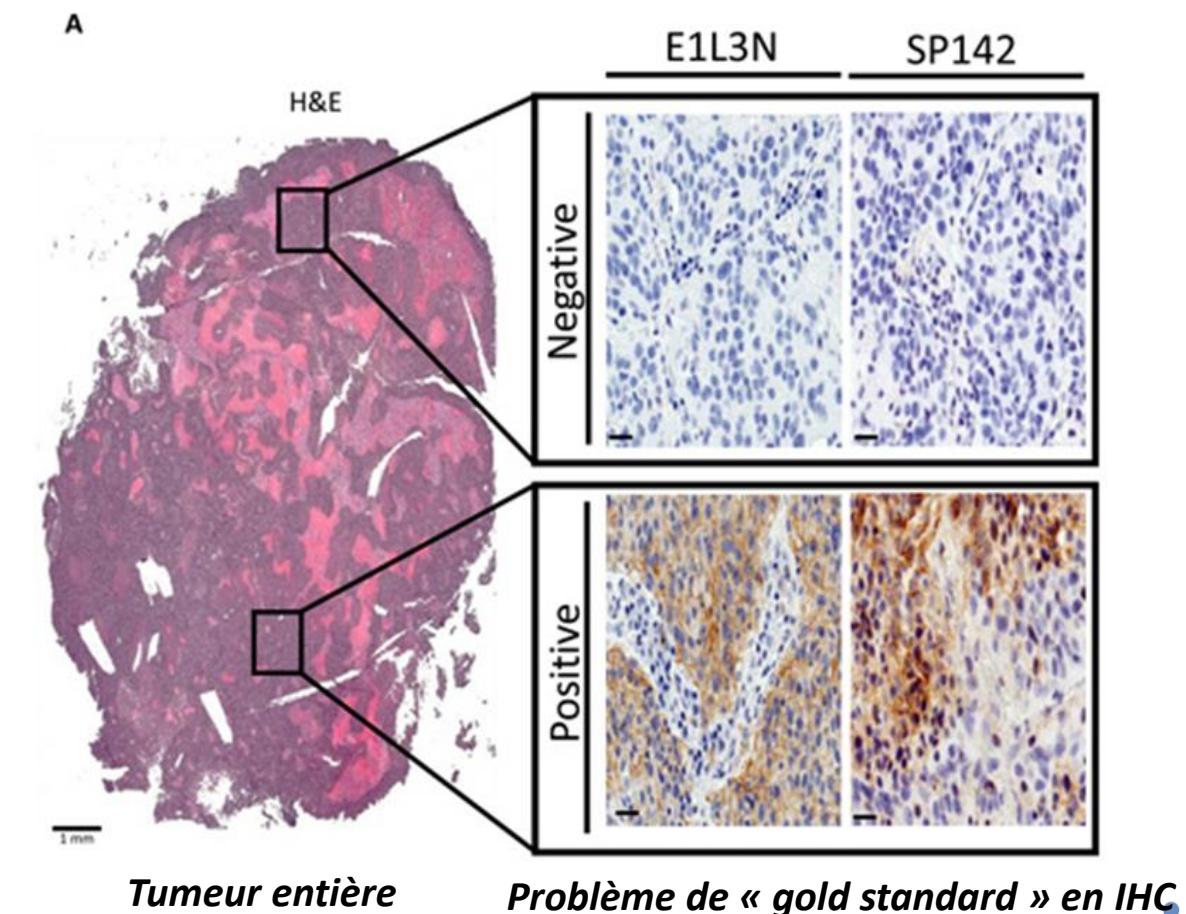


Contexte: un exemple avec les immunothérapies anti-PD-L1/PD-1

- ! IHC sur biopsie présente plusieurs limites :
 - Variabilité entre les protocole d'IHC
 - Mauvaise estimation de l'expression spatiale et temporelle de PD-L1.



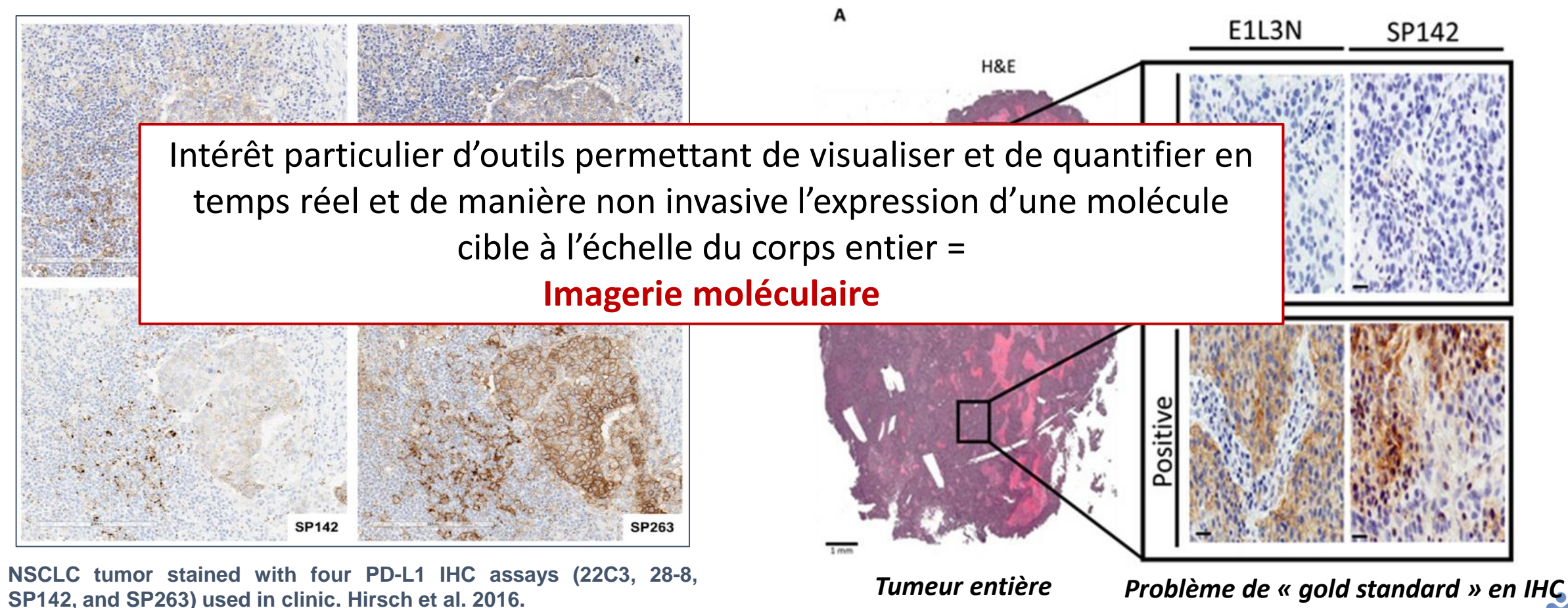
NSCLC tumor stained with four PD-L1 IHC assays (22C3, 28-8, SP142, and SP263) used in clinic. Hirsch et al. 2016.





Contexte: un exemple avec les immunothérapies anti-PD-L1/PD-1

- ! IHC sur biopsie présente plusieurs limites :
 - Variabilité entre les protocole d'IHC
 - Mauvaise estimation de l'expression spatiale et temporelle de PD-L1.





Contexte

- Développement de l'immunothérapie (oncologie)
- Besoin d'imagerie en recherche : biodistribution, essais cliniques précoces...

• Besoin d'imagerie en routine clinique : médecine personnalisée, screening pré-thérapeutique, évaluation

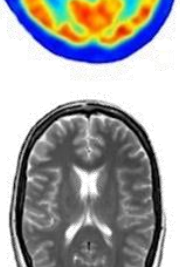
thérapeutique...

Imagerie fonctionnelle in vivo

• Imagerie optique (bioluminescence, fluorescence)

• Radiologie : US, IRM, TDM

• Médecine nucléaire : TEP, TEMP



MRI Magnetic Resonance Imaging

PET/SPECT

Nuclear Medicine



CT Computerized Axial Tomography



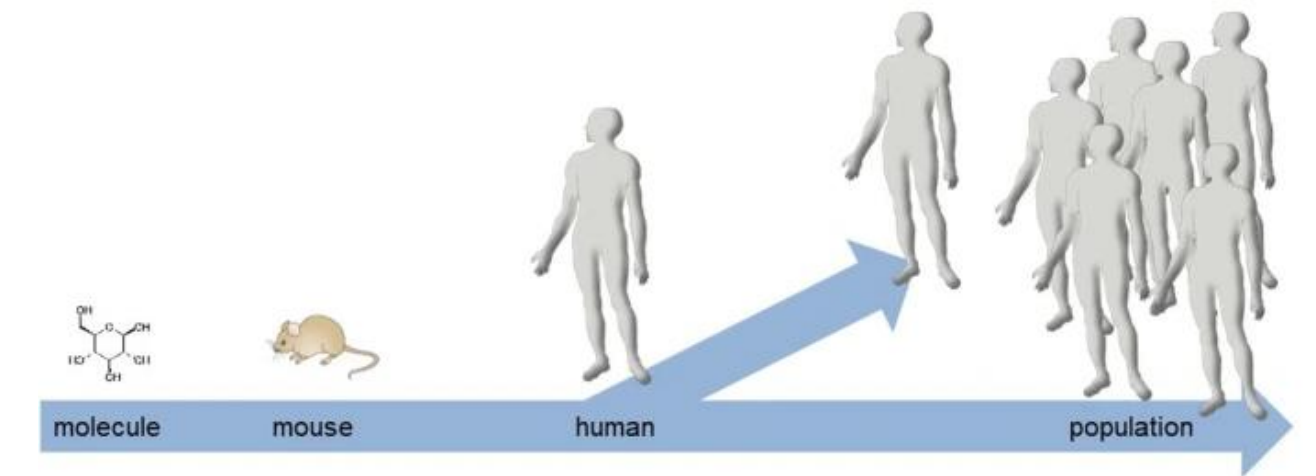
ULTRASOUND Sonography



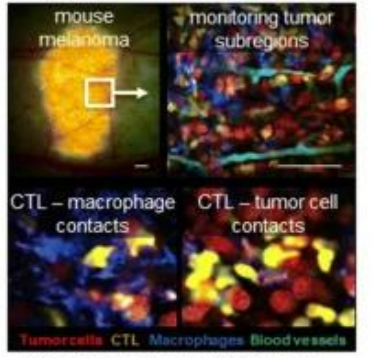


Le rôle de l'imagerie non invasive in vivo

Besoin urgent de méthodes ou/et biomarqueurs pour prédire et sélectionner les patients pouvant répondre positivement.

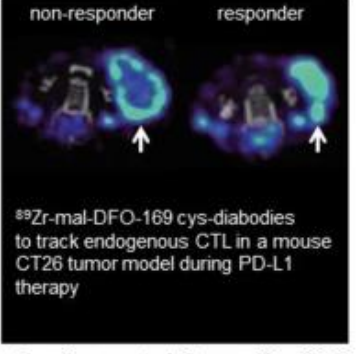


drug development



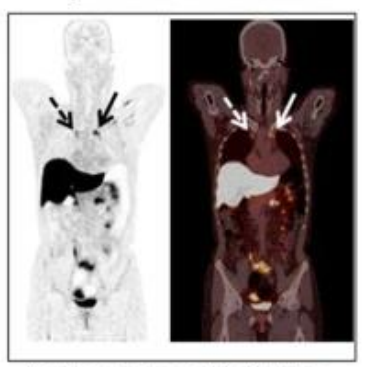
Weigelin et. al. unpublished data

response monitoring



from Tavare et al. Cancer Res 2016

patient stratification



Aarntzen et al. unpublished data







Advantages:

- · High temporal resolution
- Noninvasive functional imaging
- · High sensitivity and low costs Disadvantages:
- · Low penetration of tissue
- · Non-quantification



Advantages:

- · High spatial resolution
- · extracting physiological, molecular and anatomical information
- Disadvantages:
- ·Time-consuming
- · Expensive costs





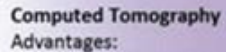
Ultrasound imaging

Advantages:

- ·Clinical friendly
- · High spatial and temporal resolution
- · Low costs

Disadvantages:

· Limitation in bone and lung



- · High spatial resolution Disadvantages:
- · Limitation in biocompatible contrasts
- · Radiation exposure



· Limited imaging in soft tissue

PET imaging

Advantages:

- · High sensitivity
- · High penetration depth
- Disadvantages:
- · High costs

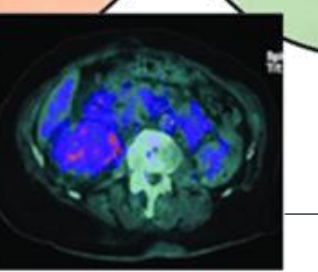
SPECT imaging

Advantages:

- · Different radioisotopes labeling simultaneously
- · High penetration depth
- · Low costs

Disadvantages:

- · Limitation in spatial resolution
- · Influences on biomolecules







Le rôle de l'imagerie non invasive in vivo

L'imagerie comme biomarqueur central en oncologie/immuno-oncologie

STRUCTURAL

Gd-enhancing MRI Flair MRI CT

PHYSIOLOGICAL

Diffusion-Weighted or Perfusion-Weighted MRI

ADC Ktrans

DCE DTI

DSC Diffusion Kurtosis Imaging

Microenvironment PET/MRI

рΗ

Hypoxia

MOLECULAR

Tumor Cell or Immune Cell PET/MRI

MR spectroscopy

Amino Acid PET

PET/MRI cell tracking

Antibody PET

Proliferation PET

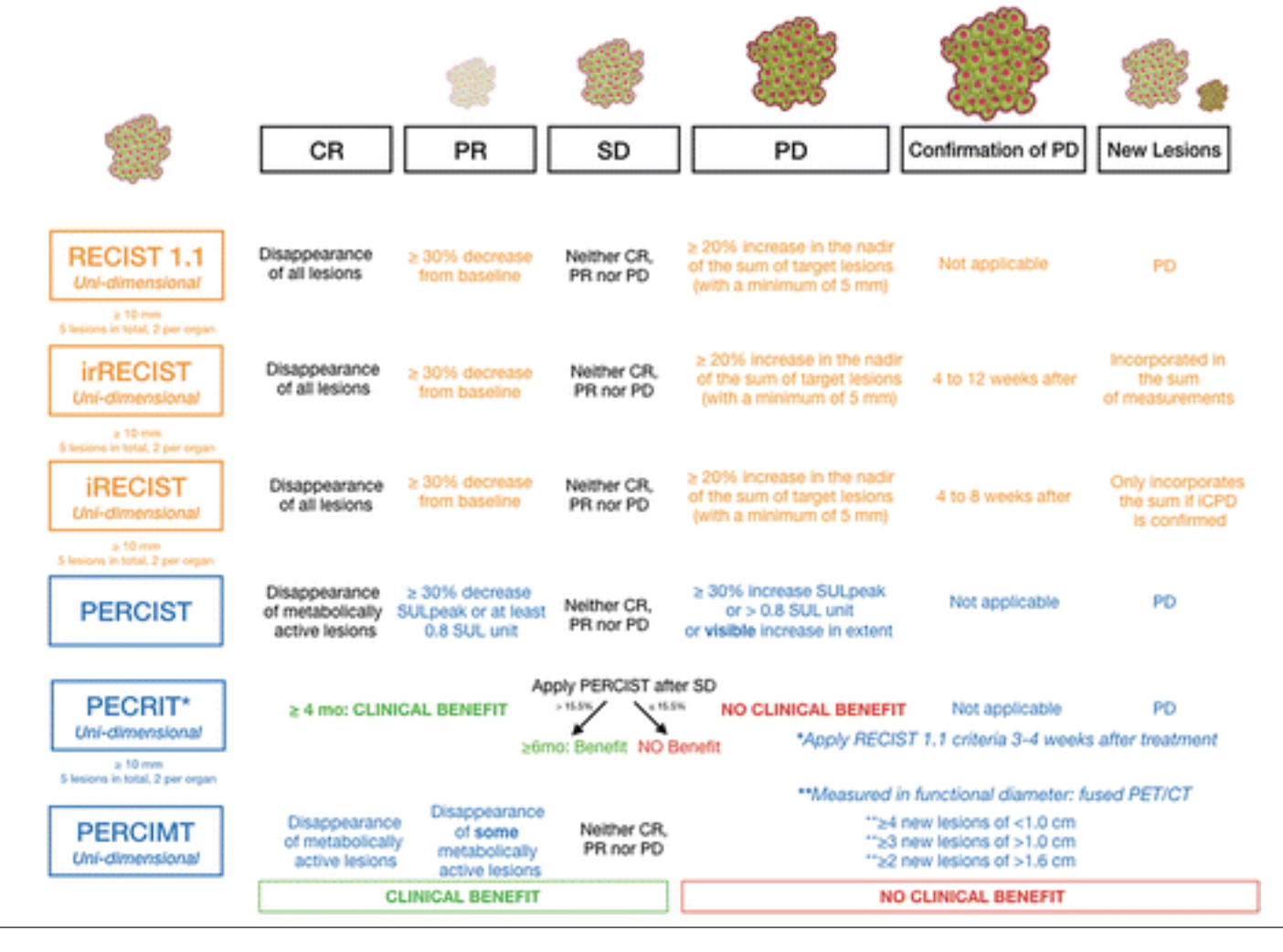
Reporter gene PET





→ L'évaluation de la réponse thérapeutique fondée sur l'imagerie est utilisée depuis des années pour prédire la progression de la maladie et l'efficacité thérapeutique.

- Critères morphologiques (OMS, SWOG) et les deux versions des critères RECIST - sont les plus couramment utilisés.
- Ces critères reposent sur les changements de taille de la tumeur.







→ L'évaluation de la réponse thérapeutique fondée sur l'imagerie est utilisée depuis des années pour prédire la progression de la maladie et l'efficacité thérapeutique.

STRUCTURAL

Gd-enhancing MRI Flair MRI CT

Gold standard en oncologie :

Réponse objective tumorale basée sur les critères RECIST et RANO des essais cliniques.

Adaptation de ces critères pour les essais impliquant des immunothérapies : iRECIST et iRANO (2016).

Stratégie « wait and see » : potentiellement une perte de chance pour les patients.



Le rôle de l'imagerie non invasive in vivo

L'imagerie comme biomarqueur central en oncologie/immuno-oncologie

STRUCTURAL

Gd-enhancing MRI Flair MRI CT

PHYSIOLOGICAL

Diffusion-Weighted or Perfusion-Weighted MRI

ADC Ktrans

DCE DTI

DSC Diffusion Kurtosis Imaging

Microenvironment PET/MRI

рΗ

Hypoxia

MOLECULAR

Tumor Cell or Immune Cell PET/MRI

MR spectroscopy

Amino Acid PET

PET/MRI cell tracking

Antibody PET

Proliferation PET

Reporter gene PET





Contexte

- Développement de l'immunothérapie (oncologie)
- Besoin d'imagerie en recherche : biodistribution, essais cliniques précoces...
- Besoin d'imagerie en routine clinique : médecine personnalisée, screening pré-thérapeutique, évaluation thérapeutique...

Imagerie fonctionnelle in vivo

- Imagerie optique (bioluminescence, fluorescence)
- Radiologie: US, IRM, TDM
- Médecine nucléaire : TEP, TEMP

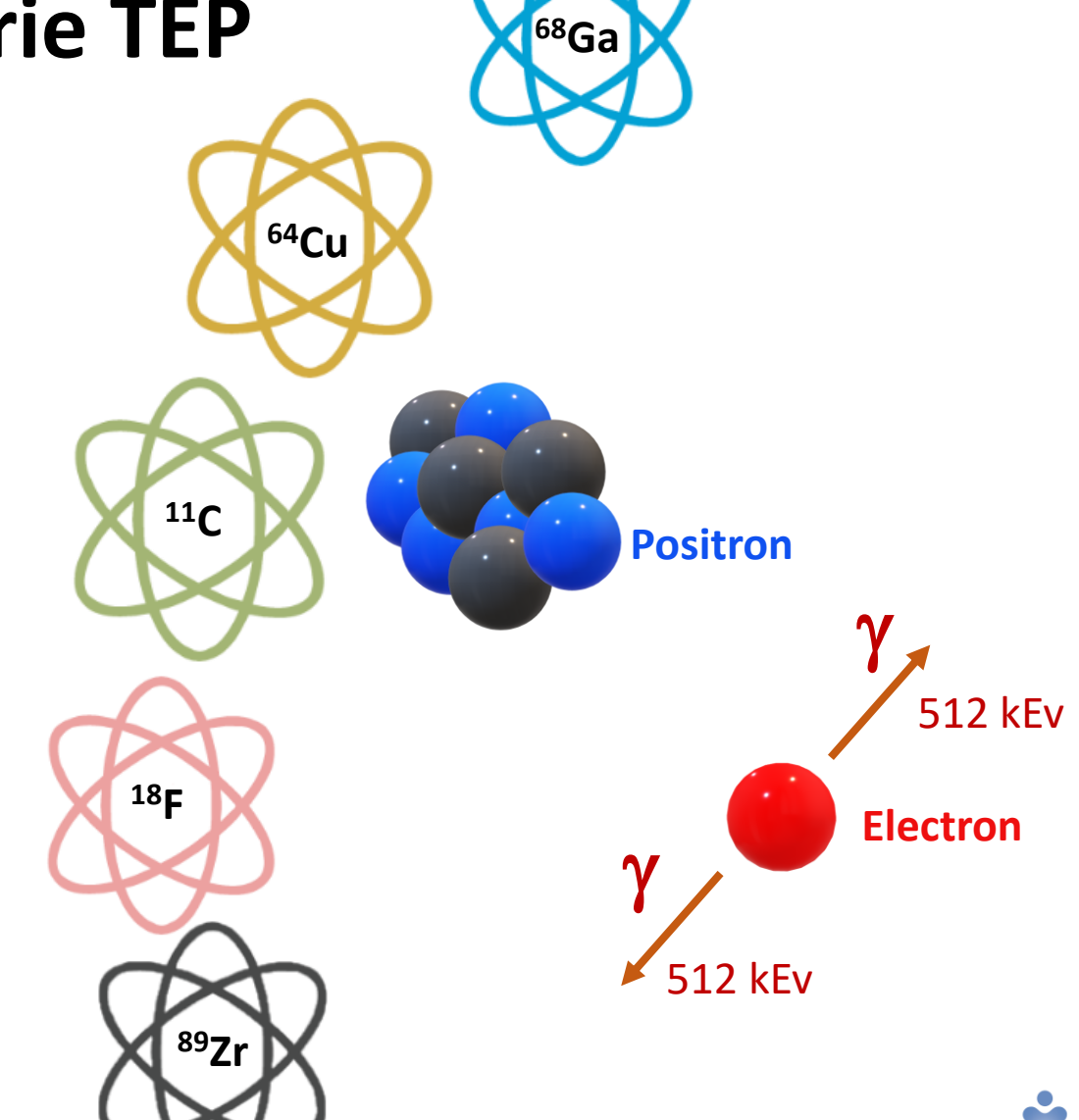
Atouts de la TEP

- Sensible : nano- à pico-mole/L
- Couvre tout l'organisme (imagerie corps entier)
- Quantitatif : SUV (standard uptake value)
- Versatile : possibilités infinies de synthèse de radiotraceurs
- Disponible pour la préclinique et pour la clinique



L'essor des biomarqueurs en imagerie TEP

- Hautement quantifiable
- Corps entier
- Temps réel
- Non invasive



BioMaps



L'essor des biomarqueurs en imagerie TEP

- Hautement quantifiable
- Corps entier
- Temps réel
- Non invasive

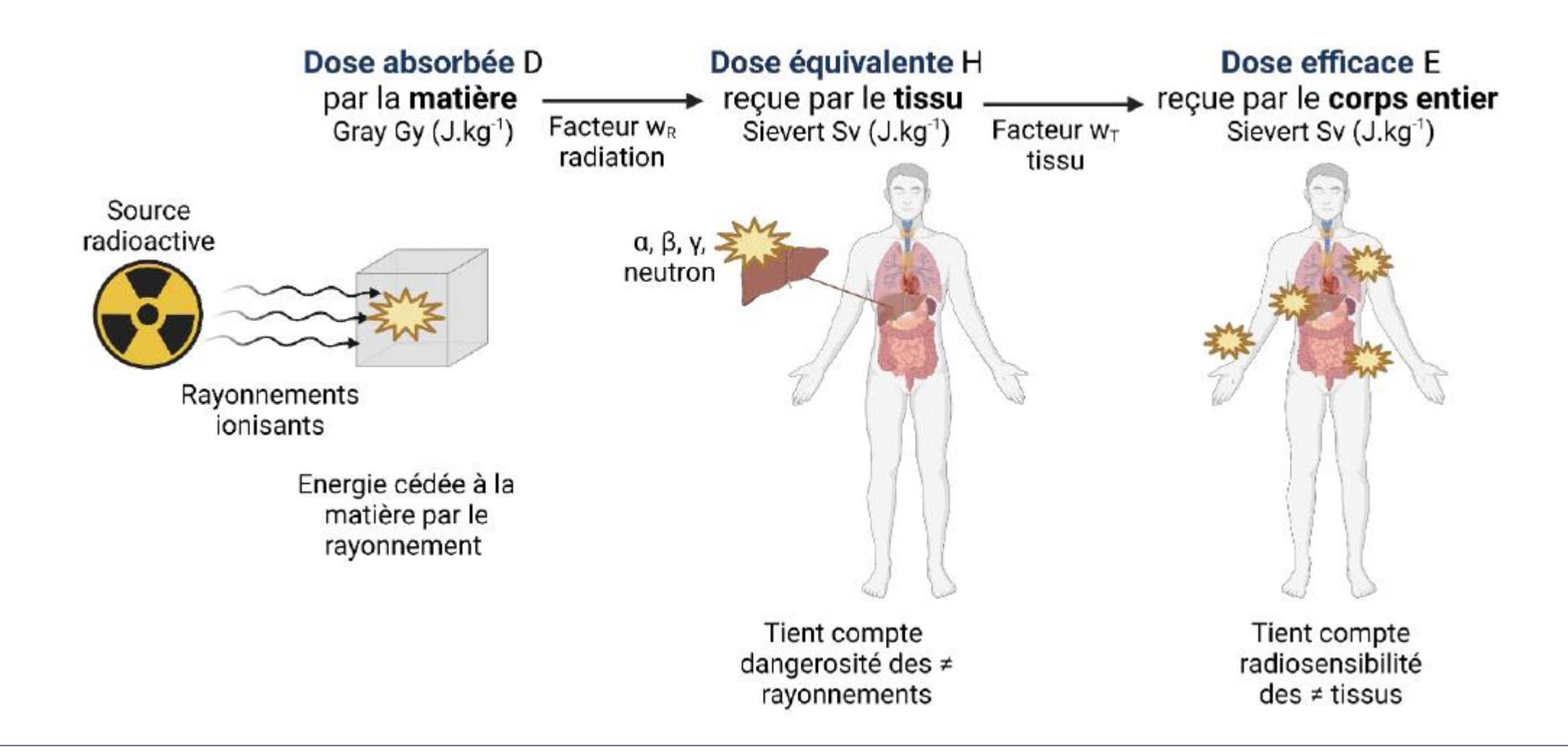
Н	The Imaging Periodic Table												Не				
Li	Be	Alpha emitters α; Beta (electron) emitters β-;										В	C	N	0	F	Ne
	Positron emitters β+; Gamma emitters γ;											β+	β+		β+		
Na	Mg Auger electrons Ae									Al	Si	P	S	Cl	Ar		
		114901 0100110110												β-			
K	Ca	Sc	Ti	V	Cr	Mn	Fe	Co	Ni	Cu	Zn	Ga	Ge	As	Se	Br	Kr
		γ					β+	β+		β-		β-		β-		Ae	
		β-								β+		β+					
										γ		γ					
Rb	Sr	Y	Zr	Nb	Mo	Tc	Ru	Rh	Pd	Ag	Cd	İn	Sn	Sb	Te	Ι	Xe
		β-	β+			γ	γ	γ	β-	γ		γ				γ	
							β-	β-		β-						β-	
							-	-		_						Ae	
Cs	Ba	La	Hf	Ta	W	Re	Os	Ir	Pt	Au	Hg	TI	Pb	Bi	Po	At	Rn
						γ				Ae			β-	α		α	
						β-							Ae				
Fr	Ra	Ac		•	•	_	•	•	•	•	•	•	•		•	•	
	α	α															

Ce	Pr	Nd	Pm	Sm	Eu	Gd	Tb	Dy	Ho	Er	Tm	Yb	Lu
				γ β-				β-	β-			β-	β-
Th	Pa	U	Np	Pu	Am	Cm	Bk	Cf	Es	Fm	Md	No	Lr



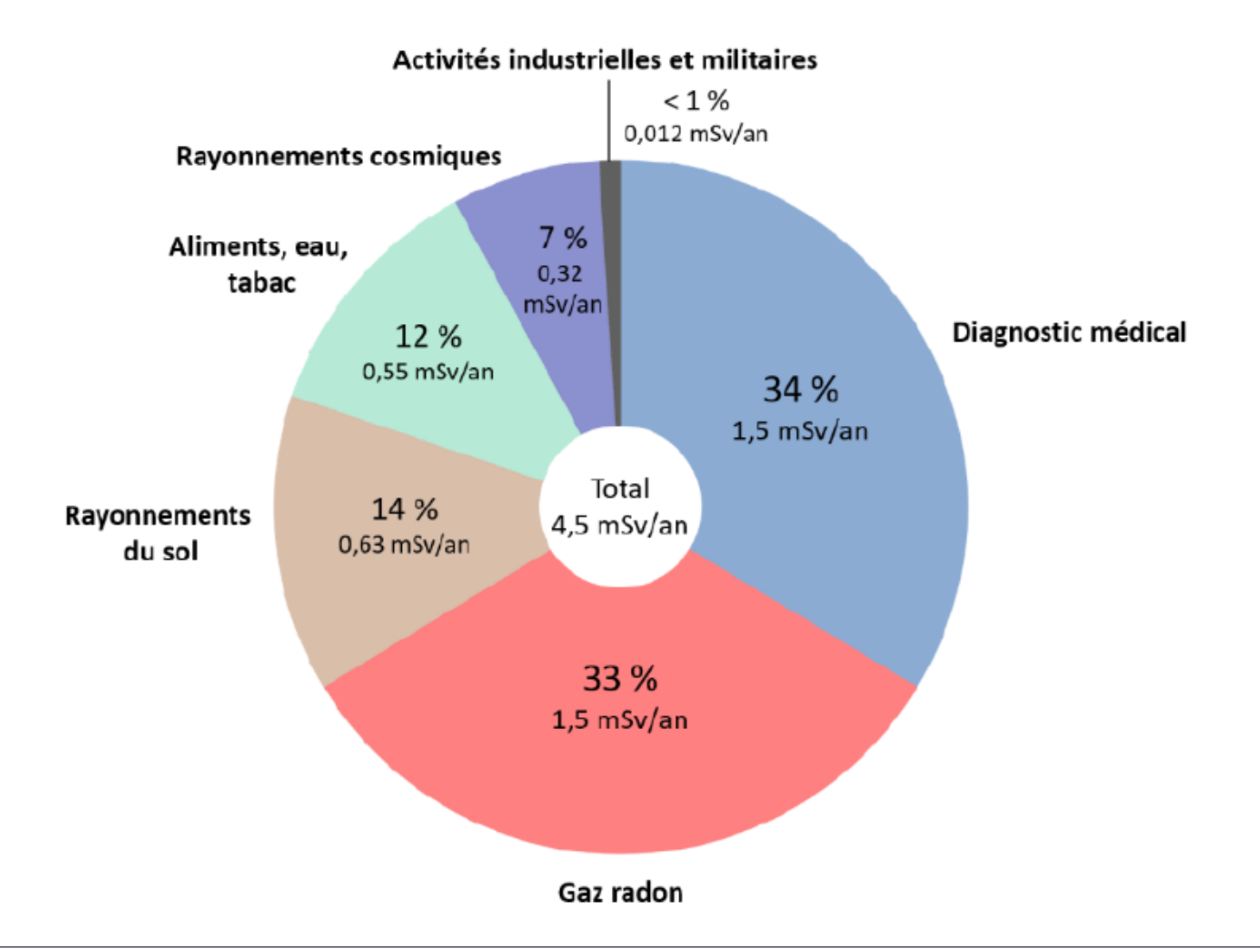


Relation entre la dose absorbée, la dose équivalente et la dose efficace.





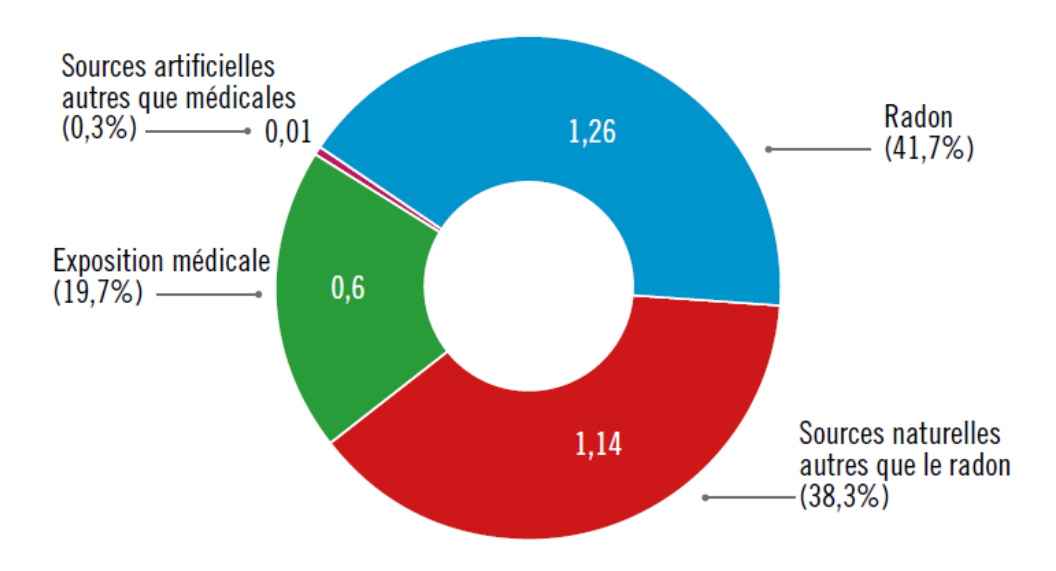
Exposition moyenne d'un individu en France métropolitaine aux diverses sources de radioactivité naturelles et artificielles.





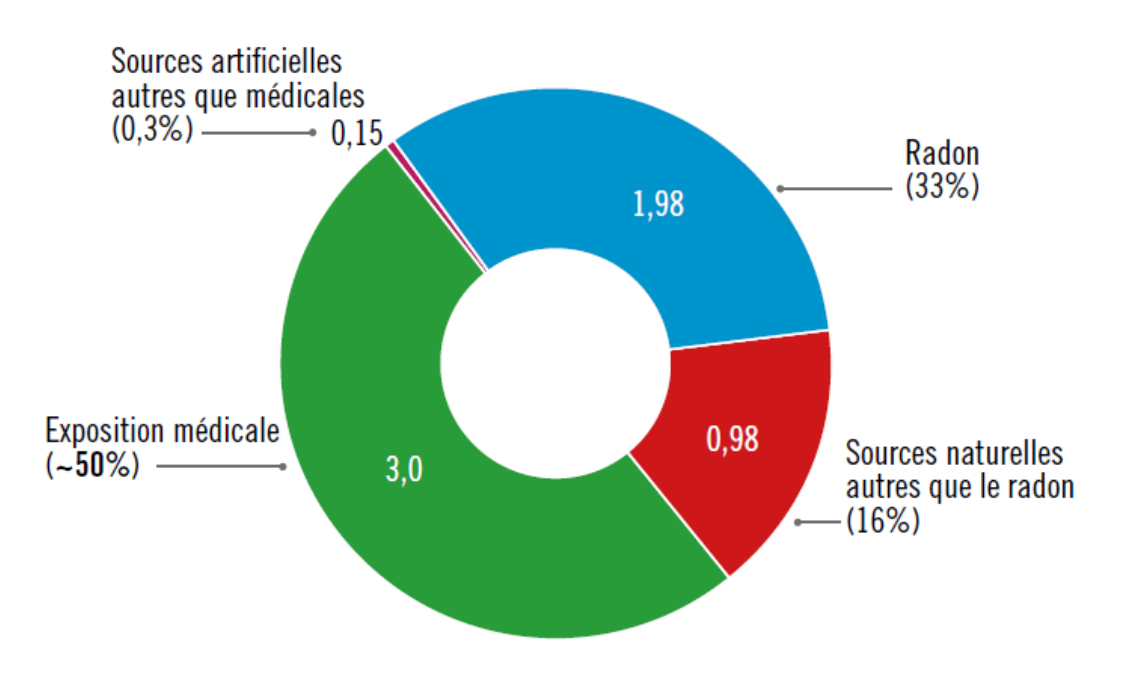
Exposition moyenne d'un individu en France métropolitaine aux diverses sources de radioactivité naturelles et artificielles.

Exposition moyenne mondiale aux rayonnements (mSv)
Total: 3 mSv



Source: adapté, avec autorisation, de l'UNSCEAR (2010)

Exposition moyenne aux rayonnements aux Etats-Unis (mSv) Total : 6,11 mSv

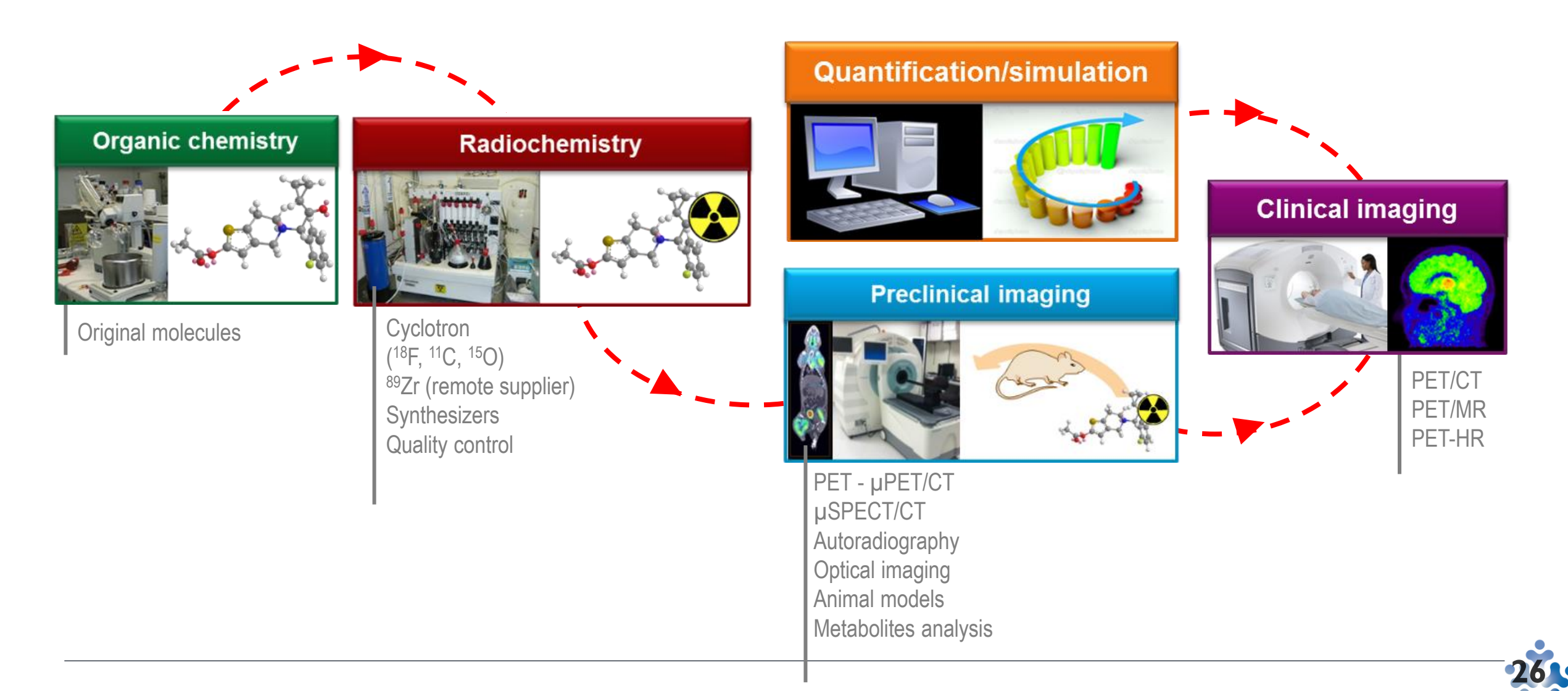


Source: adapté, avec autorisation, du NCRP (2009)





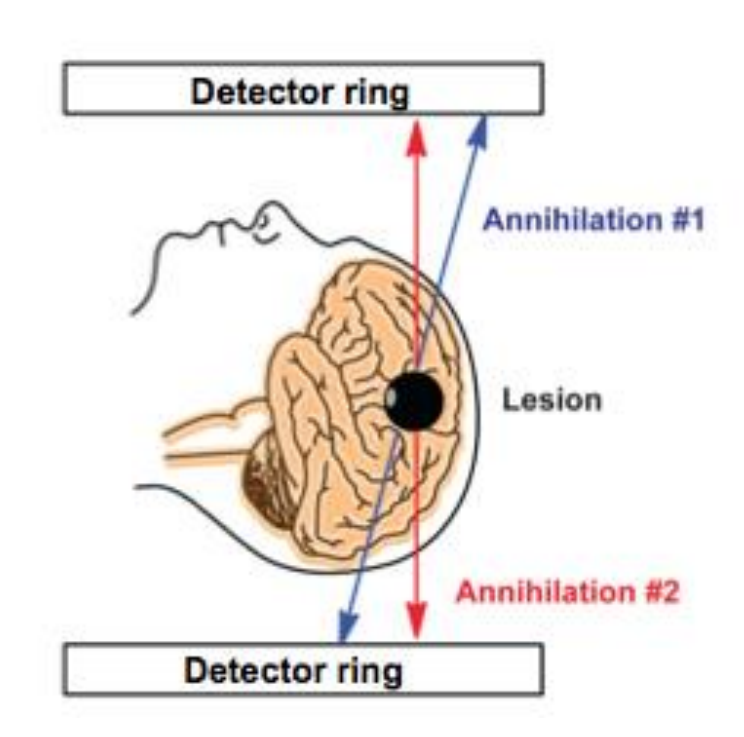
La TEP étape par étape

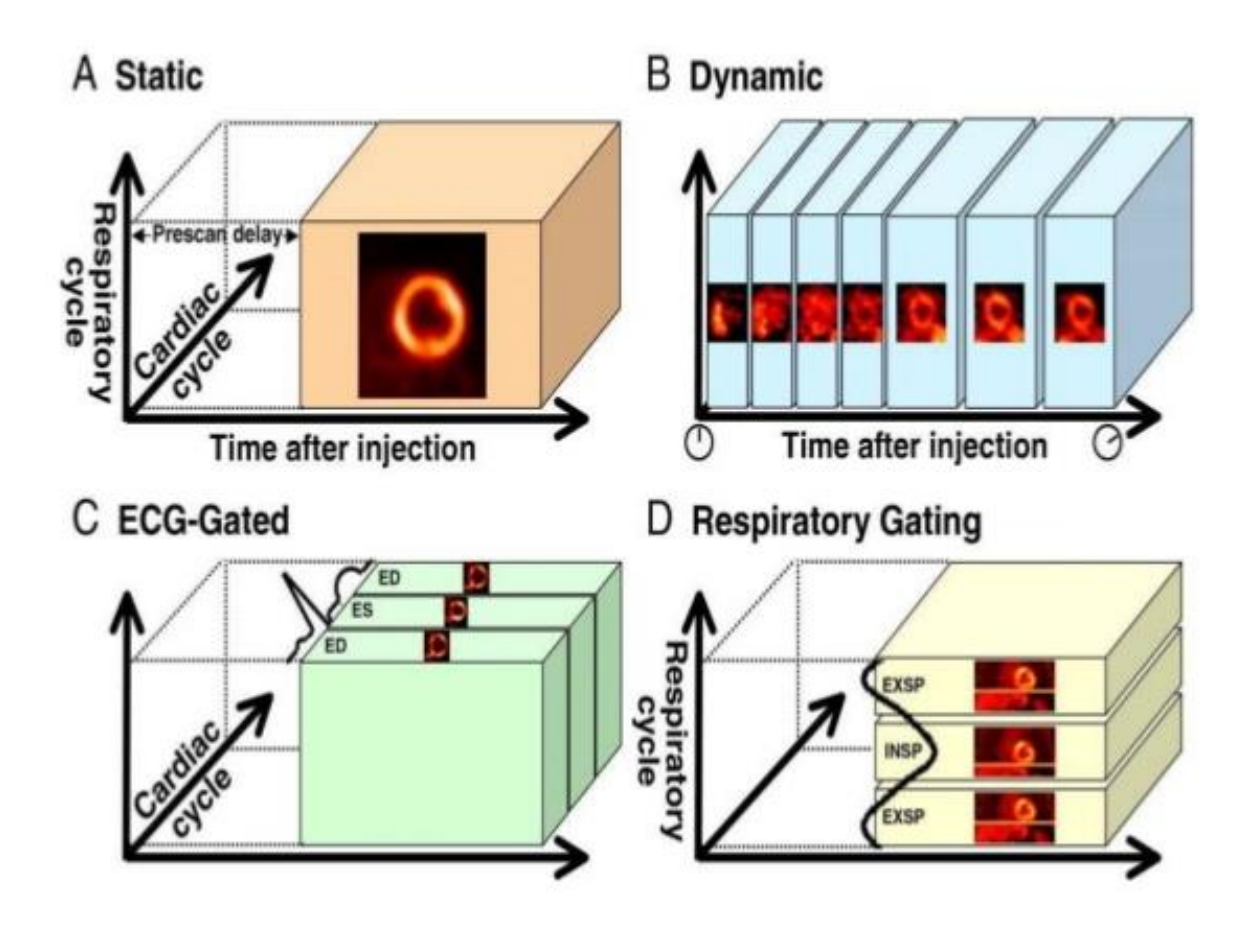




Les différent principe d'acquisition :

- Statique (un temps donné)
- Dynamique (dans un intervalle de temps donné)
- Synchronisée à l'électrocardiogramme
- Synchronisée à la respiration

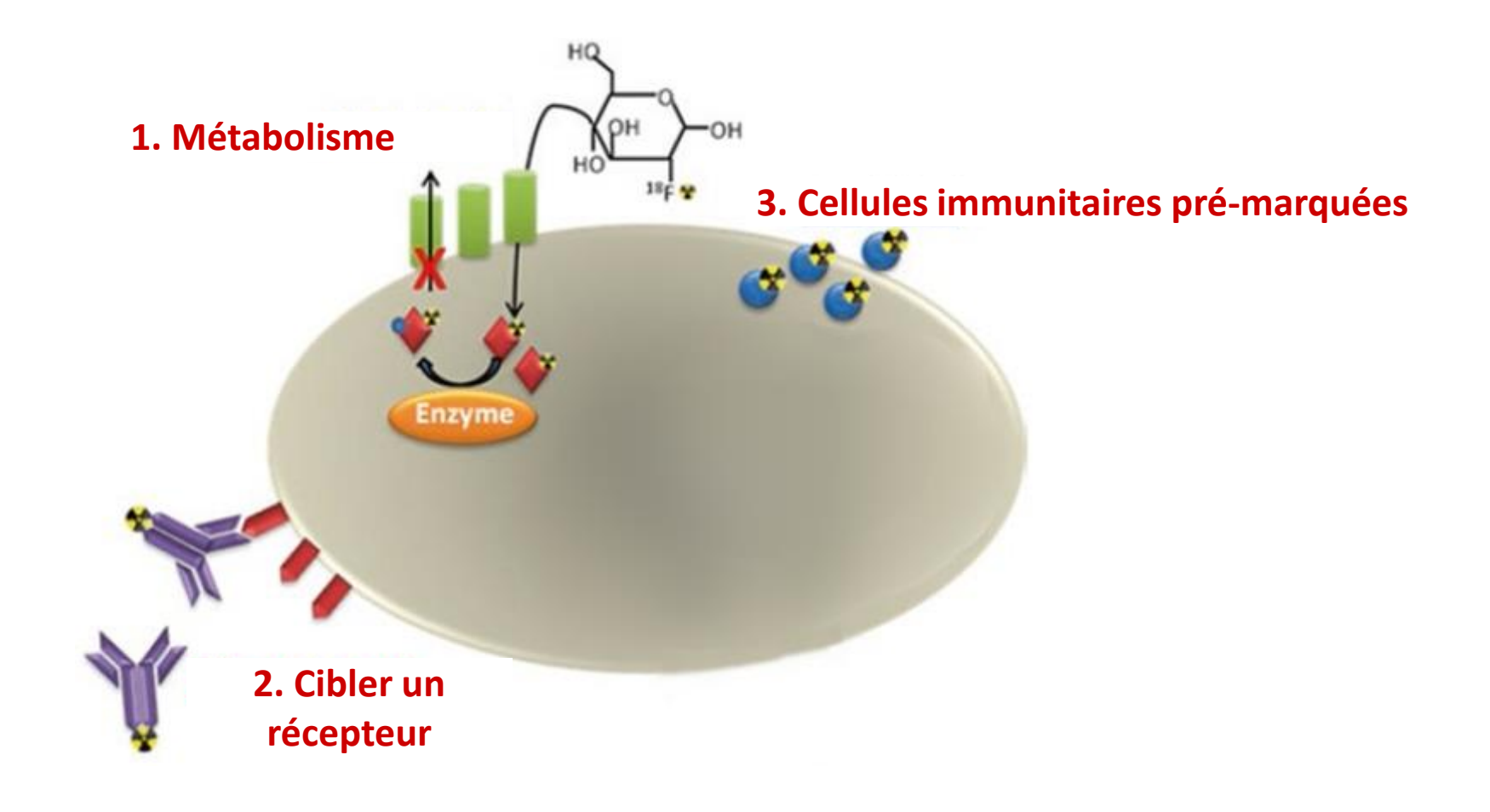








Différentes grilles de lecture en TEP :

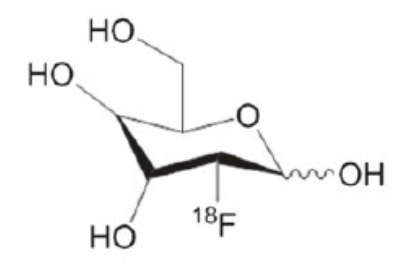




Métabolisme glucidique : TEP au ¹⁸F-FDG

Radiopharmaceutique principal en TEP de routine : le ¹⁸F-FDG :

- analogue du glucose marqué au fluor-18
- Mécanisme : s'accumule dans les cellules en fonction de leur activité métabolique
- Indication : reflète le métabolisme glucidique, utile pour détecter les zones à forte consommation de glucose (ex. tumeurs, inflammation)



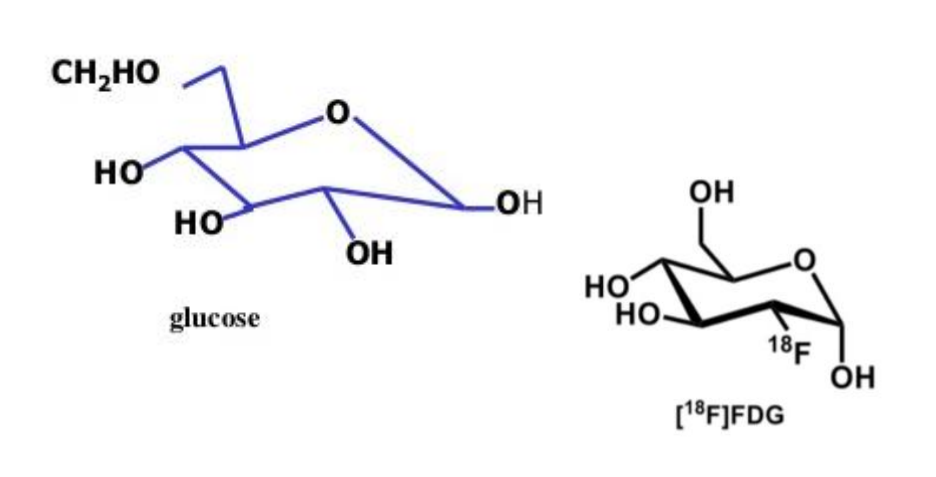
Rq: un radiopharmaceutique est un radiotraceur qualifié pour administration chez l'Homme

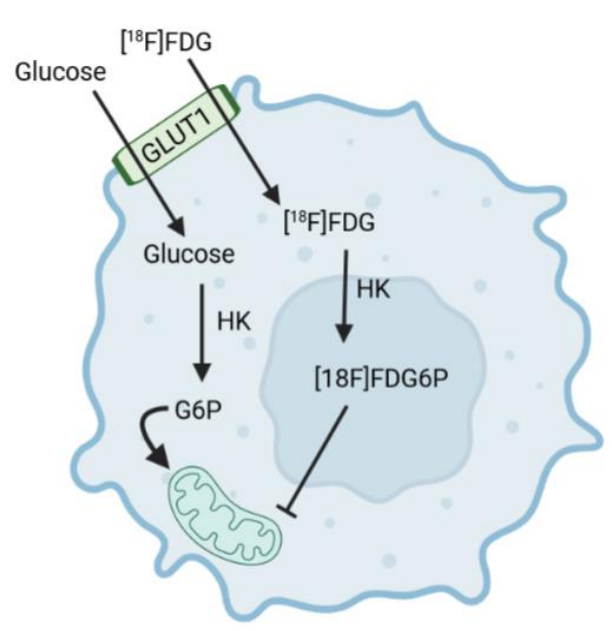




Métabolisme glucidique : TEP au ¹⁸F-FDG

- •Sensibilité élevée de la TEP au ¹⁸F-FDG au métabolisme cellulaire
- → Augmentation de l'expression des transporteurs de glucose et des enzymes de la glycolyse par les macrophages et les granulocytes pour répondre aux besoins énergétiques de la phagocytose et de la sécrétion de cytokines dans les lésions inflammatoires + effet Warburg (synthèse d'énergie majoritairement glycolytique par la plupart des cellules cancéreuses).

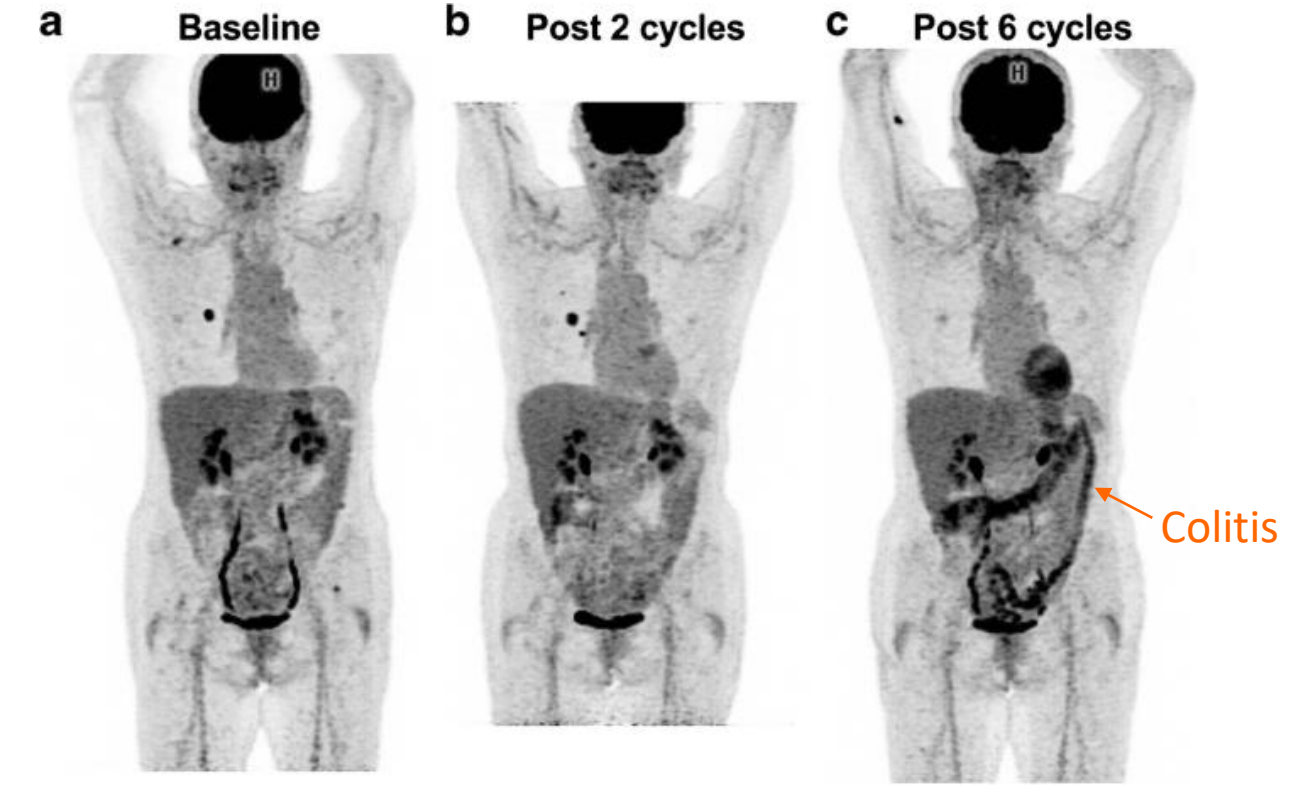








TEP au ¹⁸F-FDG : relier efficacité en immunothérapie et uptake du FDG



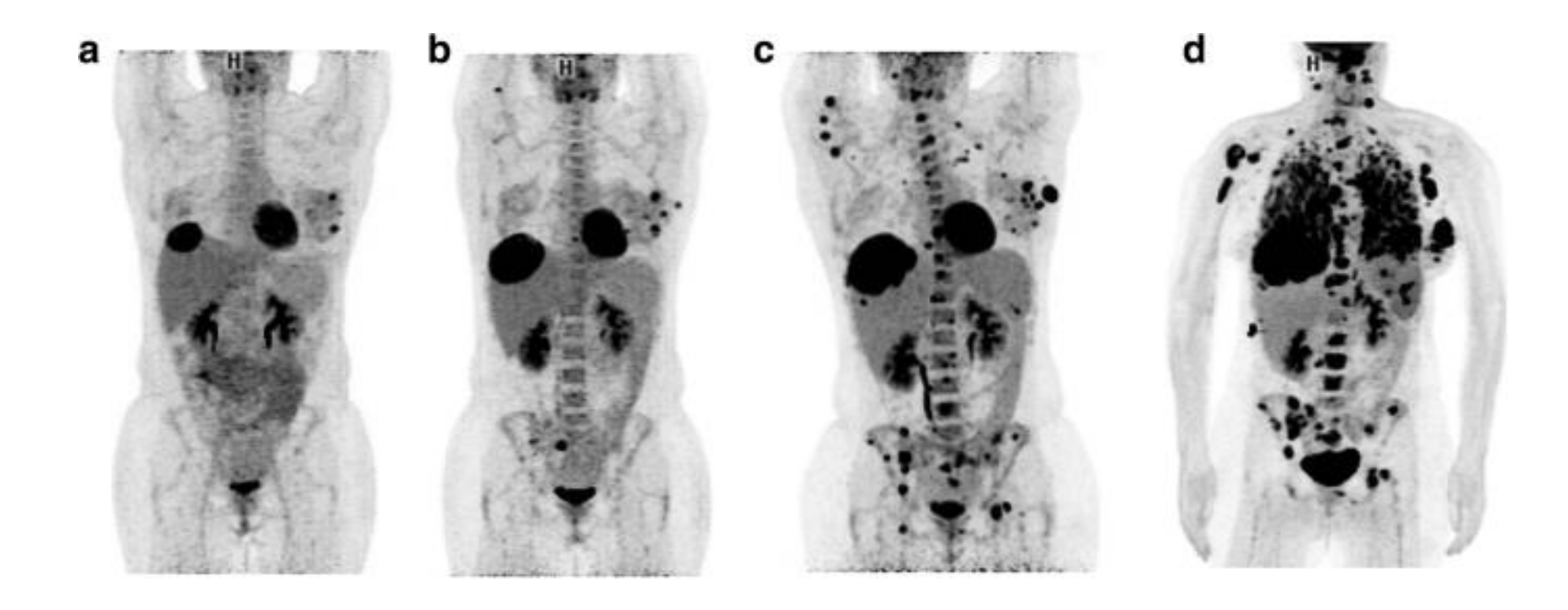
Aide et al, EANM, 46, 238-250, 2019

Image FDG - Patient atteint de mélanome avec des métastases pulmonaires traité par nivolumab





TEP au ¹⁸F-FDG : relier efficacité en immunothérapie et uptake du FDG



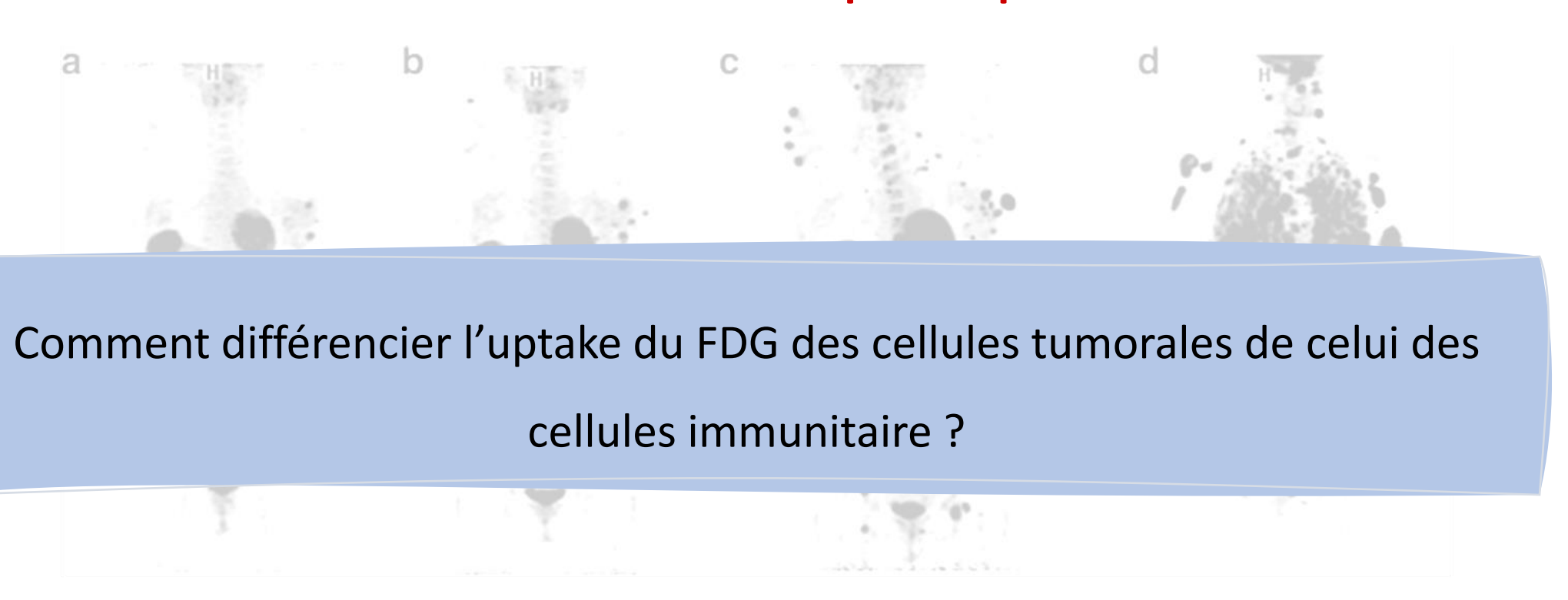
Aide et al, EANM, 46, 238-250, 2019

Images de TEP au FDG chez un patient atteint de mélanome avec des métastases au sein et au foie, traité par nivolumab après une progression sous traitement anti-BRAF et anti-MEK.





TEP au ¹⁸F-FDG : relier efficacité en immunothérapie et uptake du FDG



Aide et al, EANM, 46, 238-250, 2019

Images de TEP au FDG chez un patient atteint de mélanome avec des métastases au sein et au foie, traité par nivolumab après une progression sous traitement anti-BRAF et anti-MEK.





Métabolisme glucidique : TEP au ¹⁸F-FDG

Mauvaise spécificité

- **!** Le ¹⁸F-FDG est capté indifféremment par les cellules immunitaires
- Le ¹⁸F-FDG est capté par le SNC et s'accumule dans les voies urinaires



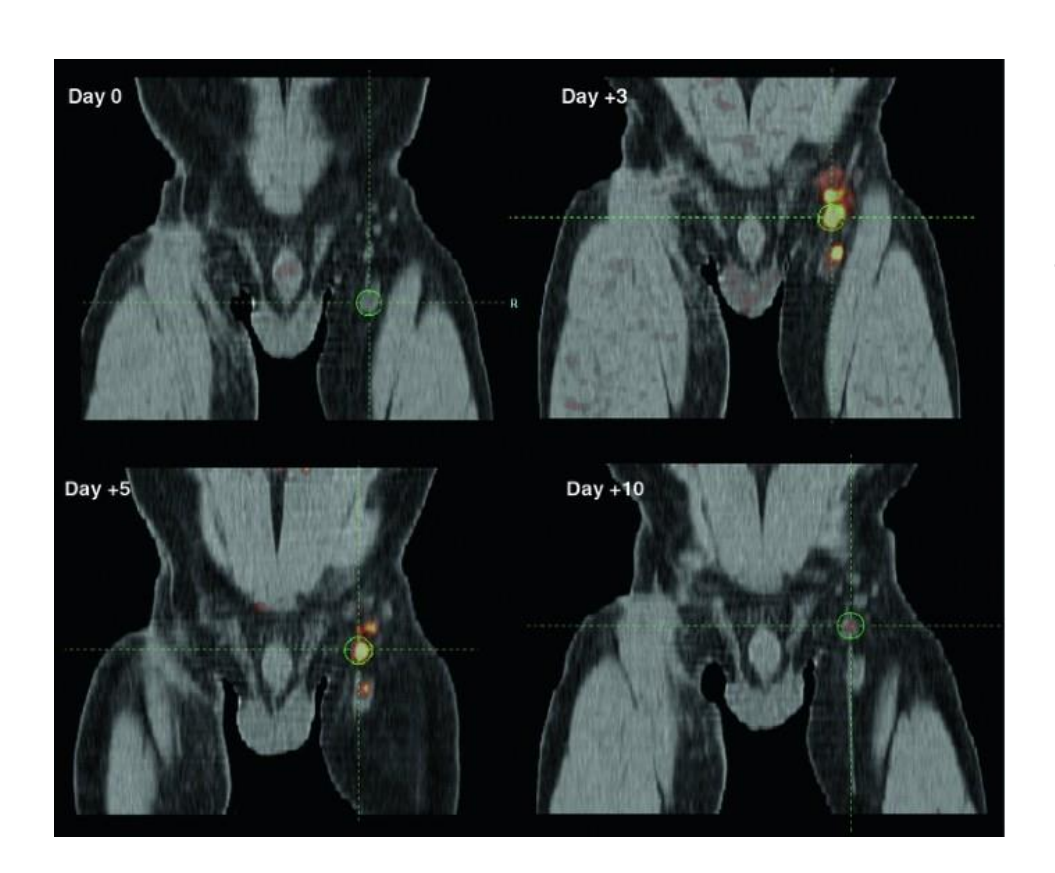
Synthèse d'ADN: TEP au ¹⁸F-FLT

• FLT = fluorothymidine = désoxyribonucléoside précurseur de l'ADN marqué au ¹⁸F



Synthèse d'ADN: TEP au ¹⁸F-FLT

• FLT = fluorothymidine = désoxyribonucléoside précurseur de l'ADN marqué au ¹⁸F



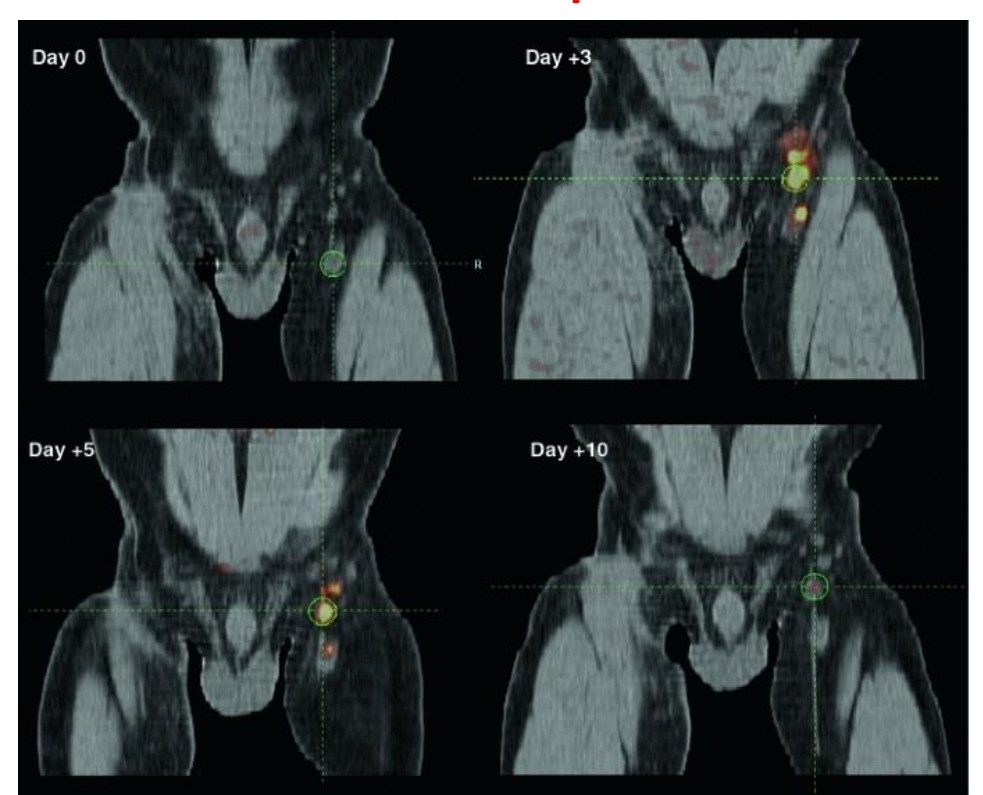
Scans TEP/TDM de la dynamique de la captation de ¹⁸F-FLT dans les ganglions lymphatiques après la vaccination (cellules dendritiques chargées d'antigènes).





Synthèse d'ADN: TEP au ¹⁸F-FLT

- FLT = fluorothymidine = désoxyribonucléoside précurseur de l'ADN marqué au ¹⁸F
- Problème similaire de spécificité



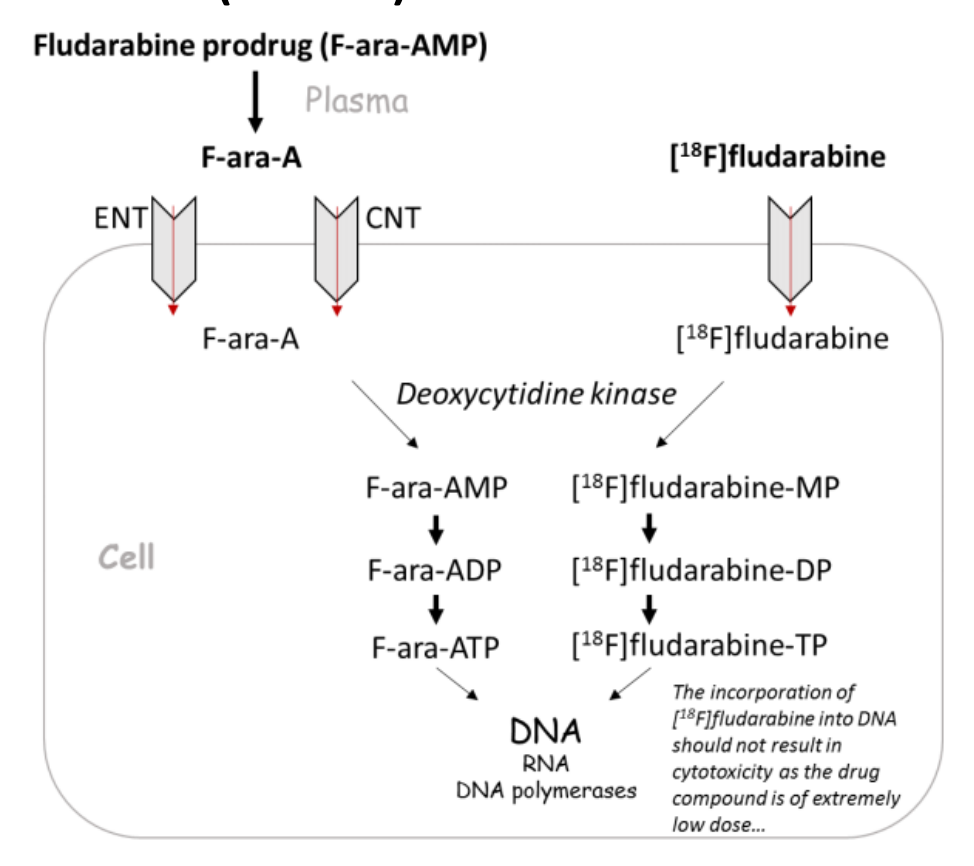
Scans TEP/TDM de la dynamique de la captation de ¹⁸F-FLT dans les ganglions lymphatiques après la vaccination (cellules dendritiques chargées d'antigènes).

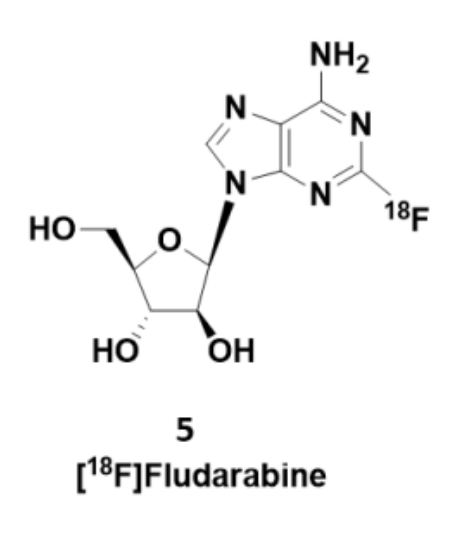




La Fludarabine : marqueur des lymphocytes

 La fludarabine est un précurseur médicamenteux qui est converti en nucléoside libre 9-Darabinosyl-2-fluoroadénine (F-ara-A).







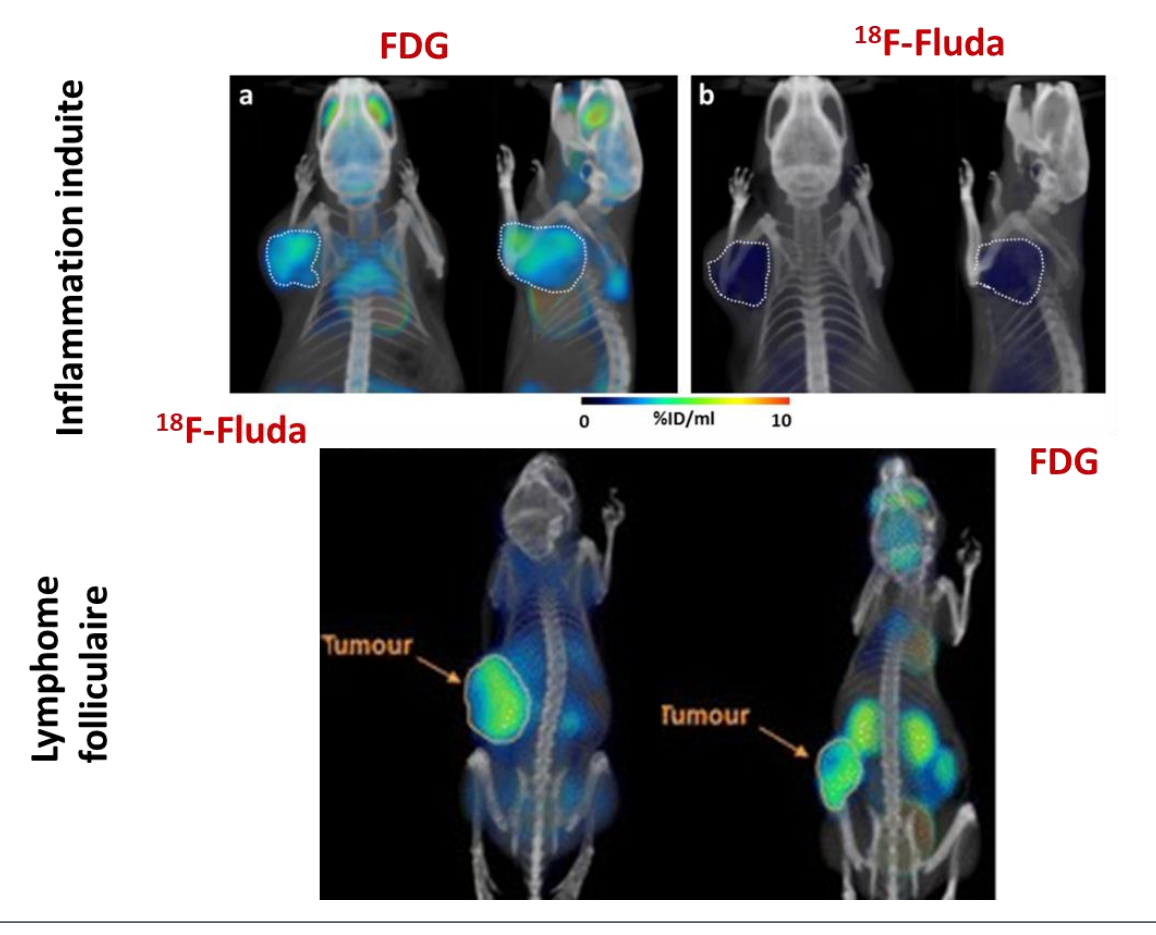


La Fludarabine : marqueur des lymphocytes

• La fludarabine est un précurseur médicamenteux qui est converti en nucléoside libre 9-D-arabinosyl-2-

fluoroadénine (F-ara-A).

Traceur plus spécifique



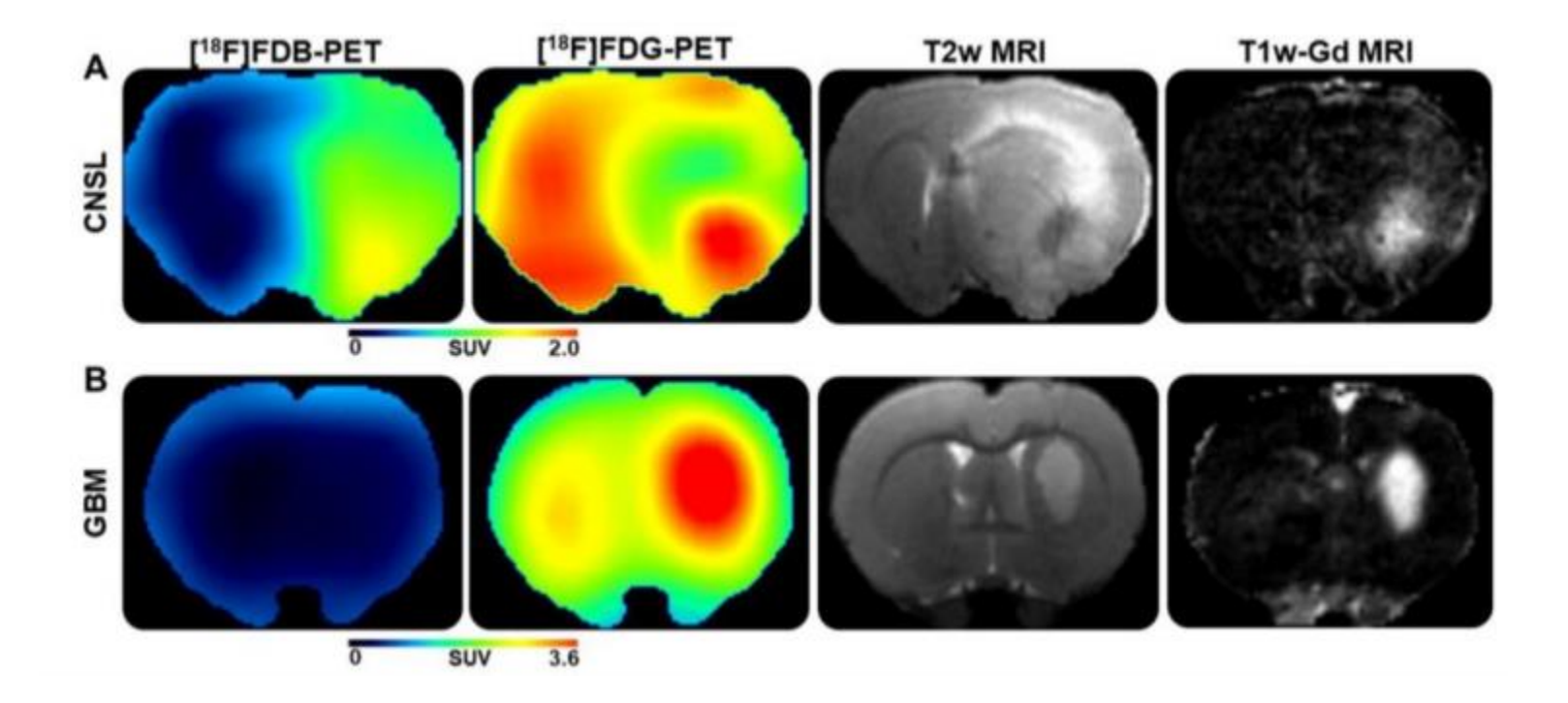


1. TEP du métabolisme immunitaire



La Fludarabine : marqueur des lymphocytes

Traceur plus spécifique.

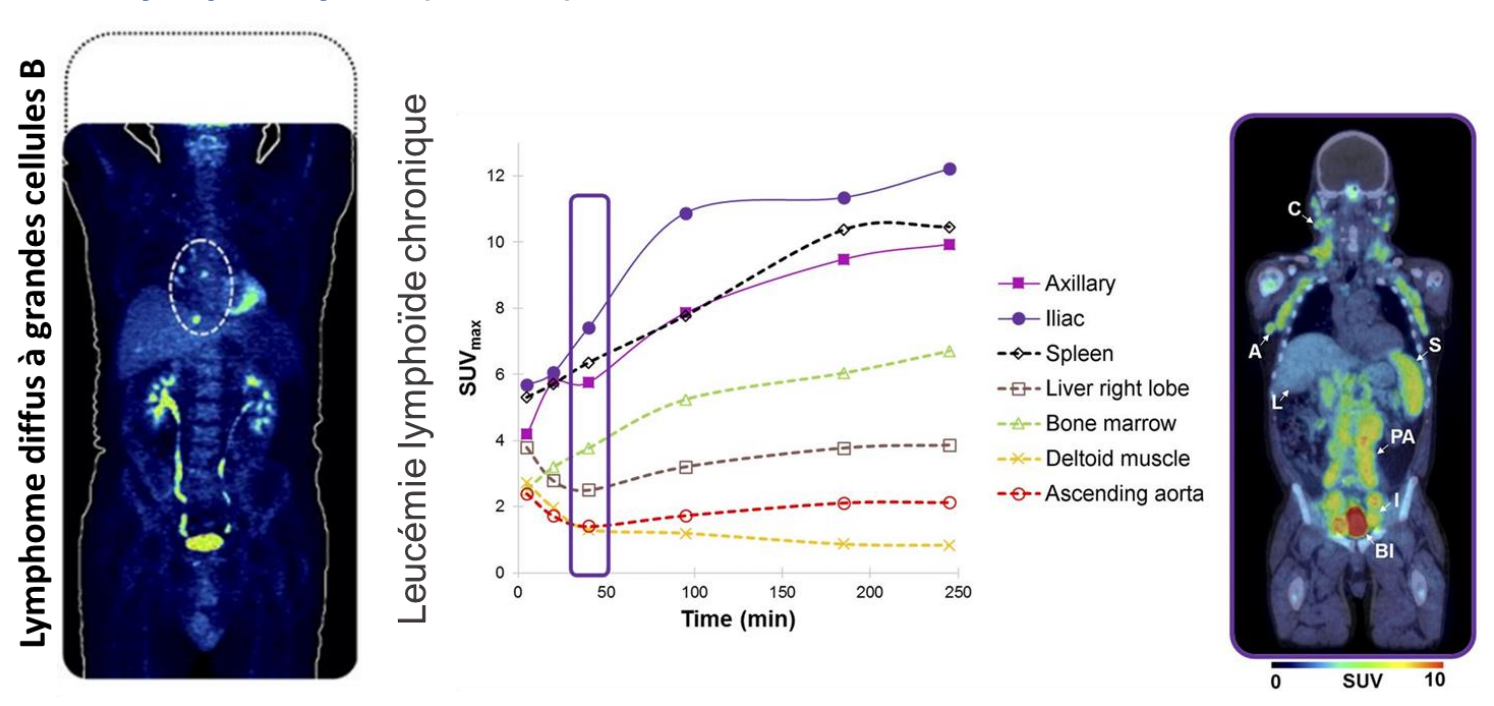






La Fludarabine : marqueur des lymphocytes

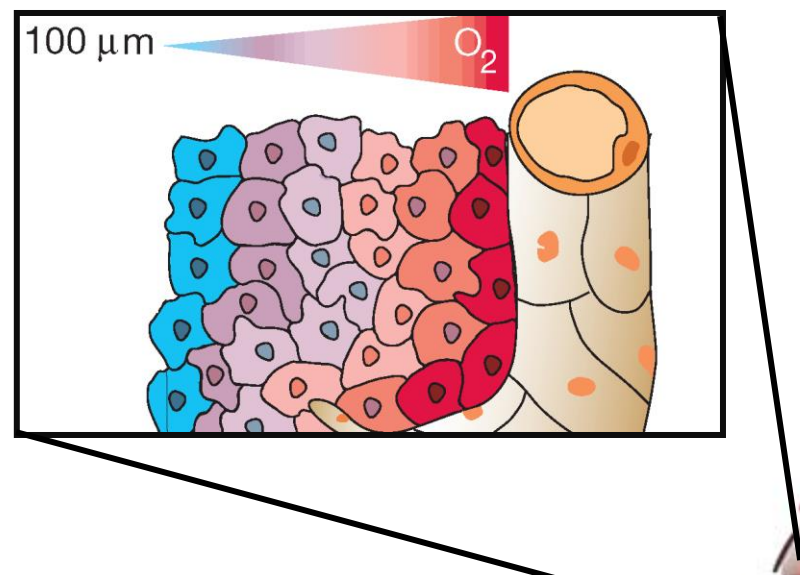
- La fludarabine est un précurseur médicamenteux qui est converti en nucléoside libre 9-D-arabinosyl-2fluoroadénine (F-ara-A).
- Traceur plus spécifique,
- Aucune distinction entre lymphocytes (B, T,...)







Imagerie de l'hypoxie : qu'est ce que l'hypoxie?



Air: 21% O₂ (160 mmHg)

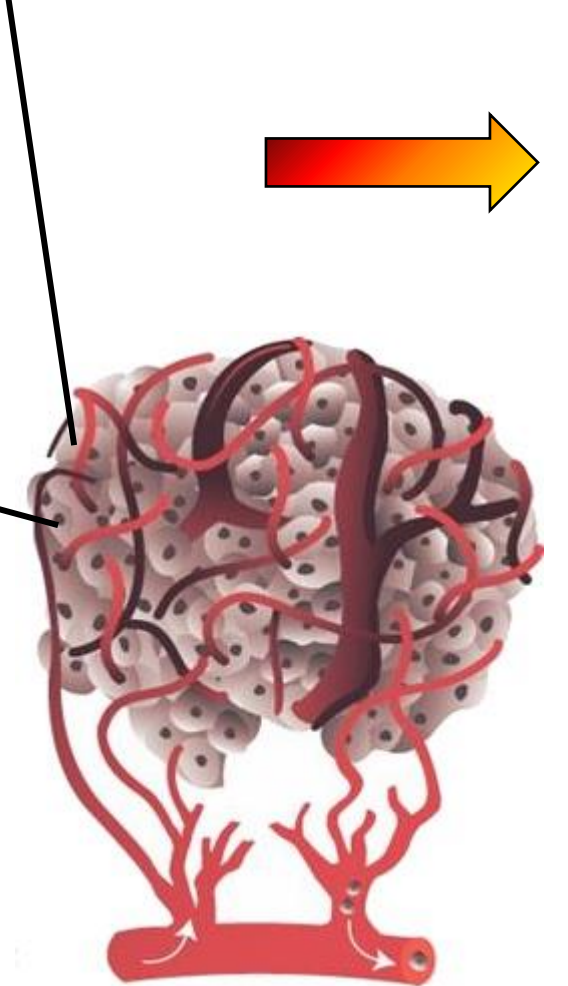
Normal tissue: 5-9% O₂ (40 - 75mmHg)

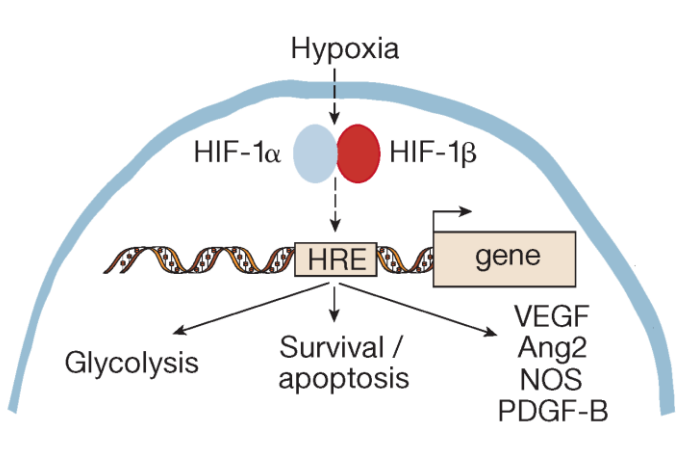
Hypoxia: $< 3\% O_2 (0 - 20 \text{ mmHg})$

Radiobiological hypoxia: < 0.5% O₂ (4 mmHg)

Activation of hypoxia inducible factor 1 (HIF1):

 $< 1\% O_2$ (7-8 mmHg)

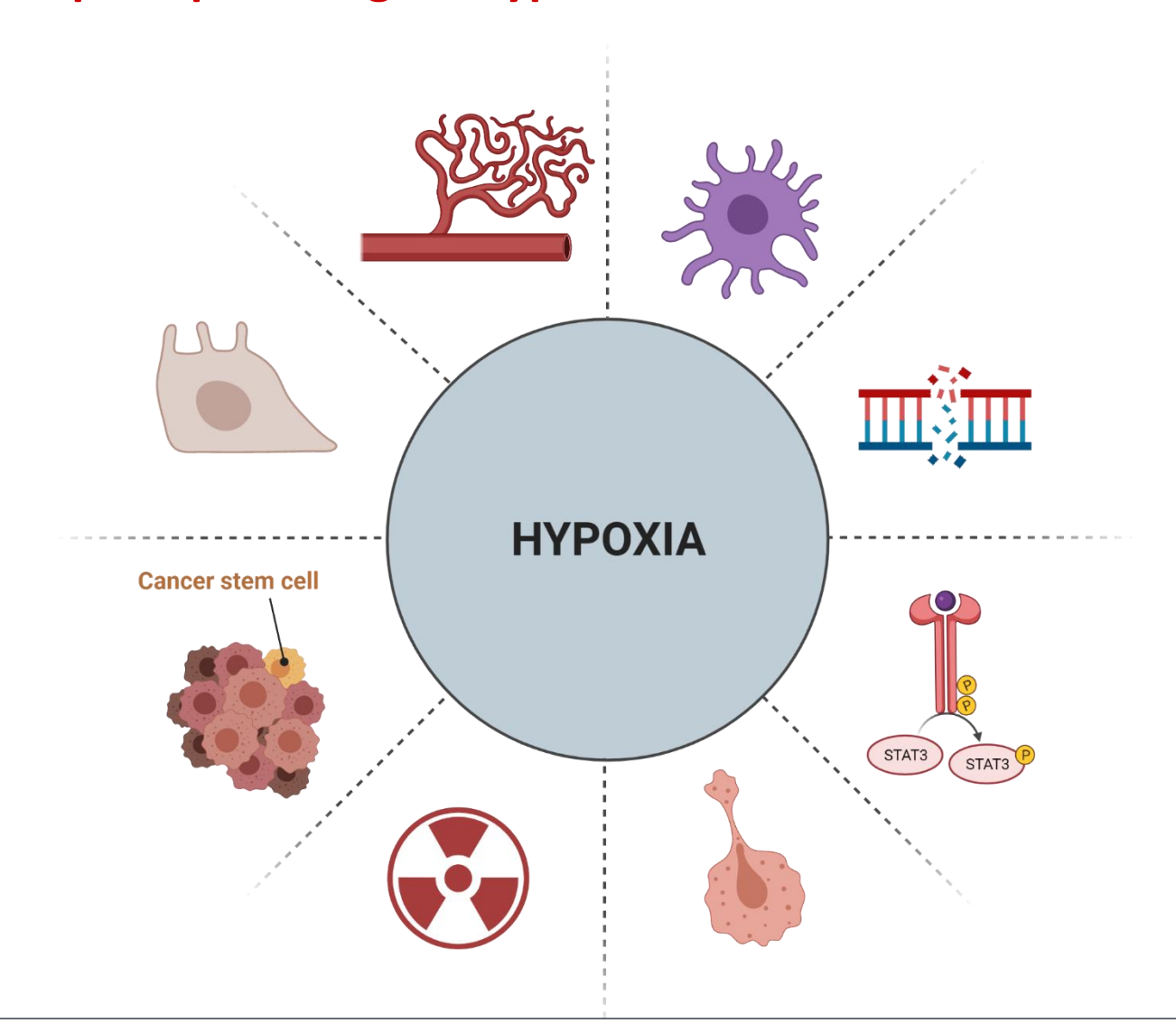






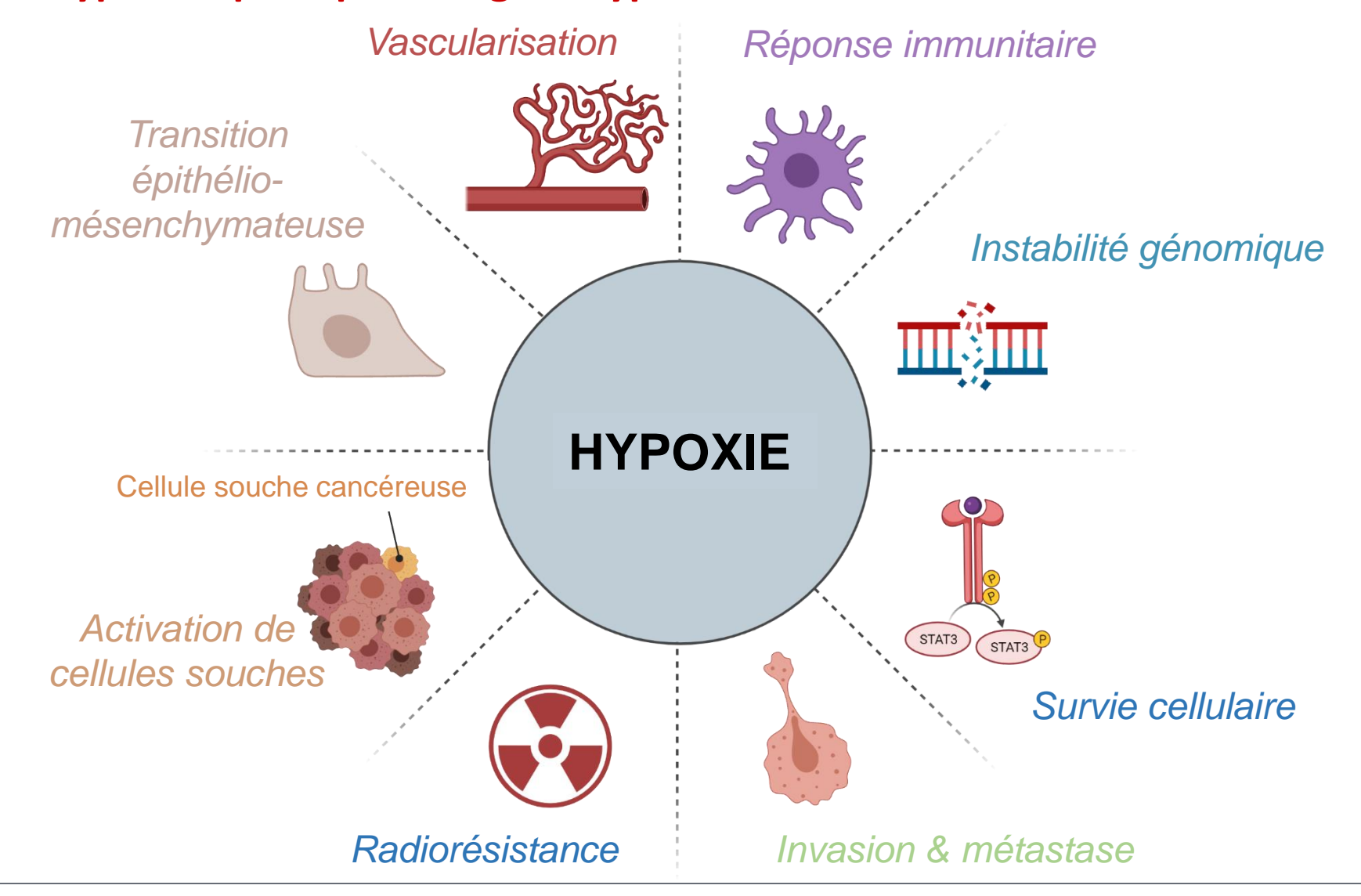
Important clinically: < 1.5% O₂ (10 mmHg)





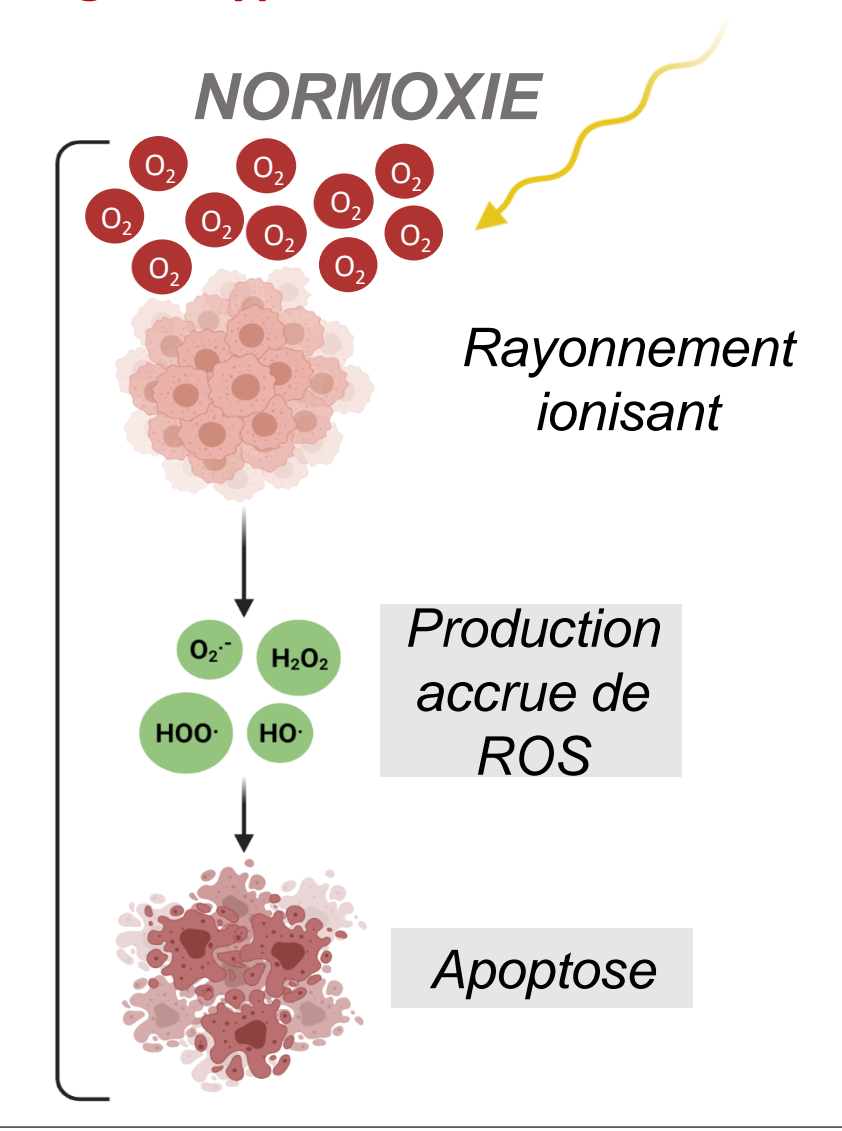






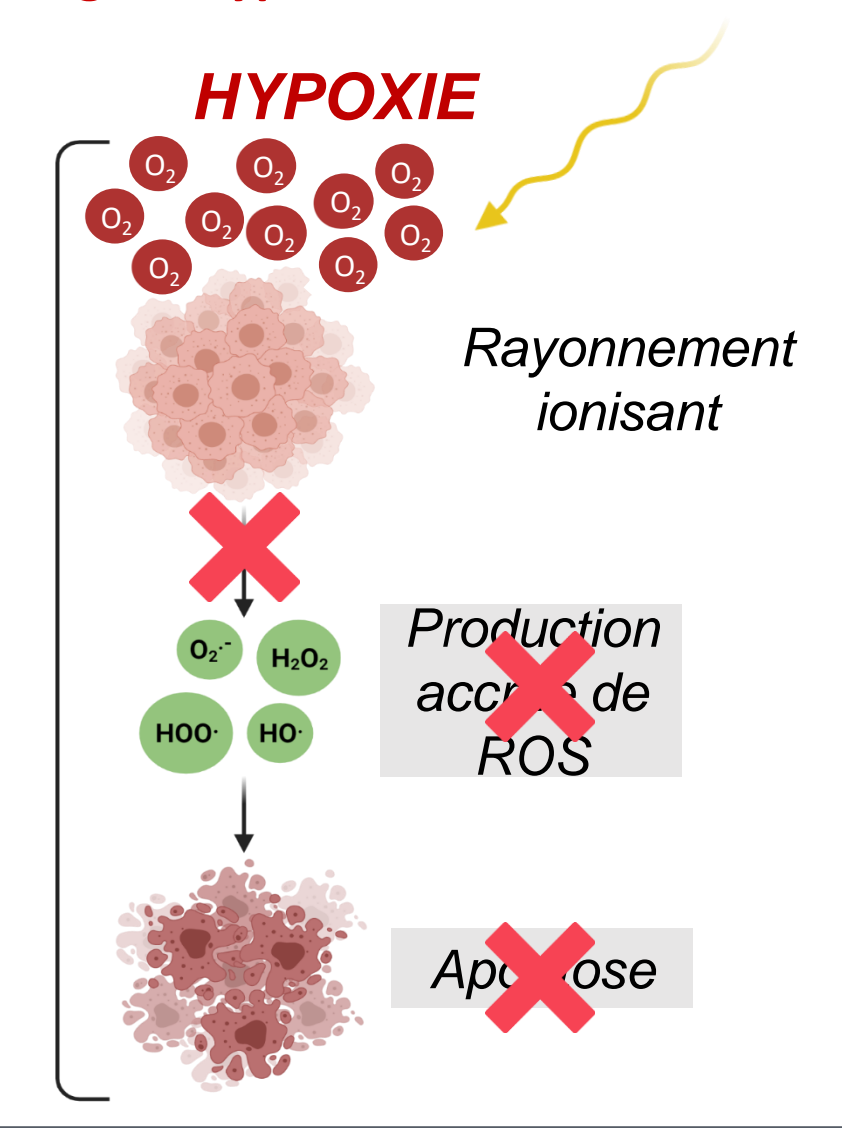








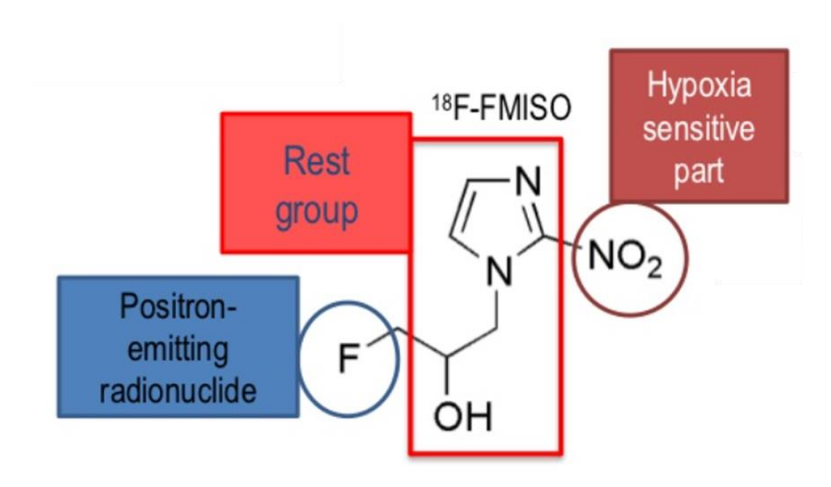








Imagerie de l'hypoxie : quels traceurs?

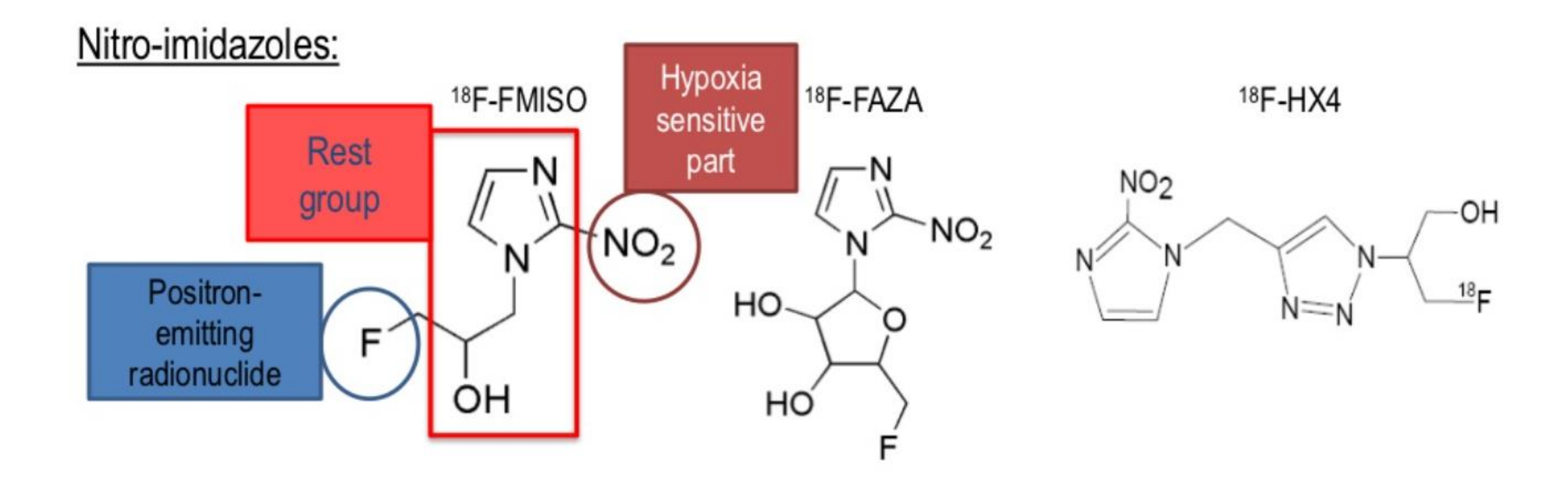


Imidazole = composé aromatique hétérocyclique avec 5 atomes (3 carbones et 2 azotes)

Nitro-imidazoles = imidazoles ayant un groupe nitro NO2







Clearance:

Liver –intestine – kidney

Kidney – intestine – liver

Kidney – bladder

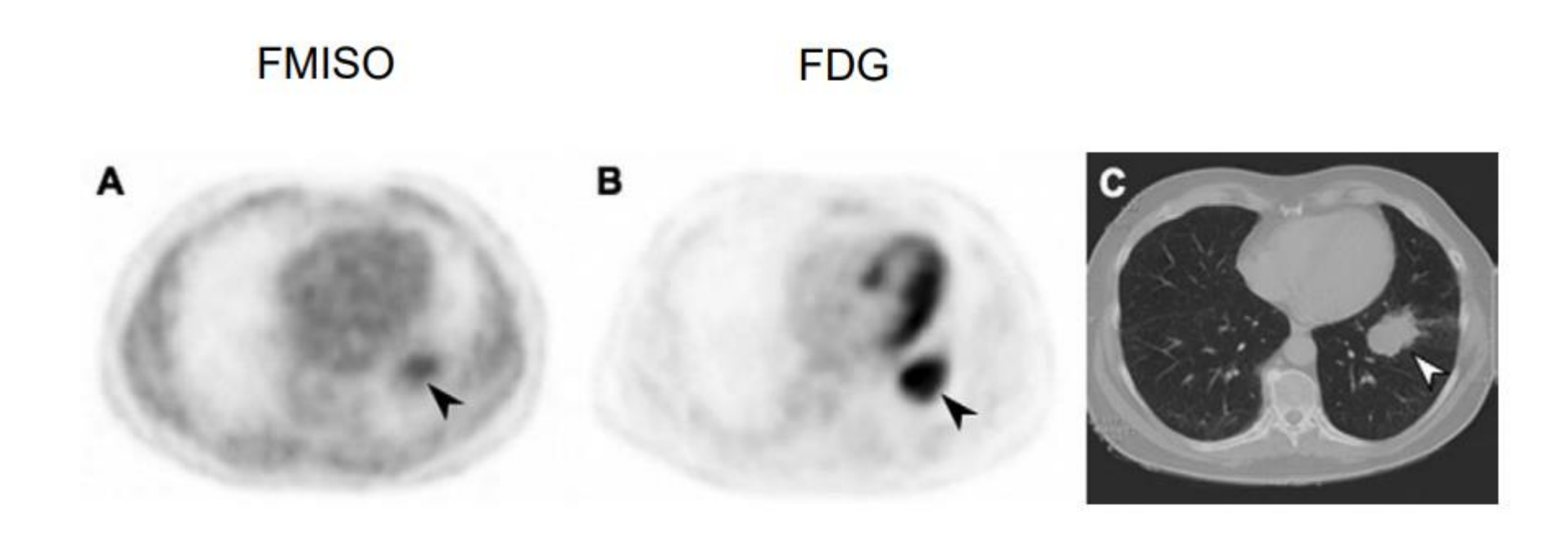
Hydrophilicity:





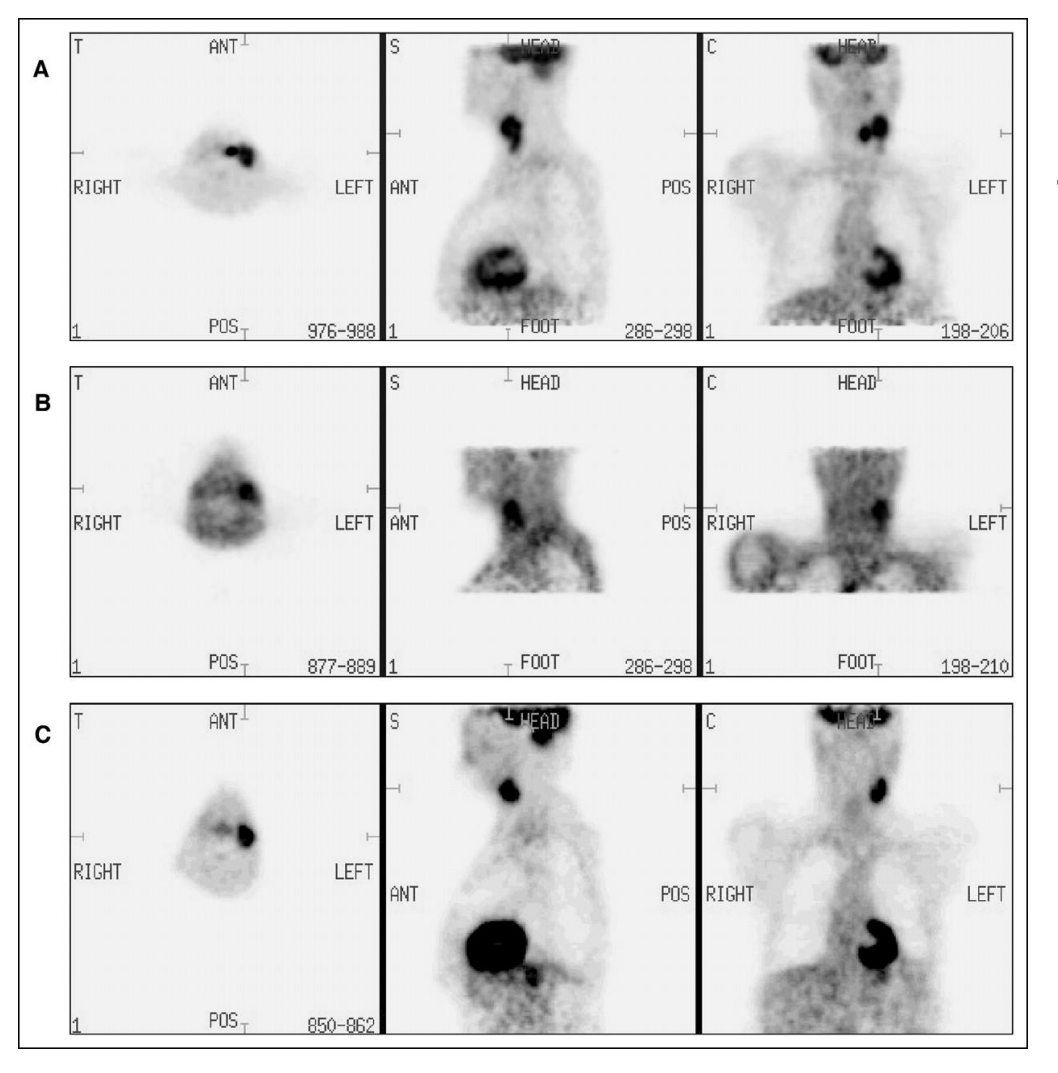
Imagerie de l'hypoxie : quels traceurs?

Les images TEP peuvent être acquises en mode statique dans le cancer du poumon non à petites cellules.





Imagerie de l'hypoxie : quels traceurs?



(A)Baseline FDG
Two tumors detected

(B) FMISO scan
Only one is hypoxic

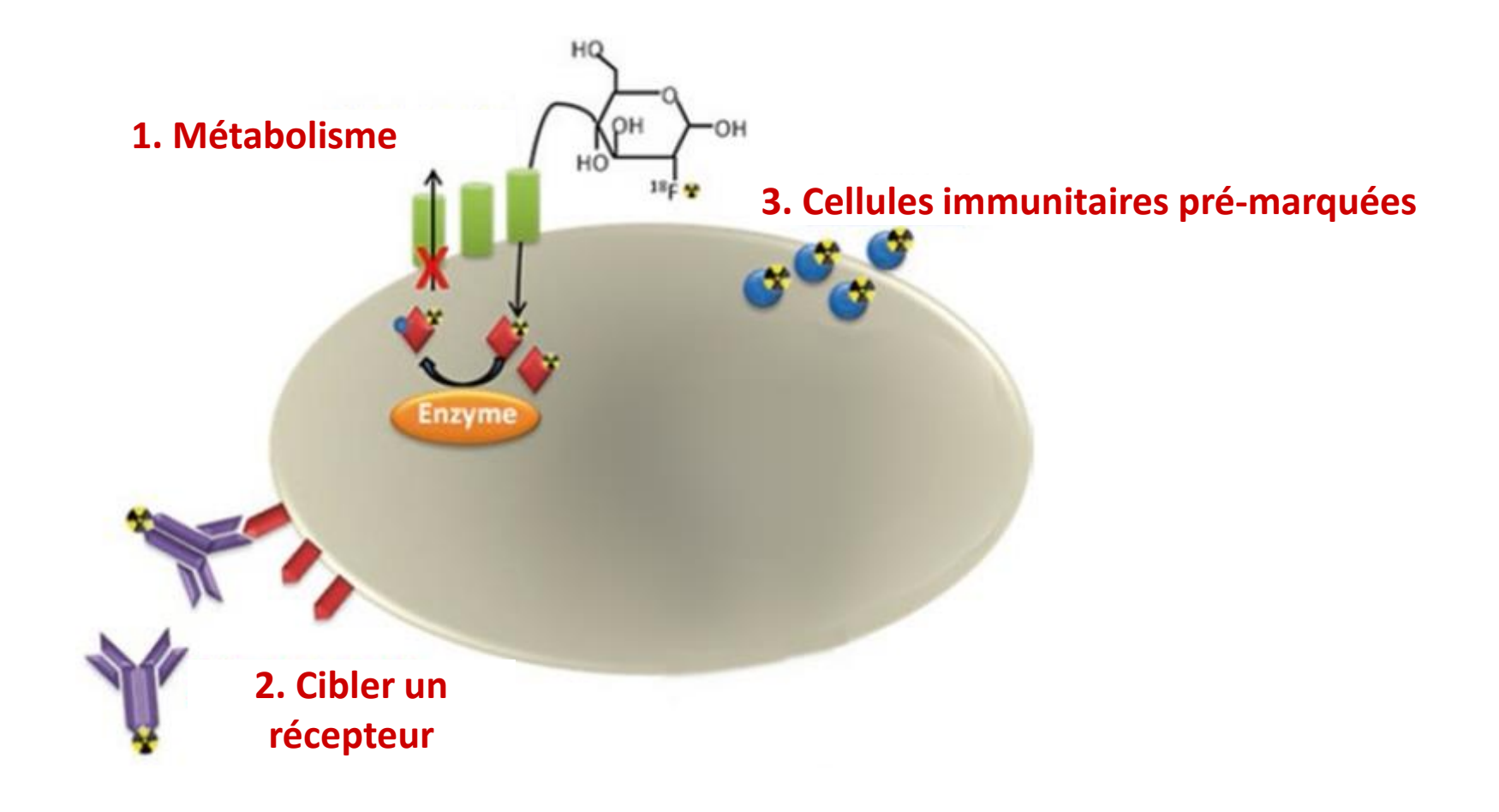
(C) FDG after Chemoboost Non-hypoxic responsive Hypoxic non-responsive

Rischin D et al. JCO 2006;24:2098-2104





Différentes grilles de lecture en TEP :







Contexte

- Développement des thérapies ciblées utilisant les mAbs en cancérologie
- Nouvelle génération de mAb : antibody-drug conjugates (ADC) et mAbs multi-spécifiques (2 cibles)
- Développement de la radiothérapie interne vectorisée (RIV) par des mAbs

Principe

Anticorps monoclonaux utilisés comme radiotraceurs

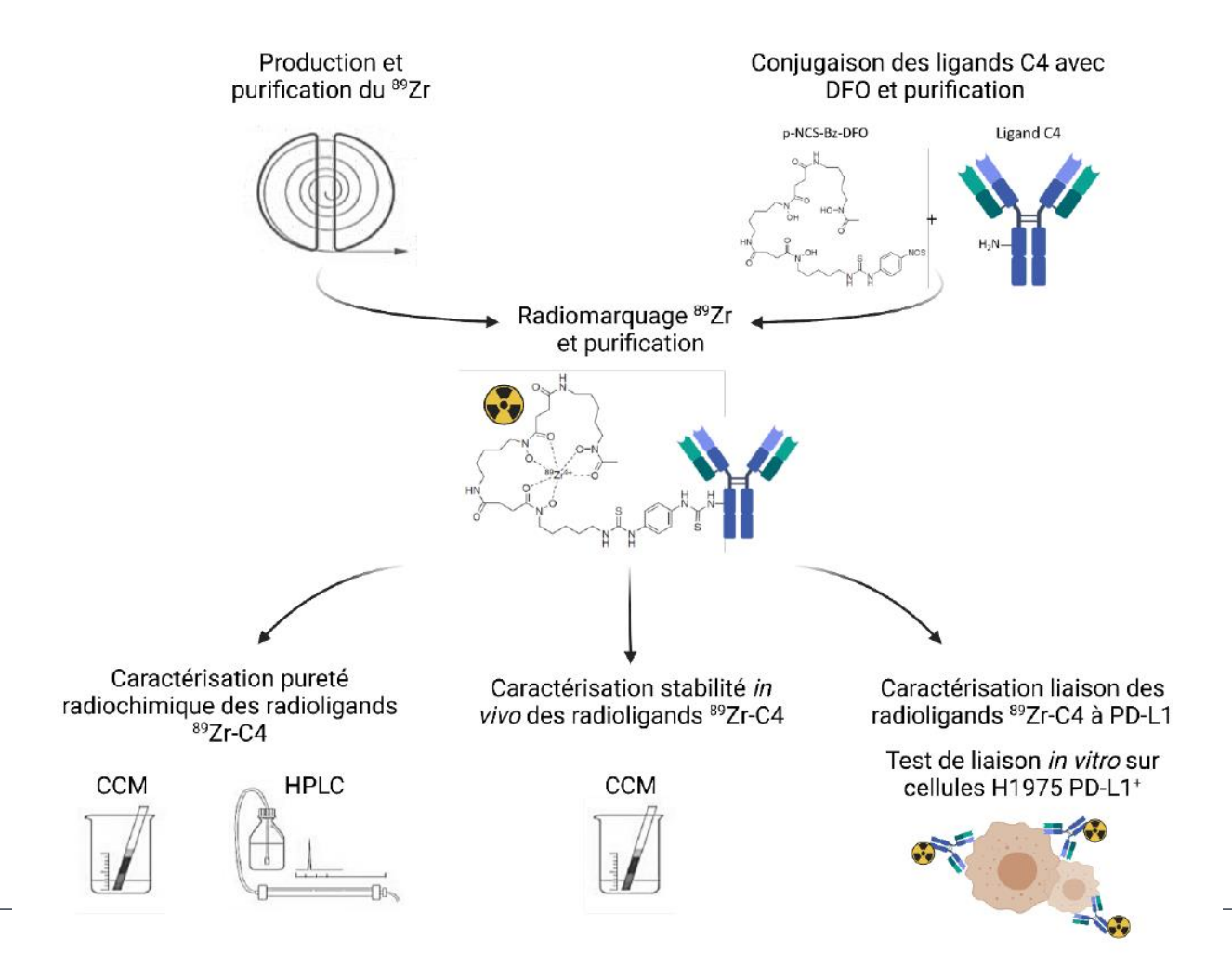
Défi : la médecine personnalisée

- Evaluation de la pharmacocinétique et de la biodistribution.
- Réalisation d'un immunohistochimie in vivo sur corps entier.
- Prédiction de la réponse aux mAbs.
- Suivi thérapeutique du niveau d'expression antigénique tumorale.
- Evaluation de la dosimétrie individuelle associée à la RIV en utilisant le même mAb marqué par un émetteur de positons (Zevalin, ⁹⁰Y-cU36).
- Stratifier les patients (thérapie personnalisée).



89Zr-mAb

Fonctionnalisation du ⁸⁹Zr : le chélateur se fixe à la cystéine et à la lysine.

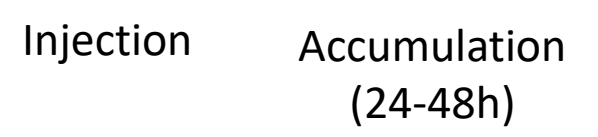






89Zr-mAb

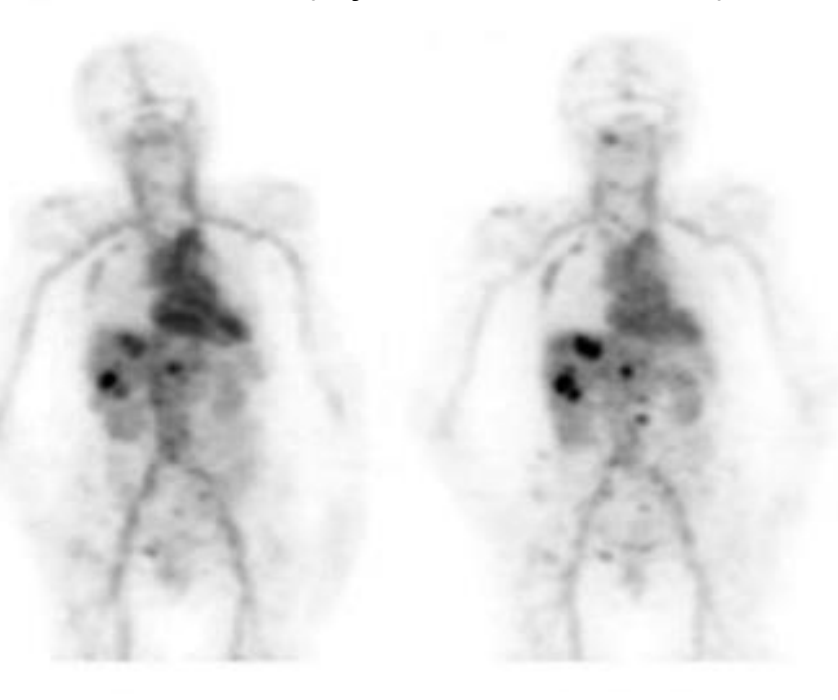
Protocole d'acquisition typique:





PET-imaging at different time-points after administration. Typically @ day 1, 2 and 4-6

Imagerie (2 jours – 2 semaines)



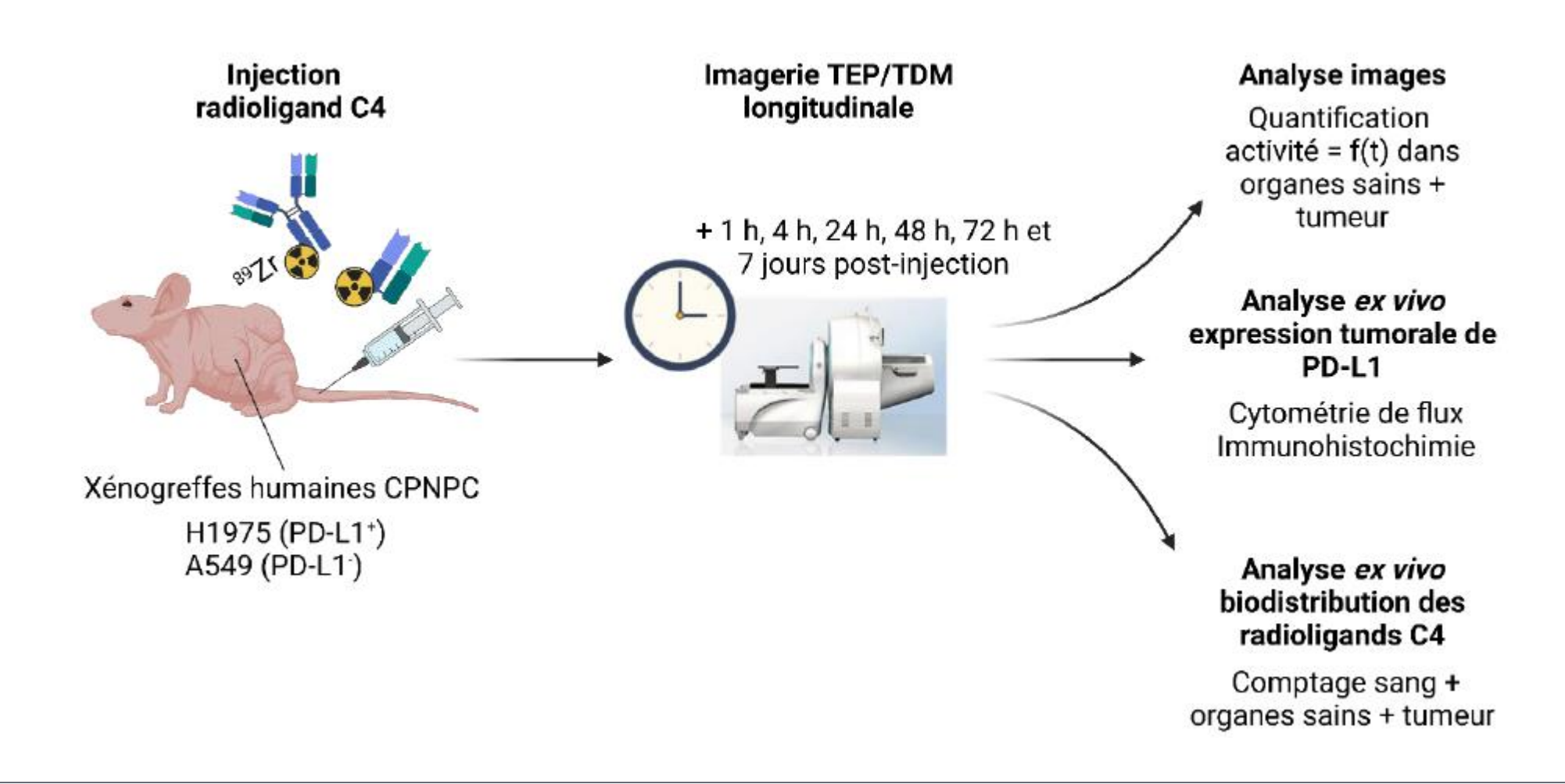
Jour 2 Jour 4



BioMaps

89Zr-mAb

Protocole d'acquisition typique :







⁸⁹Zr-mAb : exemples d'études précliniques

• HER2 (Human Epidermal GFR surexprimé dans certains cancers du sein et de l'estomac): radiosynthèse de ⁸⁹Zr-Trastuzumab

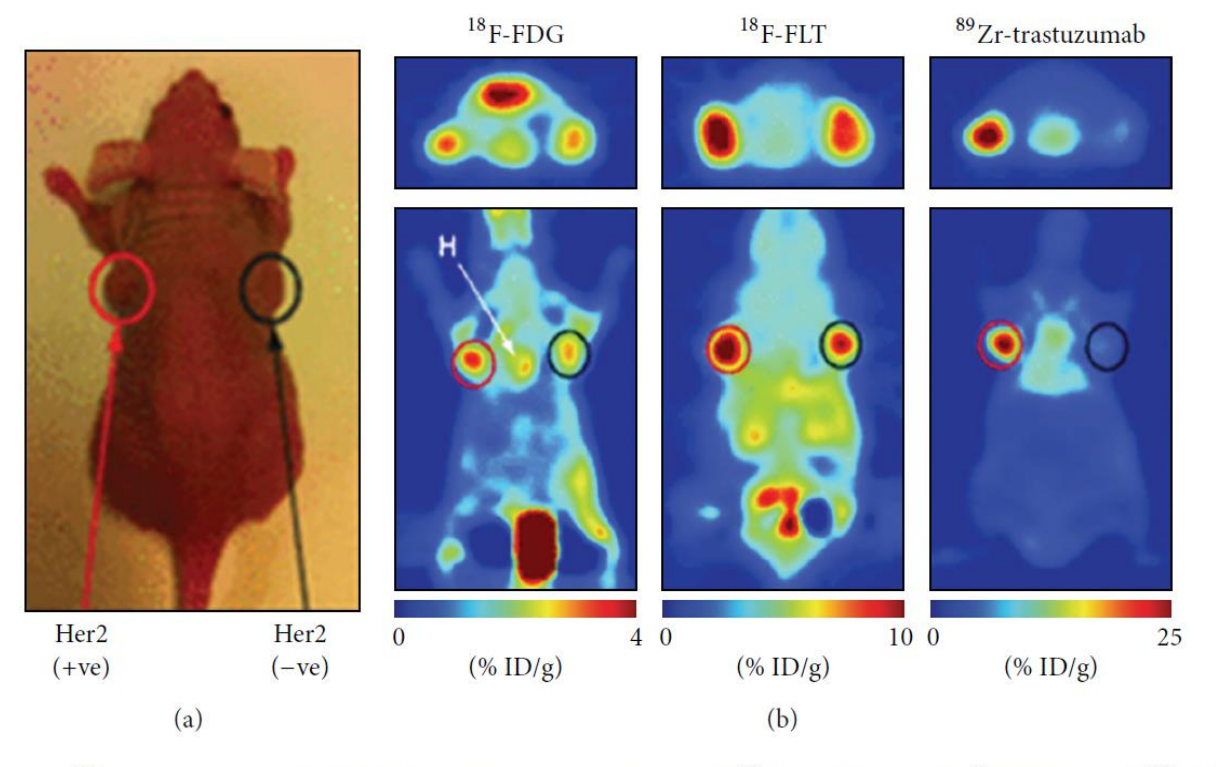


FIGURE 2: Specificity of ⁸⁹Zr-trastuzumab for HER2-positive tumors. Coronal ⁸⁹Zr-trastuzumab, ¹⁸F-FDG, and ¹⁸F-FLT PET images of athymic nude mice bearing subcutaneous HER2-positive NCI-N87 (left) and HER2-negative MKN-74 (right) are shown. ROIs (%ID/g) for ⁸⁹Zr-trastuzumab, ¹⁸F-FDG, and ¹⁸F-FLT are indicated. +ve = positive; -ve = negative. This research was originally published in [3]. © by the Society of Nuclear Medicine and Molecular Imaging, Inc.

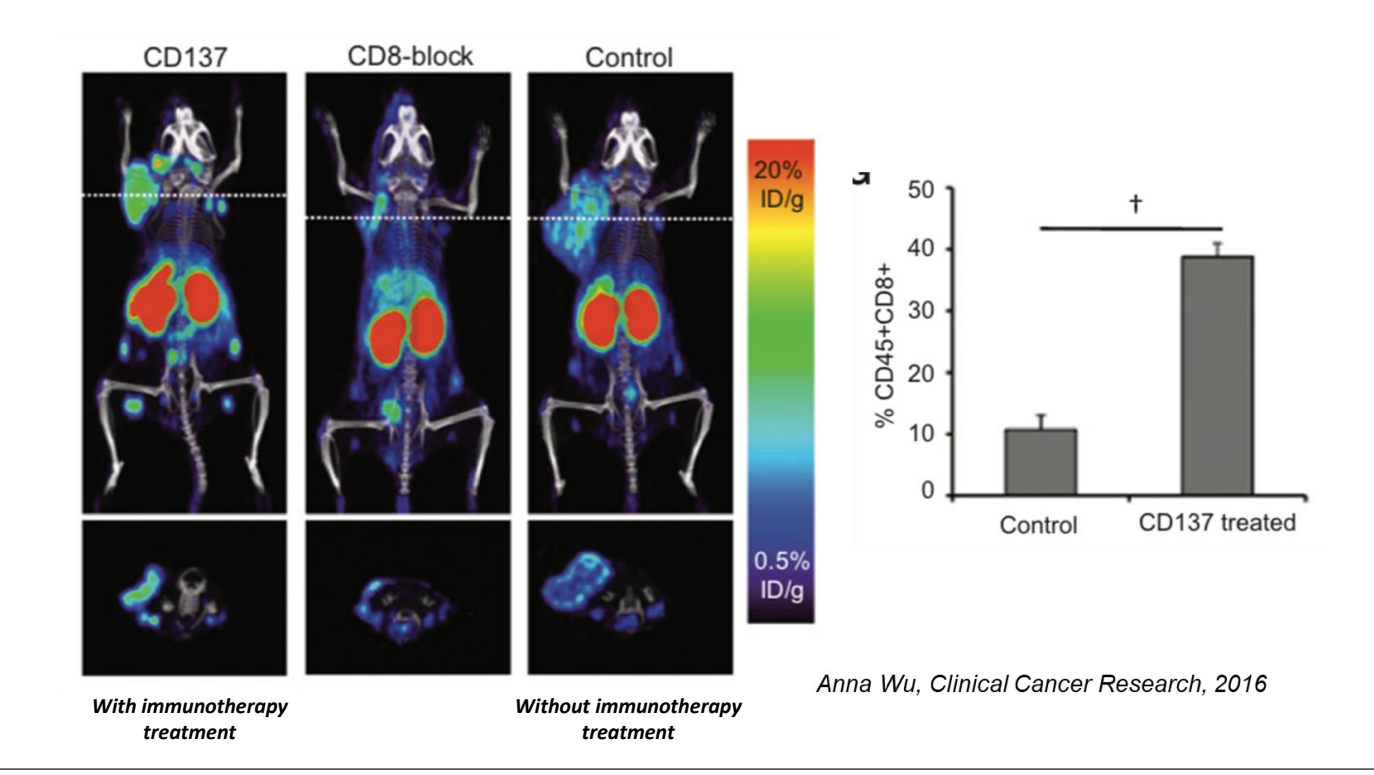
Y. Y. Janjigian,N. Viola-Villegas, J. P.Holland et al., "Monitoring afatinib treatment in HER2-positive gastric ancer with 18FFDG and 89Zr-trastuzumab PET," Journal of Nuclear Medicine, vol. 54, no. 6, pp. 936–943, 2013





⁸⁹Zr-mAb : exemples d'études précliniques

- Approche d'imagerie PET pour la distribution de CD8 dans le corps entier
- Des études précliniques d'imagerie TEP avec un traceur spécifique de CD8 ont suggéré que cette méthode était une approche de sélection des patients.
 - Les biotraceurs CD8 nécessitent davantage d'investigations cliniques et de validation.



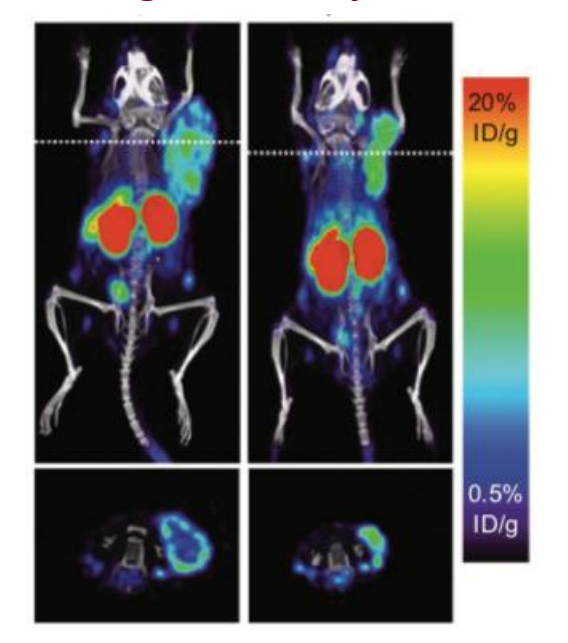


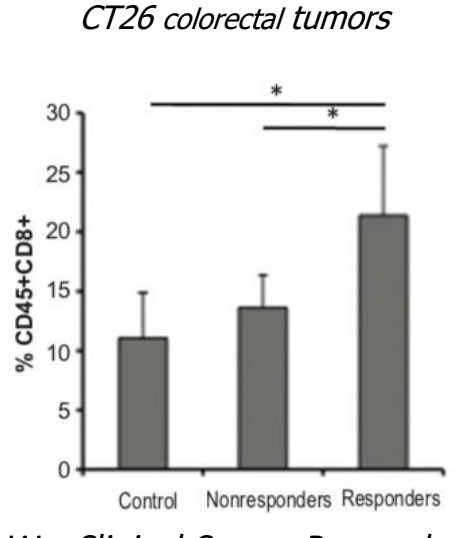


⁸⁹Zr-mAb : exemples d'études précliniques

- Approche d'imagerie PET pour la distribution de CD8 dans le corps entier
- Des études précliniques d'imagerie TEP avec un traceur spécifique de CD8 ont suggéré que cette méthode était une approche de sélection des patients.
 - Les biotraceurs CD8 nécessitent davantage d'investigations cliniques et de validation.

Réponse Négative / Réponse Positive





Anna Wu, Clinical Cancer Research, 2016

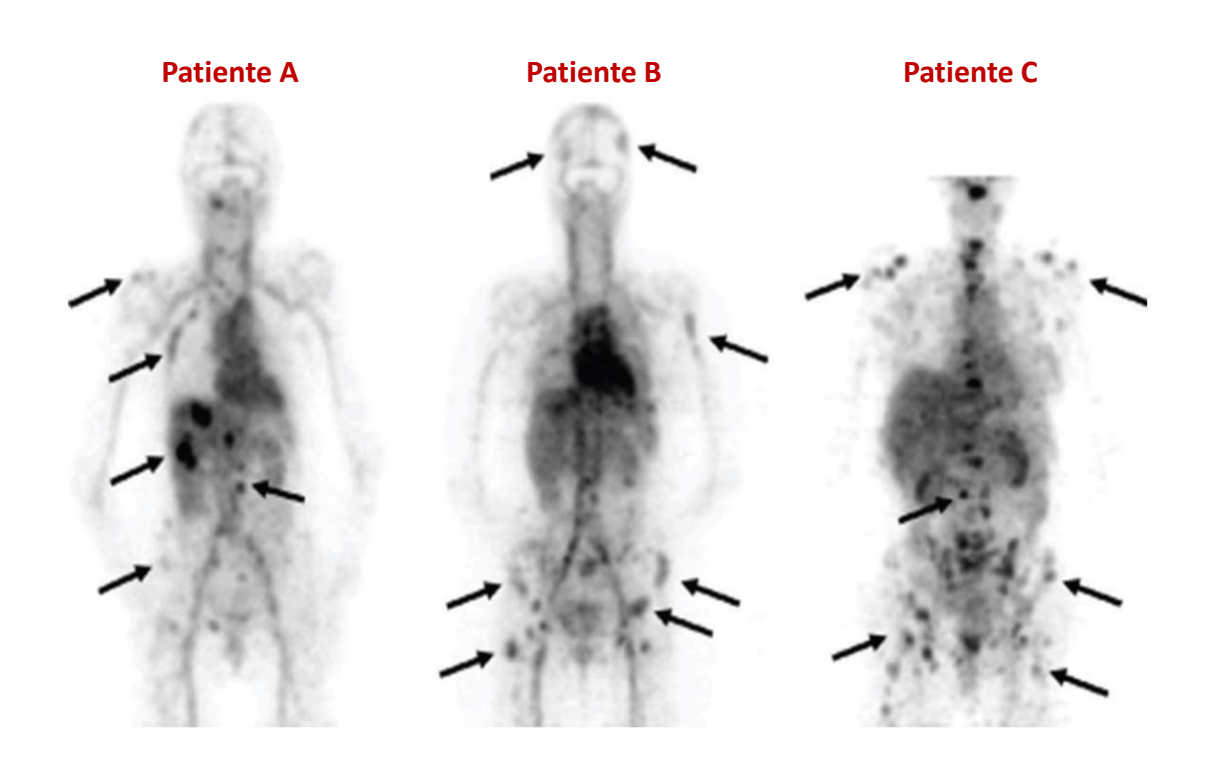




⁸⁹Zr-mAb : exemples d'études cliniques

⁸⁹Zr-Trastuzumab dans le cancer du sein

• 3 patientes :



E. C. Dijkers, et al., Clinical Pharmacology and Therapeutics.. 87,. 5, 586–592, 2010

⁸⁹Zr-trastuzumab uptake 5 days after the injection

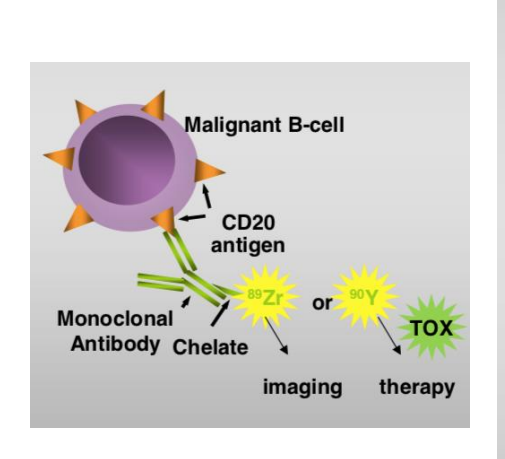


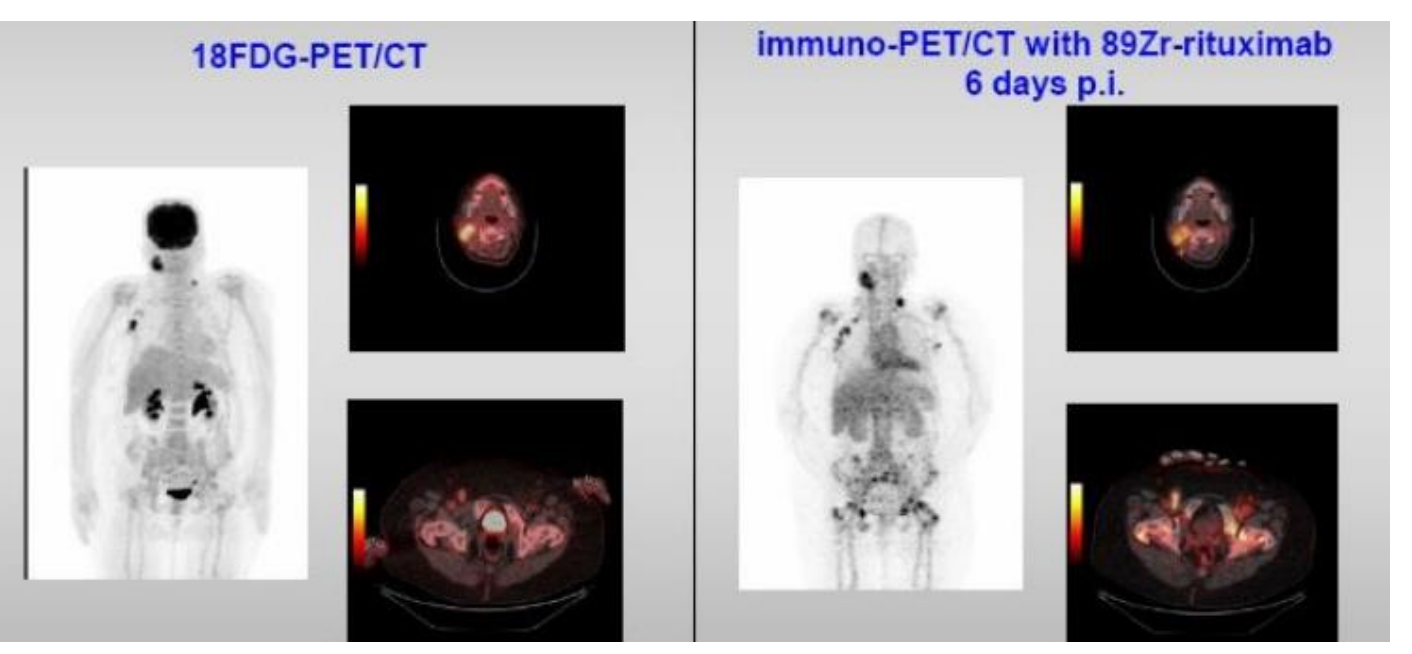


⁸⁹Zr-mAb : exemples d'études cliniques

⁸⁹Zr-Rituximab (anti-CD20) dans le lymphome B diffus

- Réservoir d'antigène : Lymphocytes B CD20 dans la circulation et la rate
- Excellente sensibilité de détection :





⁸⁹Zr-Ibritumomab-tiuxetan (Zevalin) dans le LNH indolent

La biodistribution du ⁸⁹Zr-Ibritumomab-tiuxetan permet de guider le dosage individuel de la RIV au ⁹⁰Y-Ibritumomab-tiuxetan (Zevalin) et de limiter la toxicité osseuse.





⁸⁹Zr-mAb : pièges et défis

Radiochimie

- Chélation du Zr peu stable avec relargage d'ions Zr⁴⁺ s'accumulant dans l'os minéral (dosimétrie osseuse).
- Immunoréactivité affectée si fixation du chélateur dans le domaine de fixation de l'antigène.

Dosimétrie

- ~0,5-0,6mSv/MBq (pour une activité injectée de ~70MBq), soit ~3 fois une TEP au ¹⁸F-FDG.
- Limitation pour la répétition des examens, mais compatible avec une utilisation chez l'homme.

Distribution de l'anticorps IgG

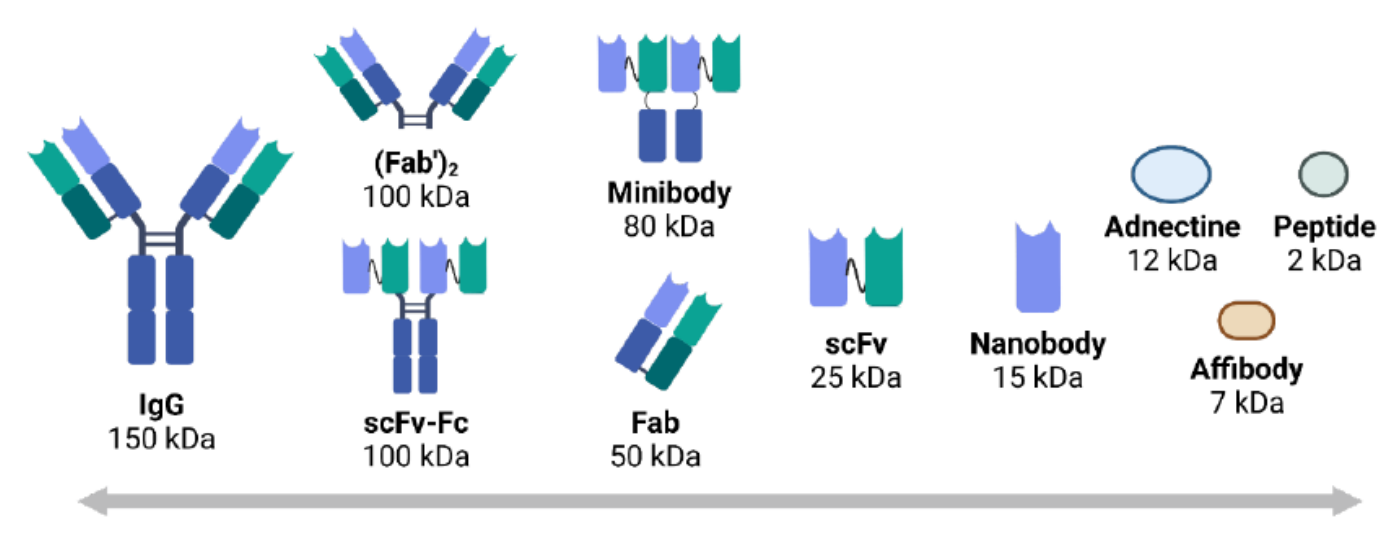
- Faible diffusion des anticorps dans la tumeur.
- Concentration élevée de l'anticorps dans le plasma.
- → Difficulté d'imager plusieurs biomarqueurs.





⁸⁹Zr-mAb : pièges et défis

Distribution de l'anticorps IgG : la solution? La diminution en taille des Ac?



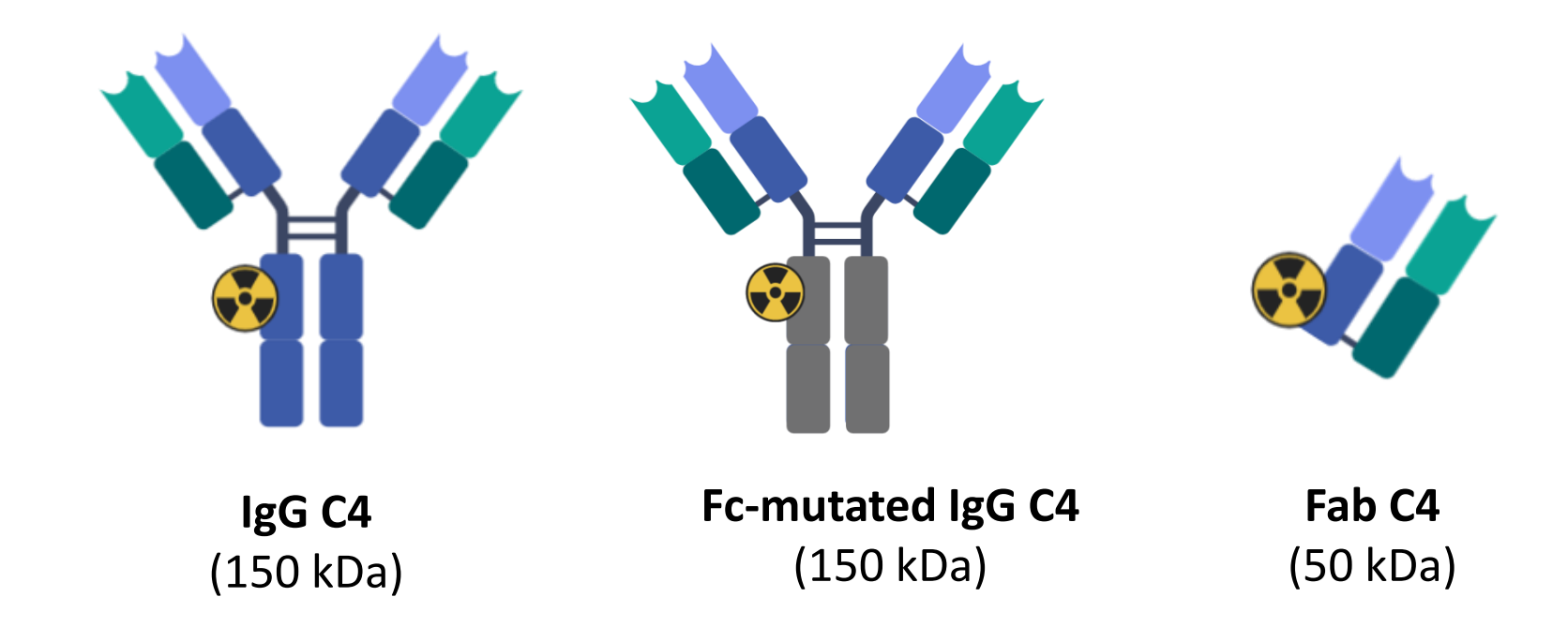
- ✓ Forte accumulation tumorale
- × Pénétration tumorale difficile
- × Elimination lente du sang
- × Imagerie quelques jours après injection

- ✓ Diffusion rapide dans la tumeur
- ✓ Pénétration tumorale profonde
- ✓ Elimination rapide du sang
- ✓ Imagerie quelques heures après injection
- × Faible accumulation tumorale
- × Forte rétention dans les reins



⁸⁹Zr-mAb : pièges et défis

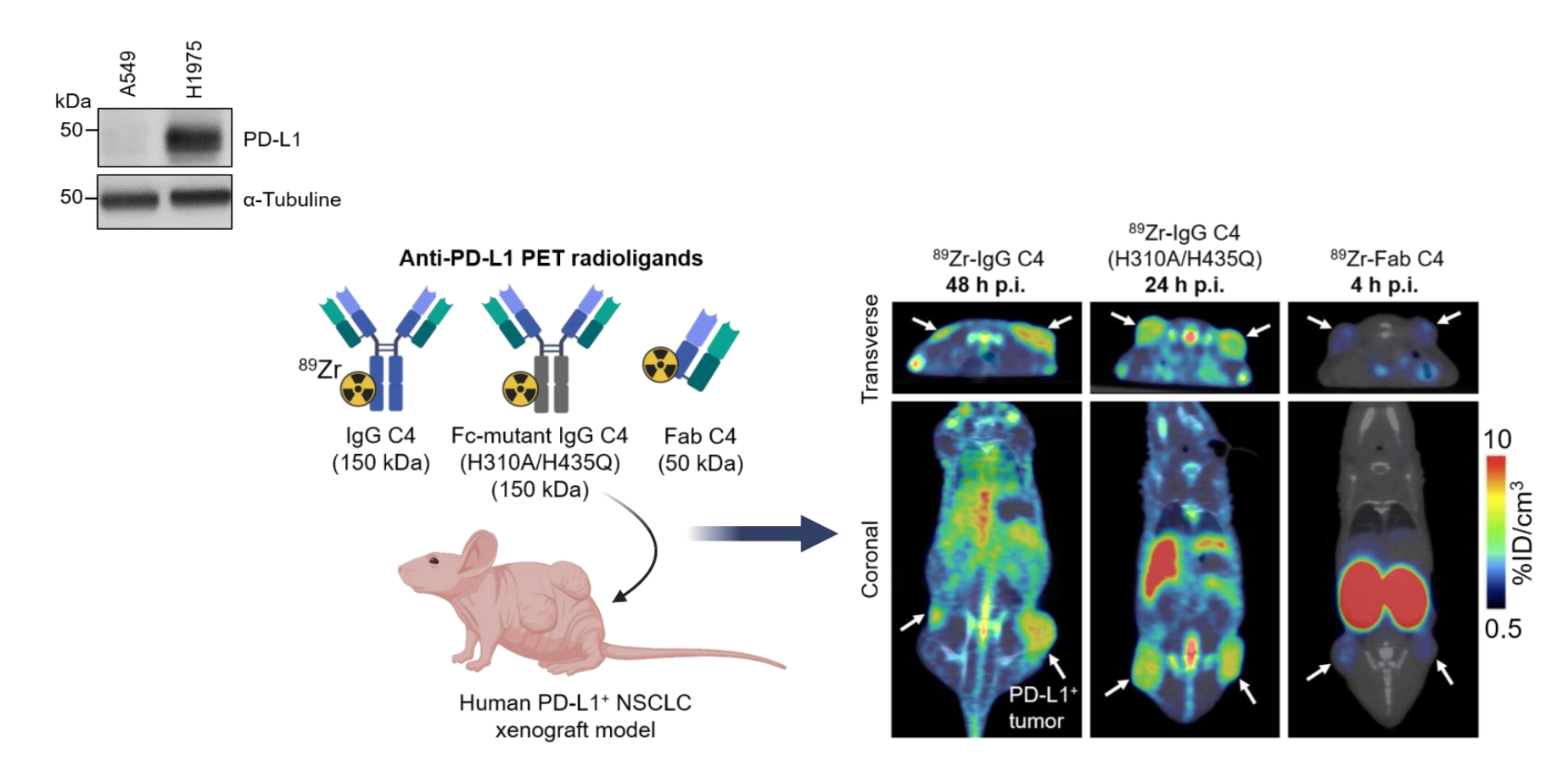
Comparaison PK entre les différents ligands à base d'anticorps anti-PDL-1 :





⁸⁹Zr-mAb: pièges et défis

Comparaison PK entre les différents ligands à base d'anticorps anti-PDL-1 :

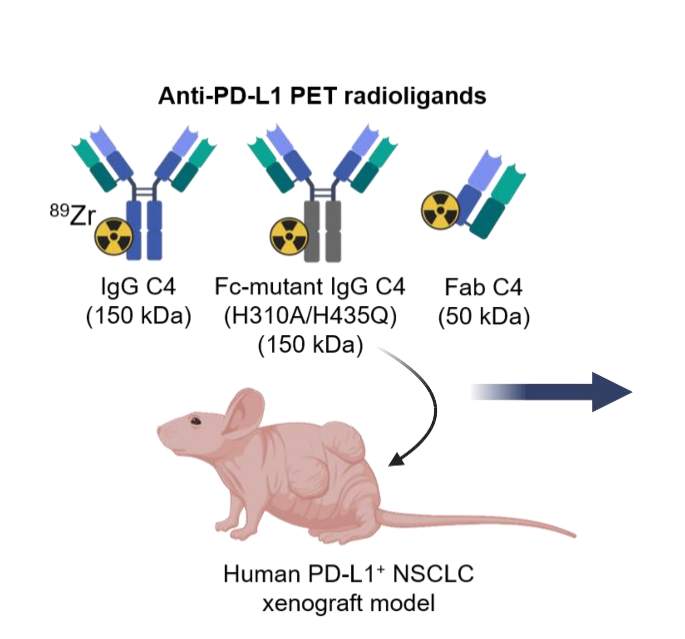


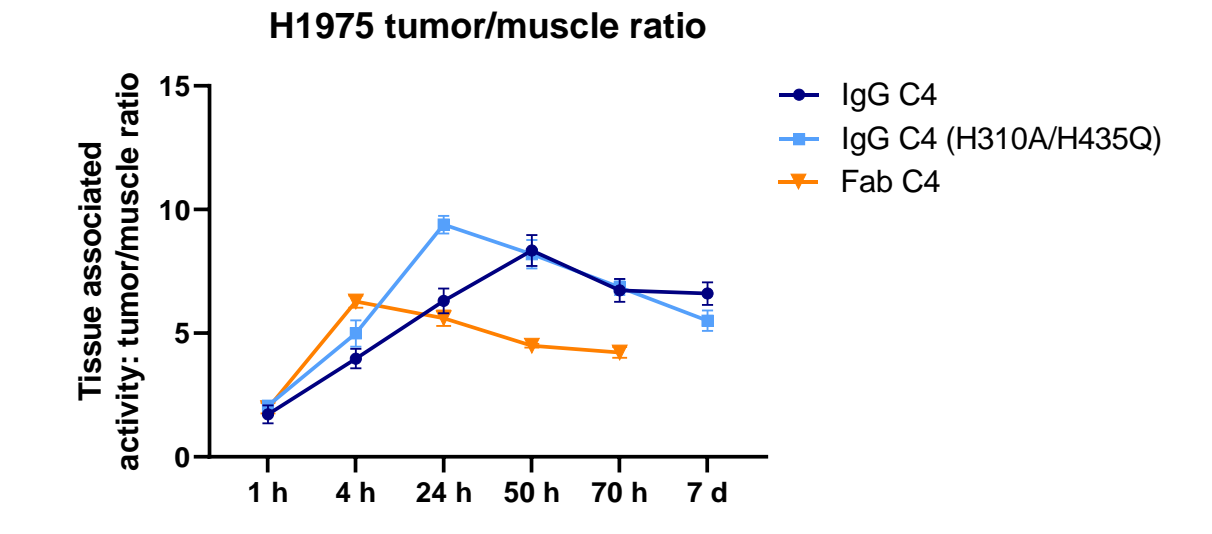




⁸⁹Zr-mAb: pièges et défis

Comparaison PK entre les différents ligands à base d'anticorps anti-PDL-1 :





"Maximum tumor-to-muscle ratio" (TMR):

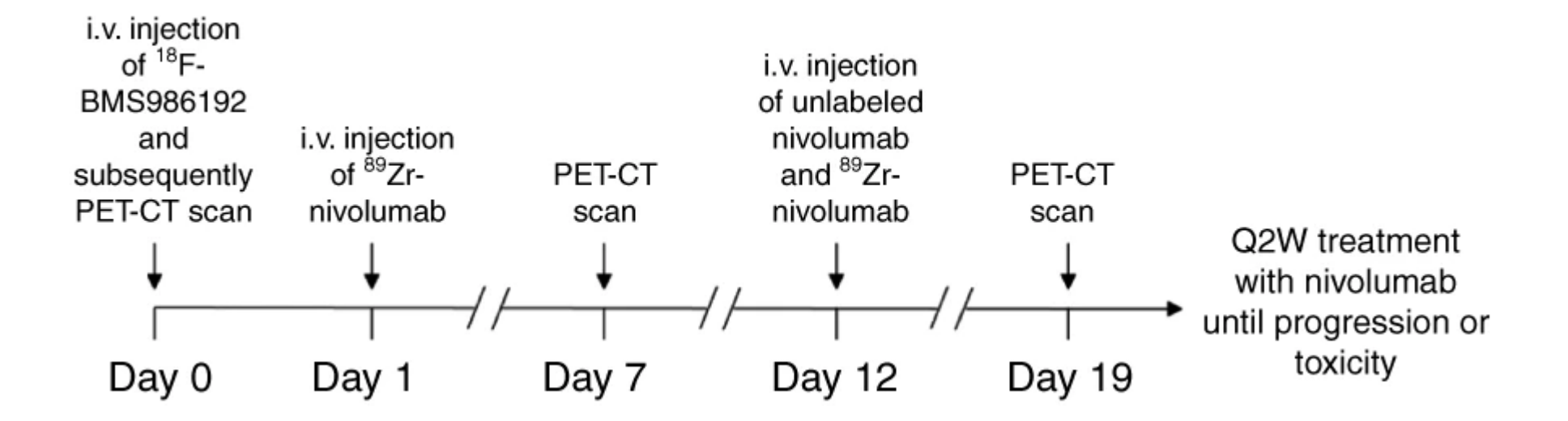
- √ 50 h post-injection (p.i.) pour le ⁸⁹Zr-IgG
- ✓ 24 h post-injection (p.i.) pour le ⁸⁹Zr-IgG mutated
- ✓ 4 h p.i. pour le 89Zr-Fab





⁸⁹Zr-mAb : pièges et défis

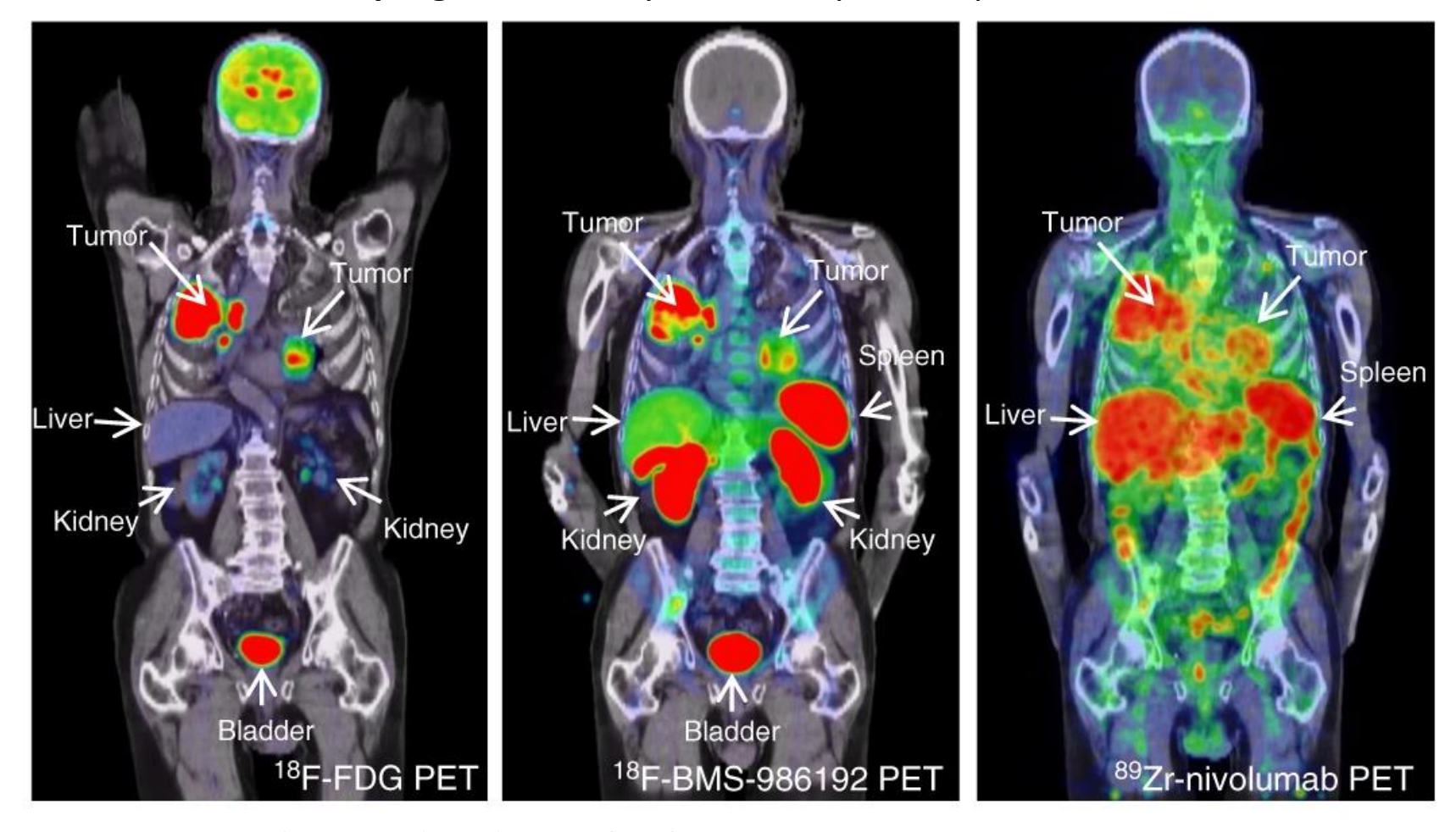
Distribution de l'anticorps IgG : minibody? Un exemple clinique





⁸⁹Zr-mAb: pièges et défis

Distribution de l'anticorps IgG : minibody? Un exemple clinique

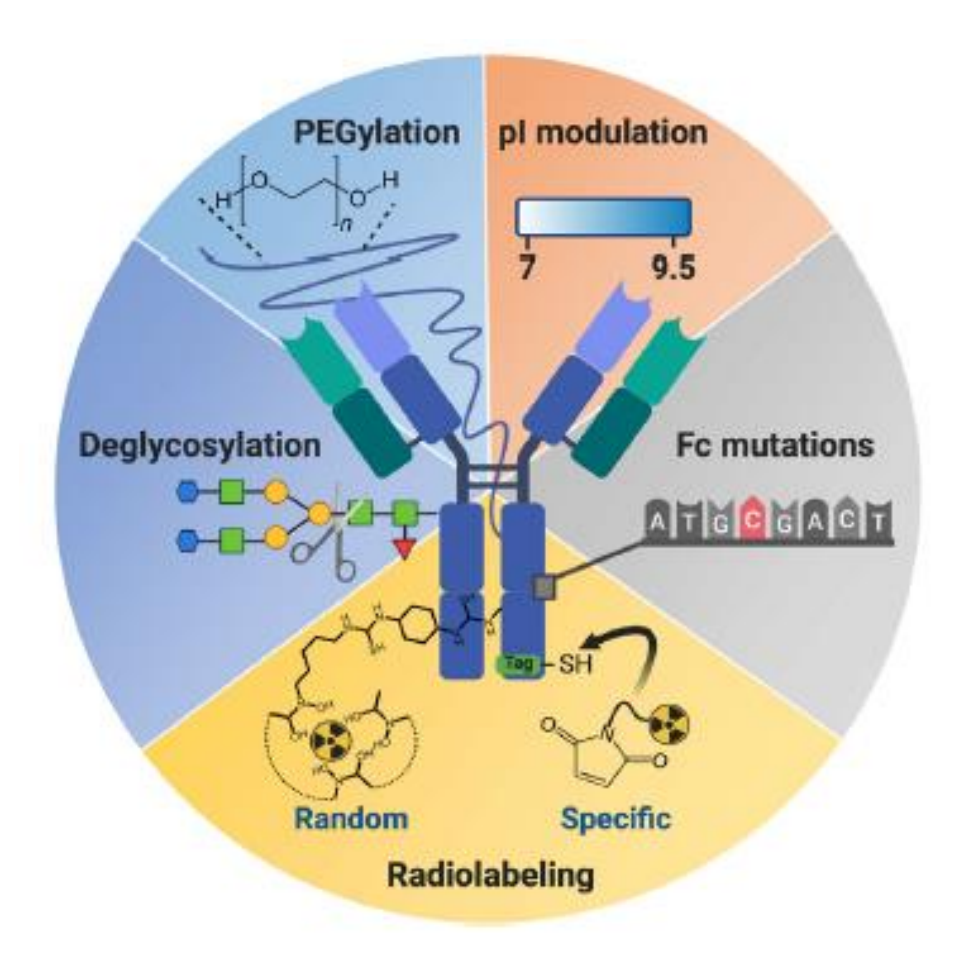






⁸⁹Zr-mAb : pièges et défis

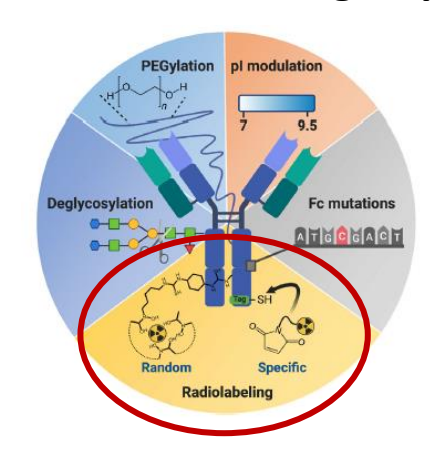
D'autres stratégies pour optimiser la PK des ligands à base d'anticorps



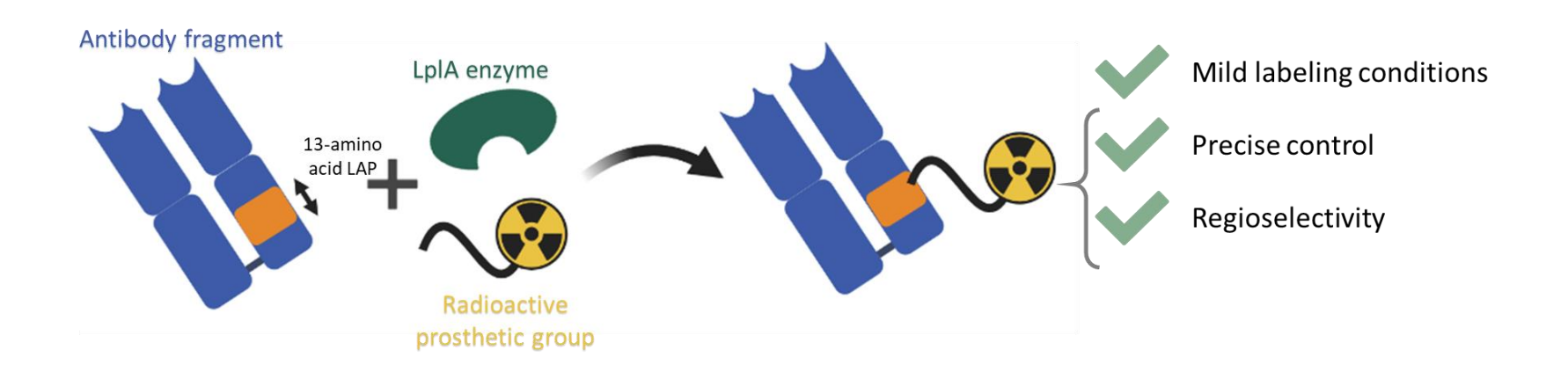


⁸⁹Zr-mAb : pièges et défis

D'autres stratégies pour optimiser la PK des ligands à base d'anticorps



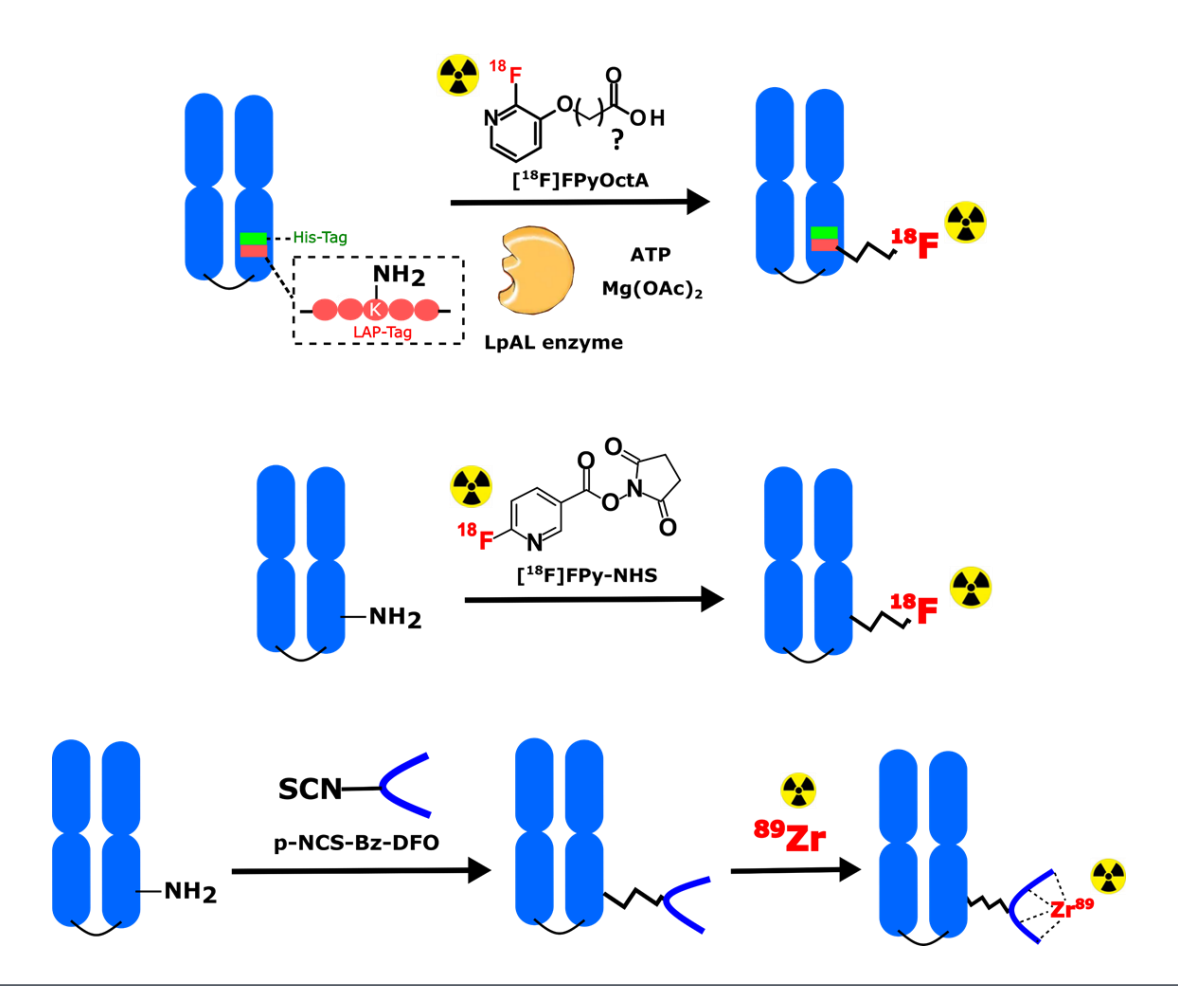
- Augmentation de l'utilisation de fragments d'anticorps en raison de leurs propriétés pharmacocinétiques intéressantes.
- La stratégie de radiomarquage la plus courante pour ces fragments repose sur la conjugaison aléatoire.
- Problème : manque de régiosélectivité et le rapport groupe prosthétique/anticorps est difficilement contrôlable.
- → La bioconjugaison enzymatique telle que la ligase de l'acide lipoïque (LpIA) représente une alternative intéressante dans le domaine de la radioimmuno-imagerie.





⁸⁹Zr-mAb : pièges et défis

D'autres stratégies pour optimiser la PK des ligands à base d'anticorps

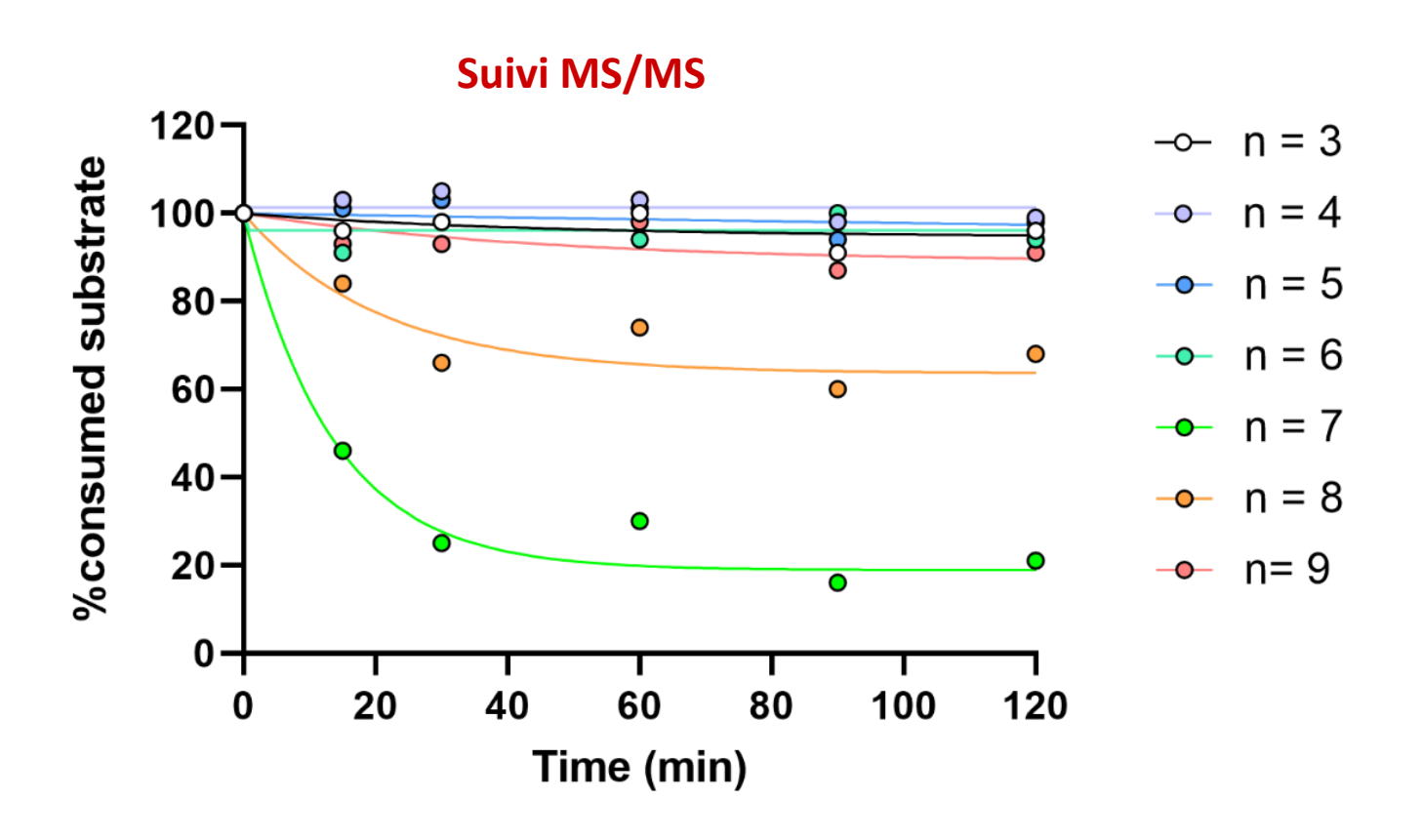






⁸⁹Zr-mAb: pièges et défis

I- Sélection des substrats de l'enzyme W371LPIA



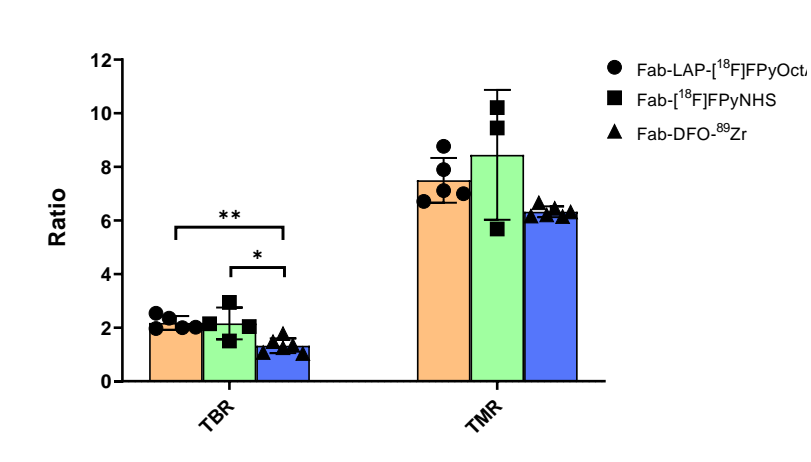


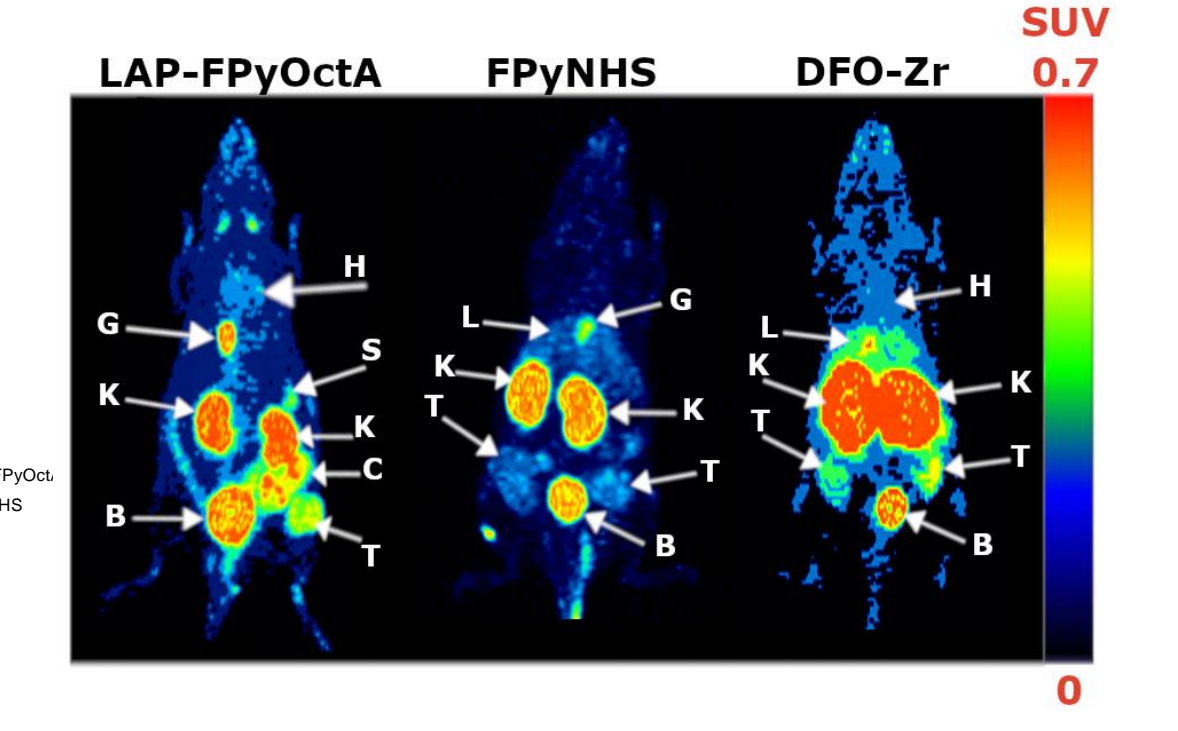


⁸⁹Zr-mAb: pièges et défis

II – Radiomarquage et injection

Radiolabeling Method	Specific activity (MBq/nmol)
Fab-LAP [¹⁸ F]FPyOctA LpIA	15.34 ± 4.01
Fab-[¹⁸ F]FPyNHS	1.21 ± 0.37
Fab-DFO[89Zr]Zr	7.31 ± 0.09
	0.34 ± 0.02



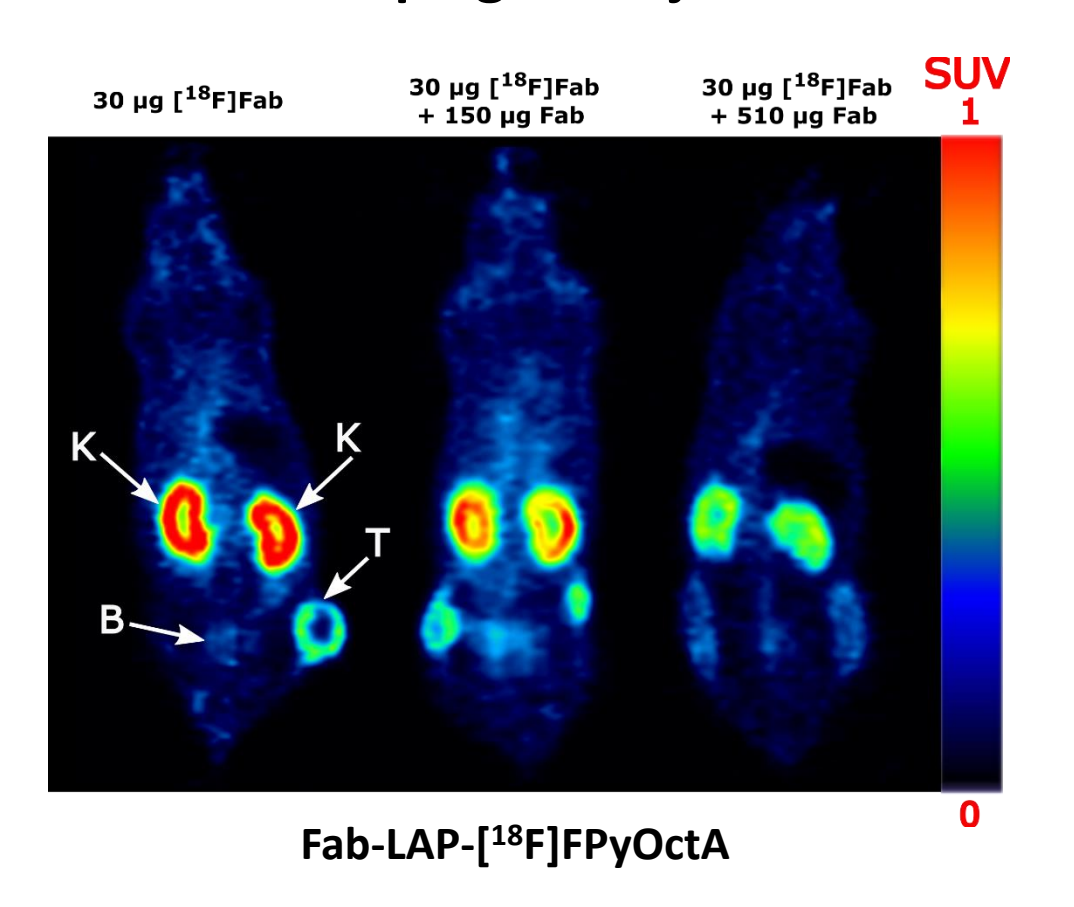


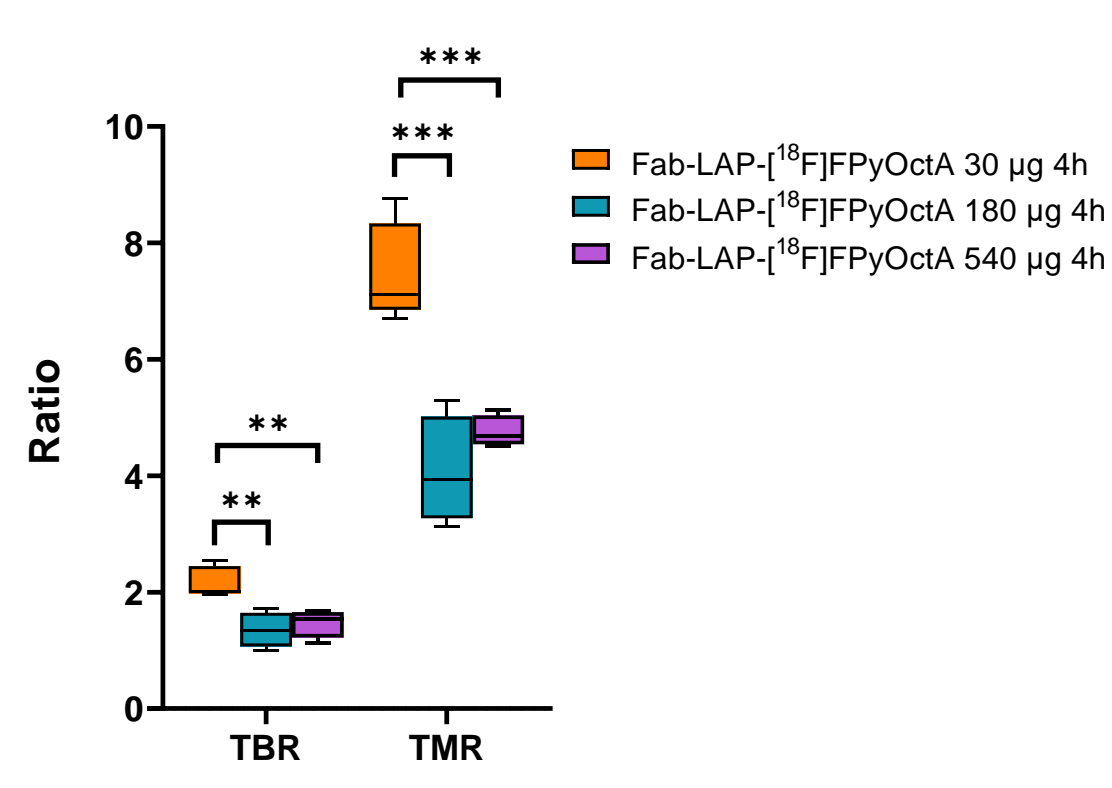
2. TEP d'Ac marqués: immunoTEP

BioMaps

⁸⁹Zr-mAb: pièges et défis

II – Radiomarquage et injection





2. TEP d'Ac marqués: immunoTEP



⁸⁹Zr-mAb: pièges et défis

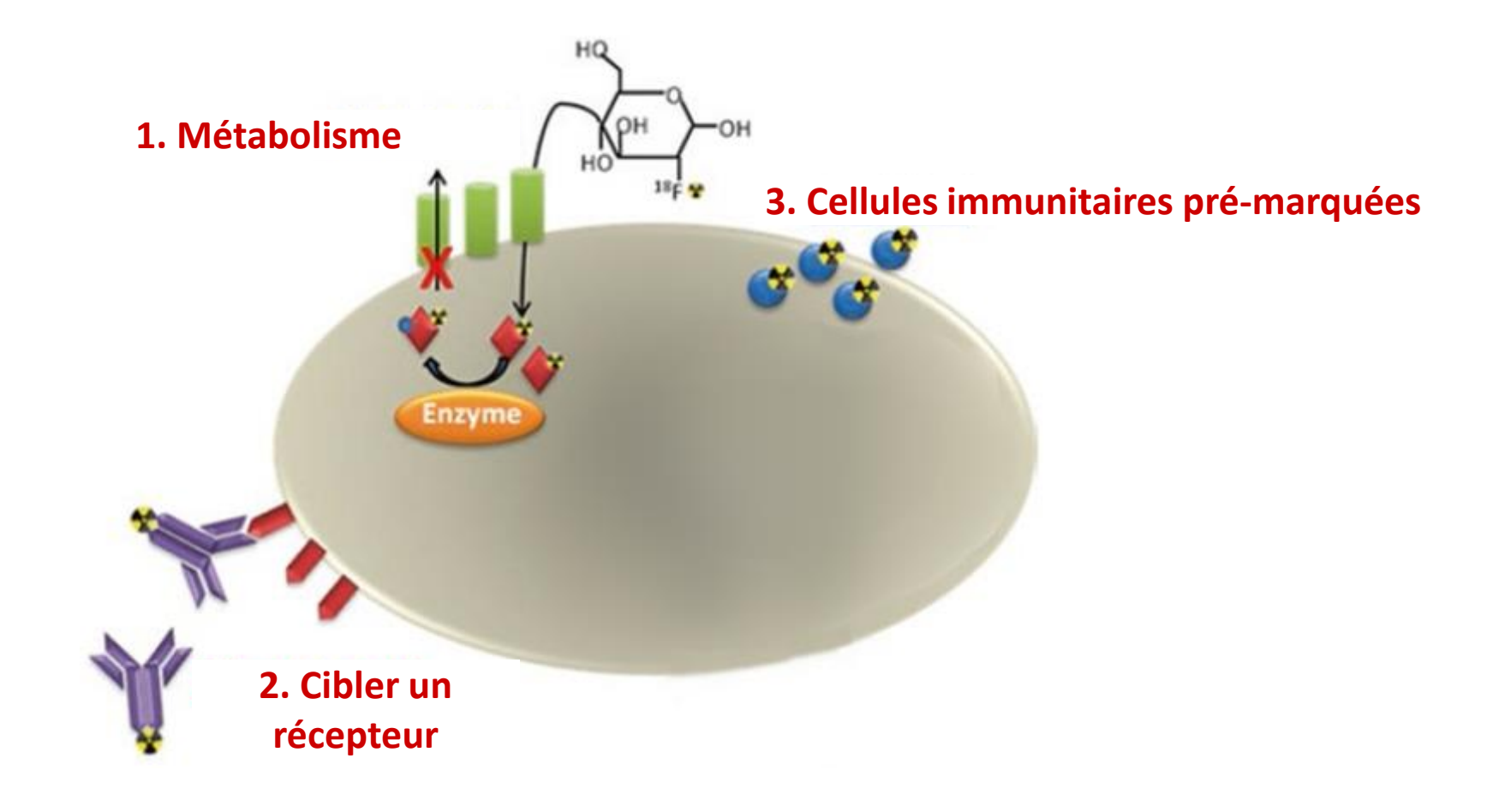
Biologie

- Réservoirs d'antigènes : fixation extra-tumorale comme le foie pour le Cetuximab ou le sang pour le Trastuzumab) cause de faux négatif en immuno-TEP (absence of tumor uptake at the imaging dose while there is tumor targeting at the therapeutic dose of unlabeled mAb), i.e discordance between ⁸⁹Zr-mAb biodistribution and therapeutic mAb biodistribution.
- Accumulation du ⁸⁹Zr-mAb par augmentation de perméabilité vasculaire en l'absence de fixation spécifique, cause de faux positif en immuno-TEP
- **Apparition d'anticorps anti Zr-mAb** (HACA human anti-chimeric antibody) empêchant de répéter l'examen (2/20 patients in the Zr-anti-CD44v6 2006 study)





Différentes grilles de lecture en TEP :





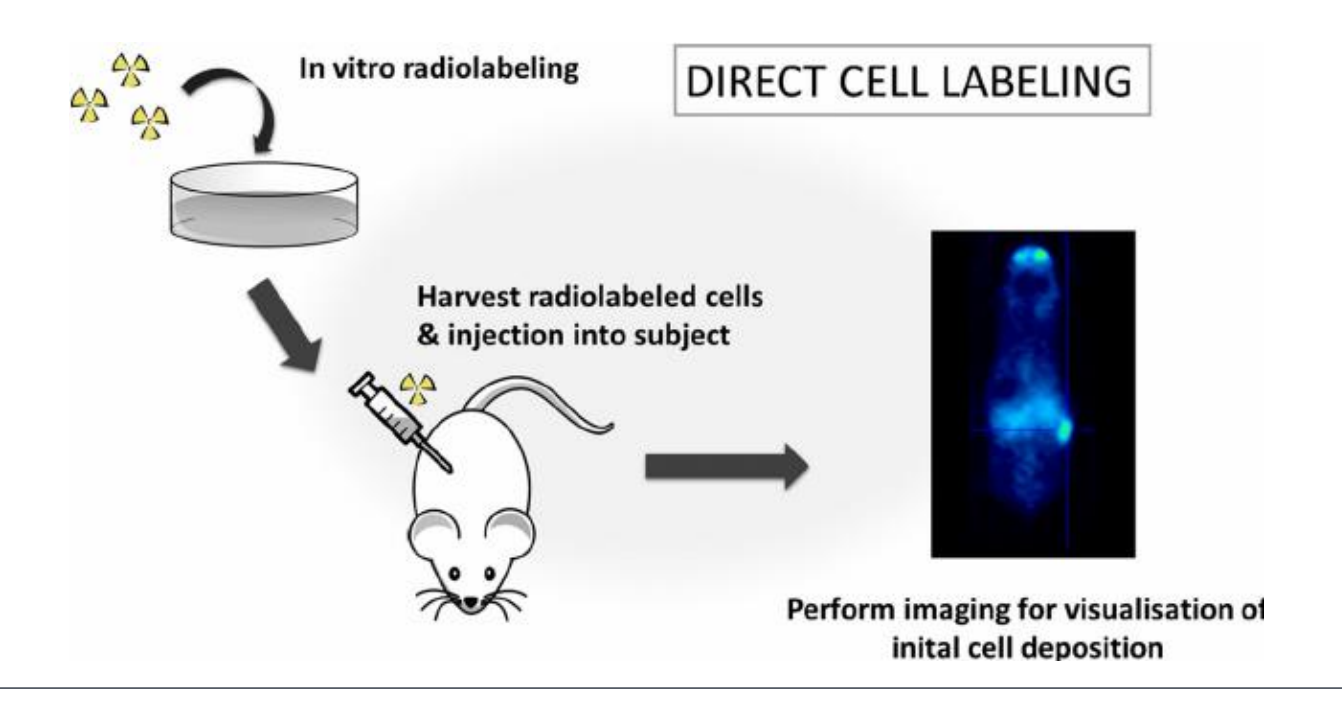


Contexte

- Développement des immunothérapies cellulaires (ex. du transfert adoptif de cellules T dans le mélanome métastatique).
- Intérêt de techniques de suivi des cellules thérapeutiques après transfert.

Principe

Marquage ex vivo de cellules immunitaires par des émetteurs de positons

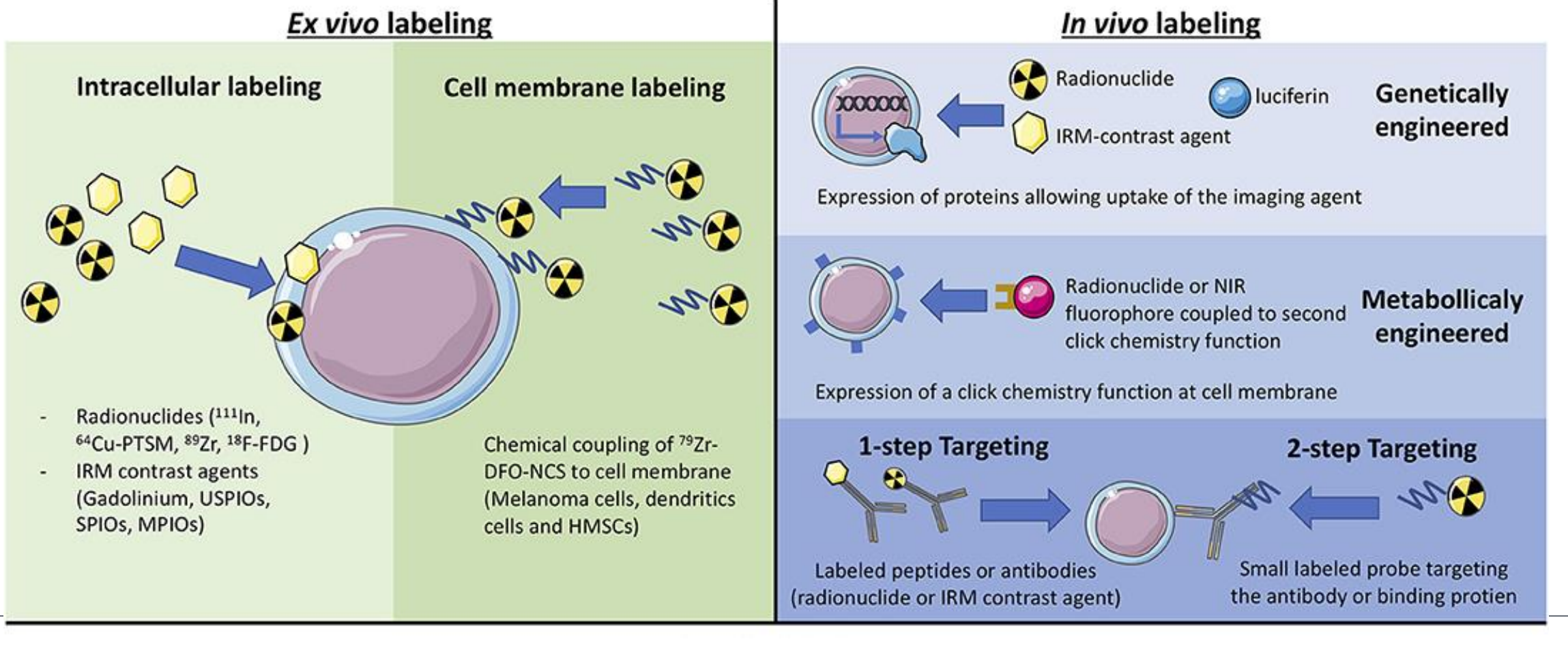






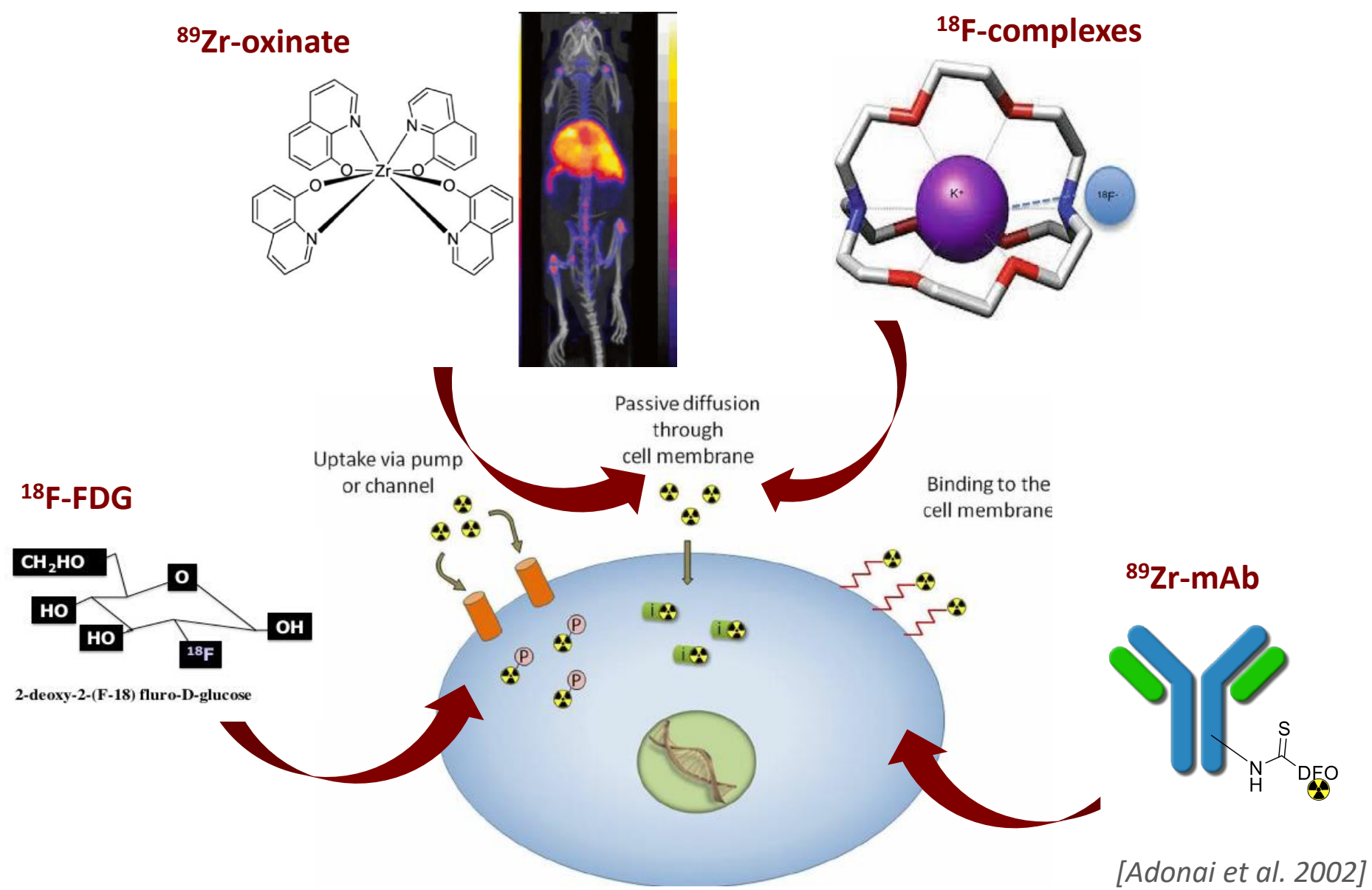
Contexte

- Développement des immunothérapies cellulaires (ex. du transfert adoptif de cellules T dans le mélanome métastatique).
- Intérêt de techniques de suivi des cellules thérapeutiques après transfert.











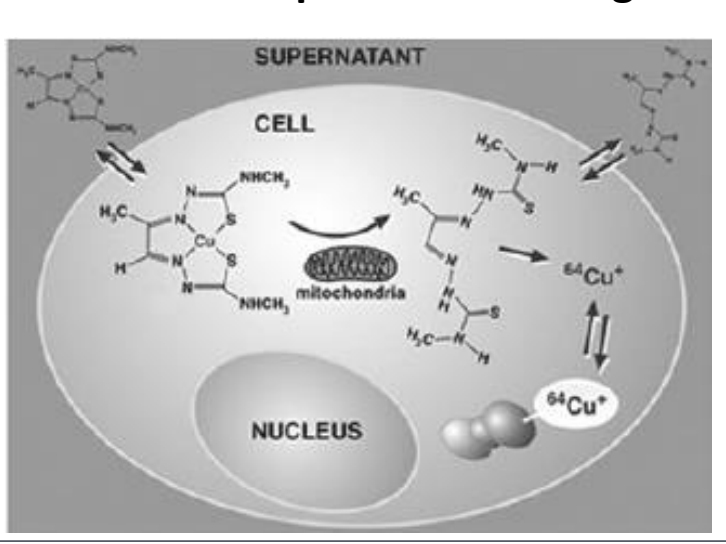
Méthode: incubation ex vivo avec du ⁶⁴Cu-PTSM:

- le complexe ⁶⁴Cu-PTSM lipophile diffuse à travers la membrane cellulaire
- le ⁶⁴Cu et le PTSM se dissocient dans le milieu intracellulaire

• le PTSM neutre diffuse à travers la membrane cellulaire alors que le ⁶⁴Cu⁺ chargé

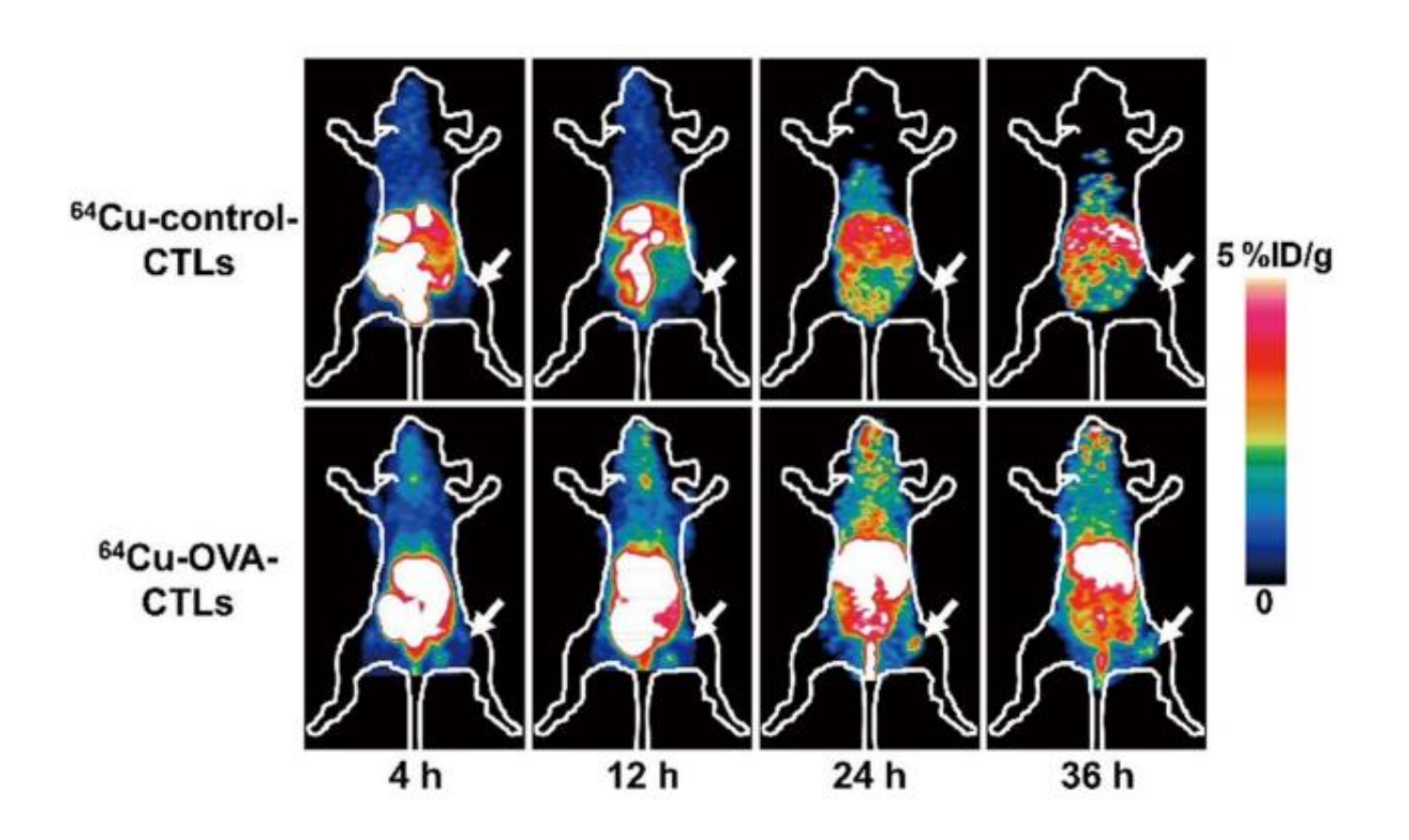
est piégé

⁶⁴Cu-pyruvaldehyde-bis(N4-methylthiosemicarbazone)





Exemple: migration de lymphocytes T marqués au ⁶⁴Cu chez le rongeur







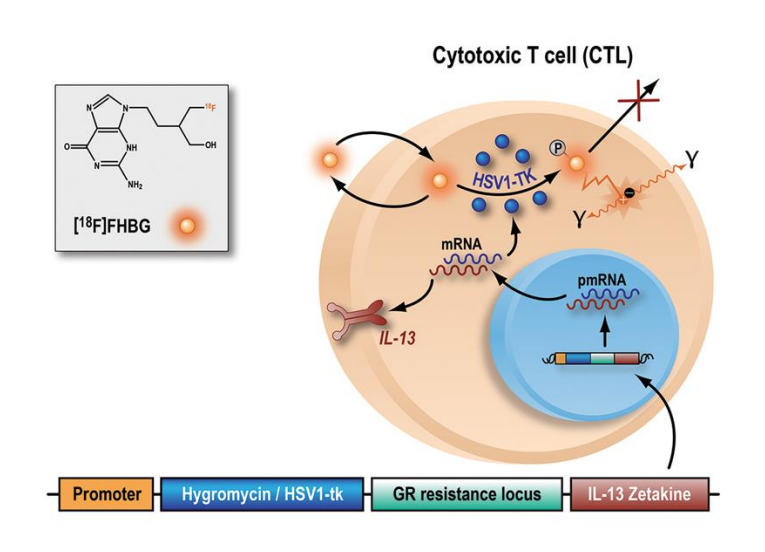
Exemple : CTL, gène rapporteur et imagerie TEP

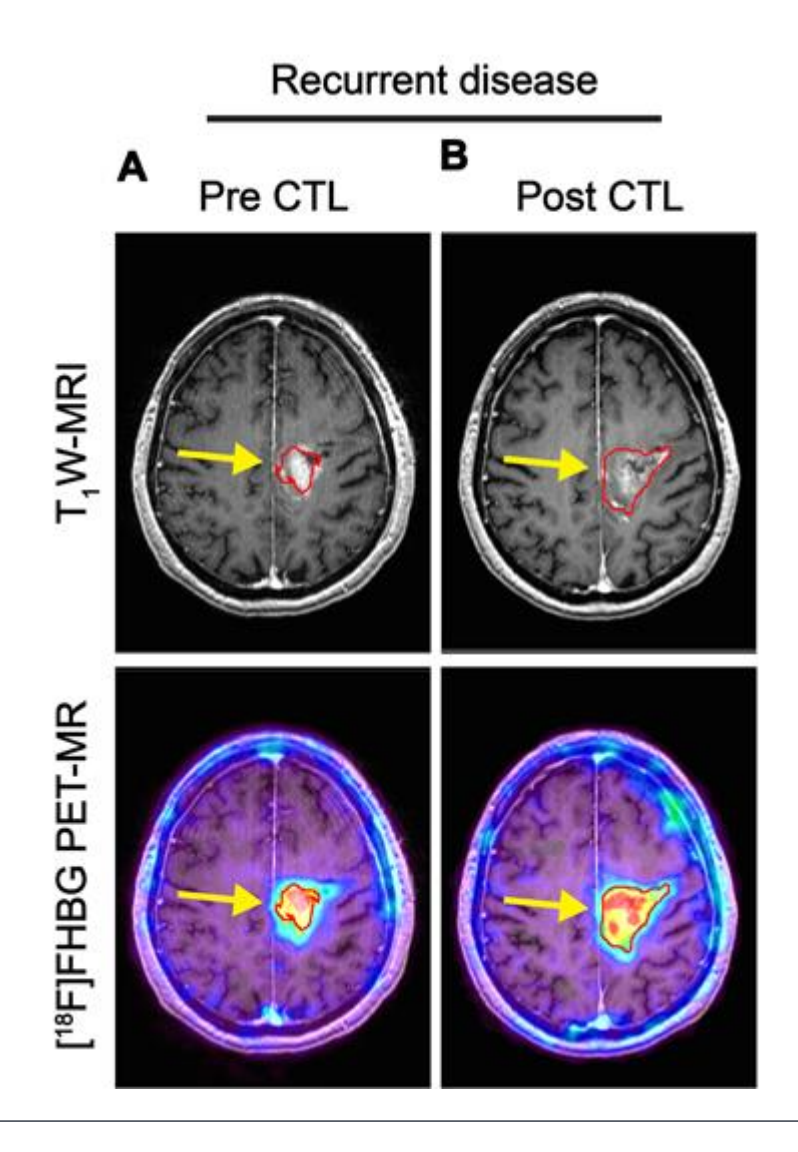
Tumor hydroxymethyl]butyl)guanine Cytotoxic T cell (CTL) Intra-cerebral GR resistance locus - IL-13 Zetaking Hygromycin / HSV1-tk Fused PET/MRI Fused PET/MRI [18F]FHBG [18F]FHBG





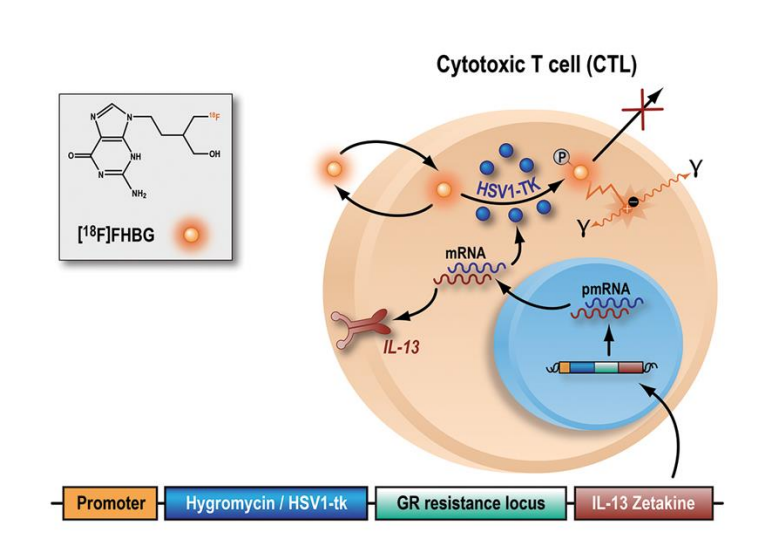
Exemple : CTL, gène rapporteur et imagerie TEP

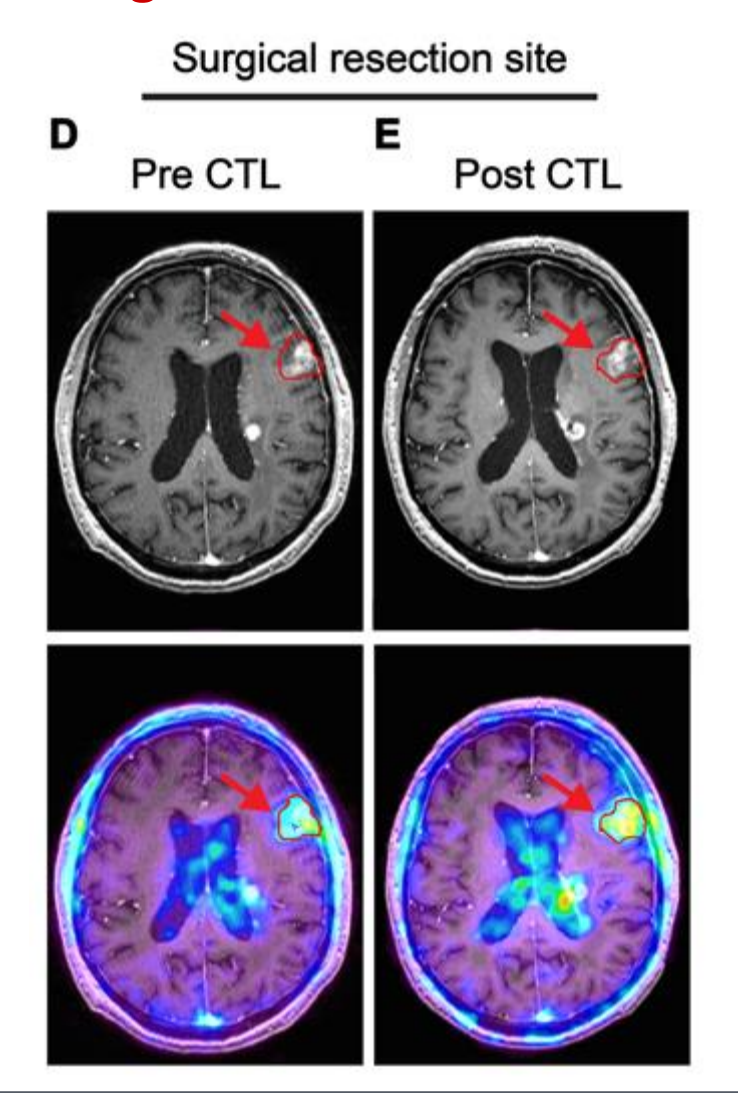






Exemple: CTL, gène rapporteur et imagerie TEP



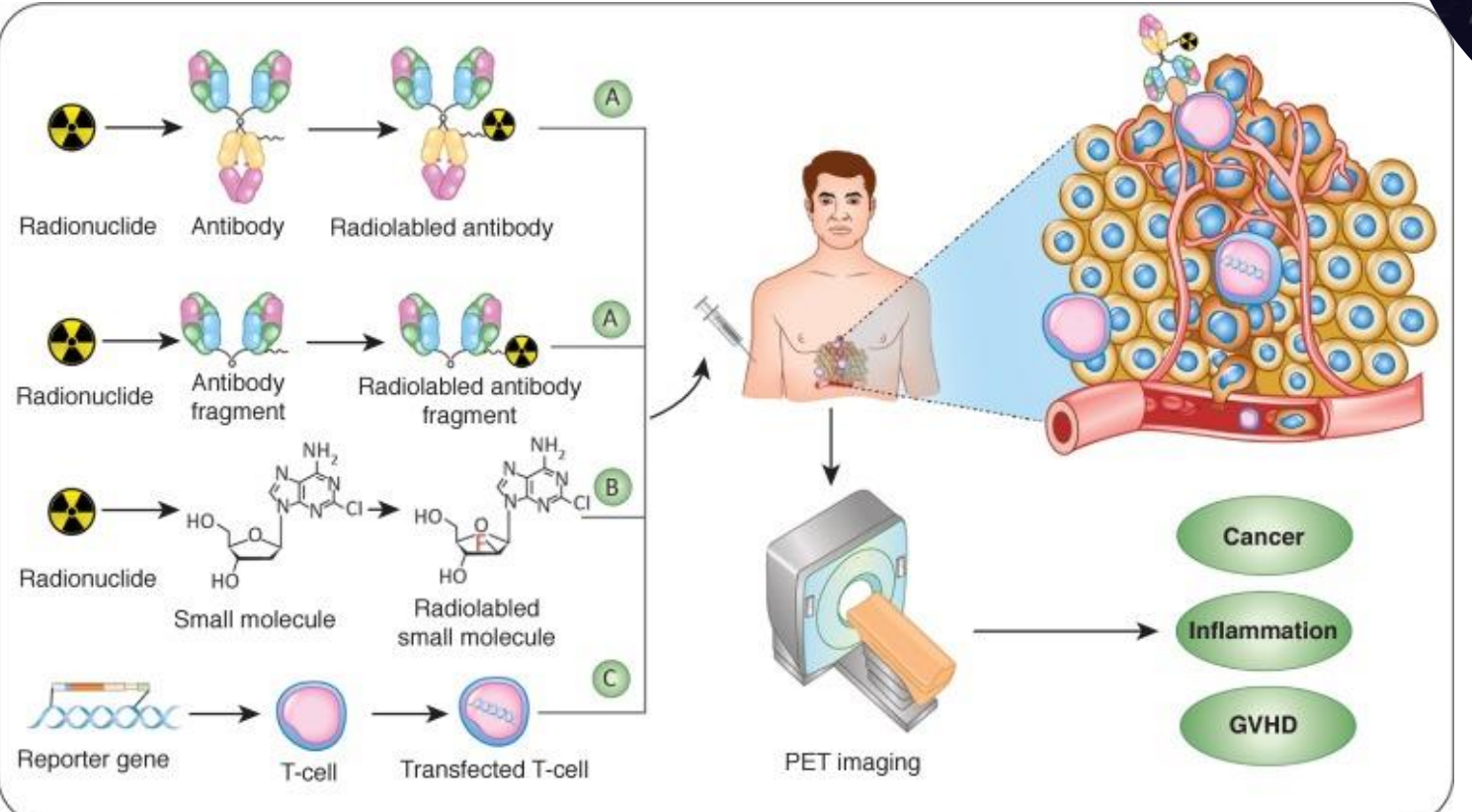




En résumé...





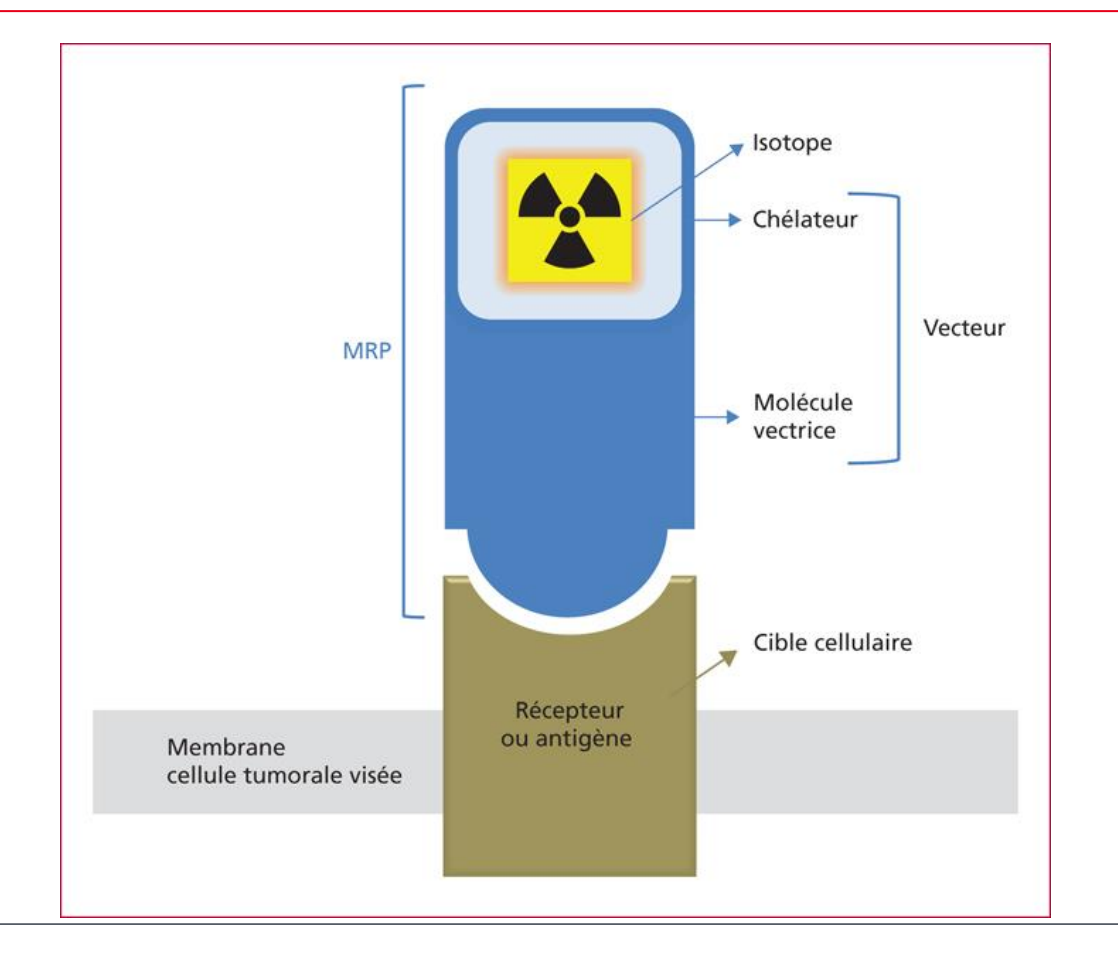






Radiothérapie Interne Vectorisée

Une technique de traitement du cancer qui utilise des molécules vectrices pour délivrer spécifiquement des radiations ionisantes directement aux cellules tumorales.







Sources radioactives non scellées



Radio-isotopes

Diagnostic

- *gamma* > imagerie scintigraphique: Tc-99m,I-125, In-111...
- **beta** + > imagerie du positron (PET): F18, Ga-68, Zr-89...

<u>Thérapeutique</u>

- *alpha*: ra-223, Ac-225, ...
- **beta** -: I-131, Y-90, Lu177...



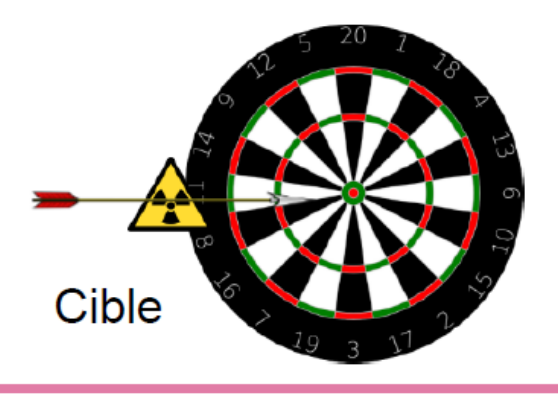
Vecteur / traceur

Vecteur / traceur

- ✓ Anticorps / fragments
- ✓ Sels
- ✓ Peptides
- ✓ Cellules
- ✓ Etc..



Médicament radiopharmaceutique



<u>Visualisation</u> et/ou <u>traitement</u>

Processus biologiques, moléculaires, cellulaires (métabolisme glucidique, hypoxie, perfusion, néo-angiogenèse, prolifération, etc...) Récepteurs, protéines, etc...





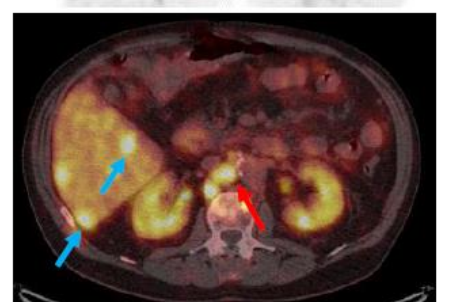
Imagerie Pré-Thérapeutique

⁶⁸Ga-DOTATATE PET/CT

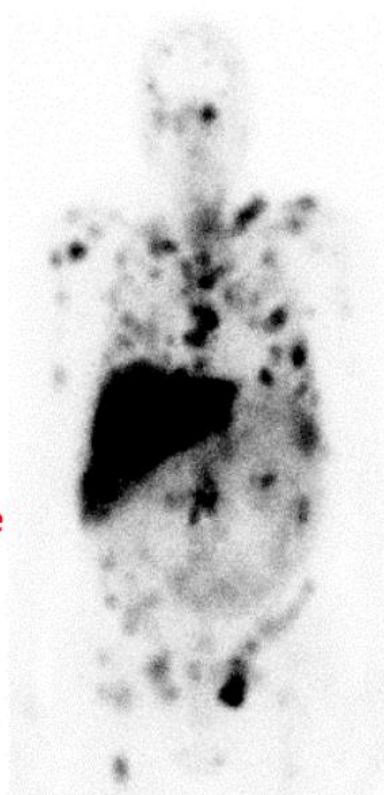
- Sélection patients
- Niveau d'expression cibles







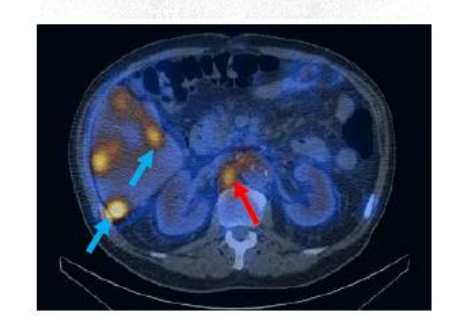




¹⁷⁷Lu-DOTATATE thérapie et imagerie

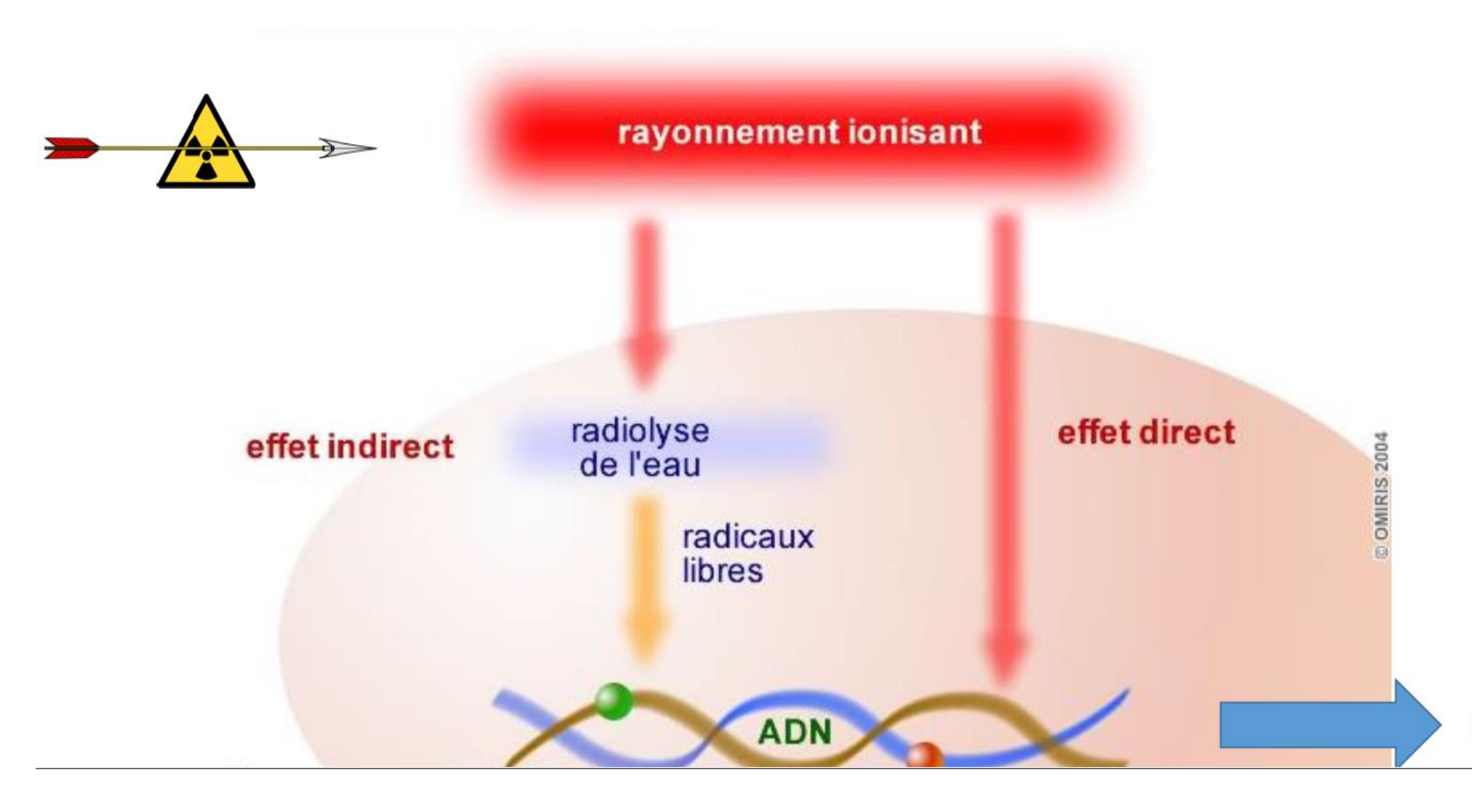
- Co-émission gamma
- Pour imagerie SPECT
- Post thérapeutique











Mort Cellulaire





Quelques données sur la RIV en France et essais cliniques

3 essais cliniques « multiplexés »

- 177Lu-PSMA / 177Lu-J591 : ciblage d'un récepteur unique mais avec deux ligands différents
- ²²⁵Ac-PMSA / ¹⁷⁷Lu-PSMA : multiplexage des isotopes
- 161Tb-DOTATOC / 177Lu-DOTATOC : multiplexage des isotopes

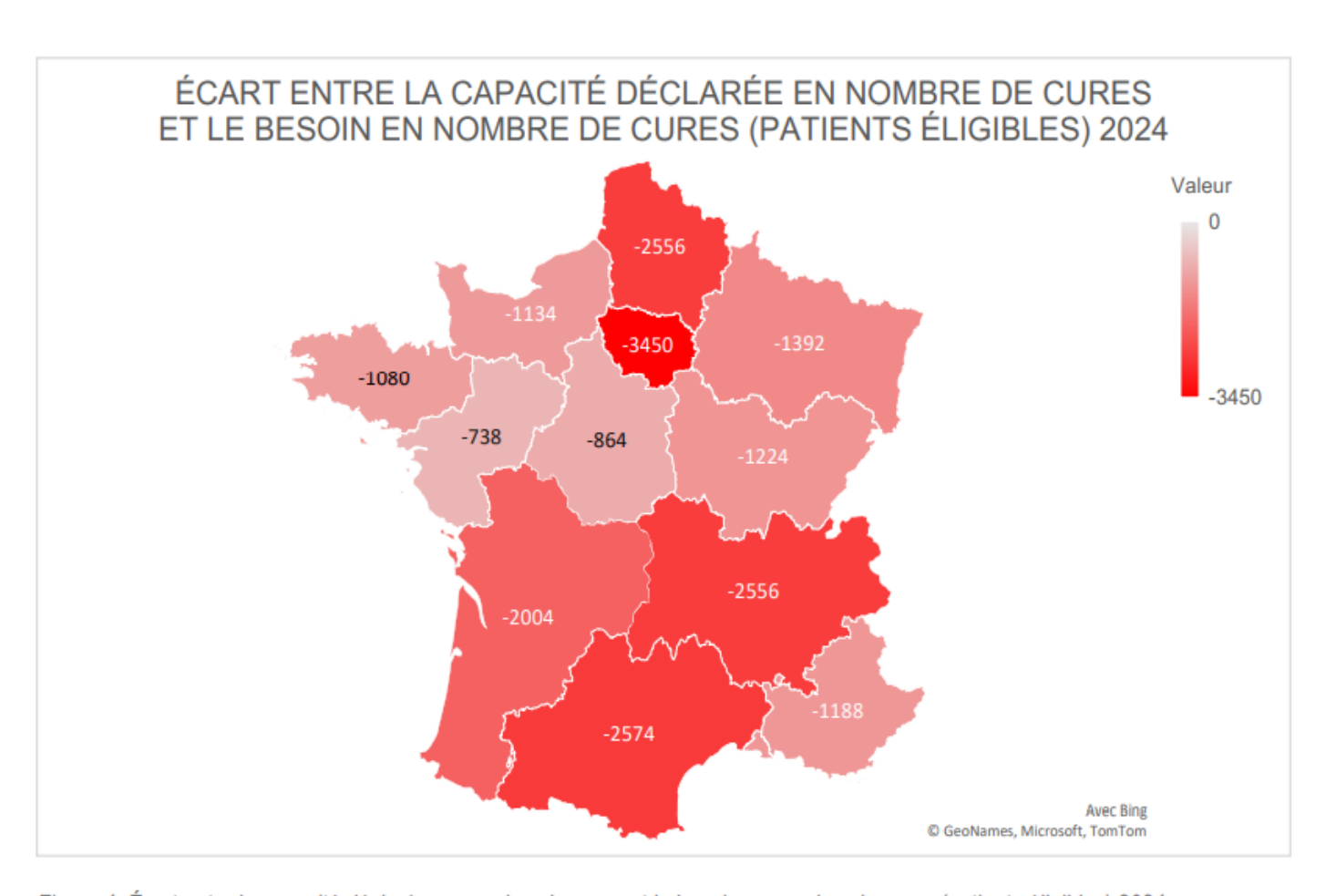
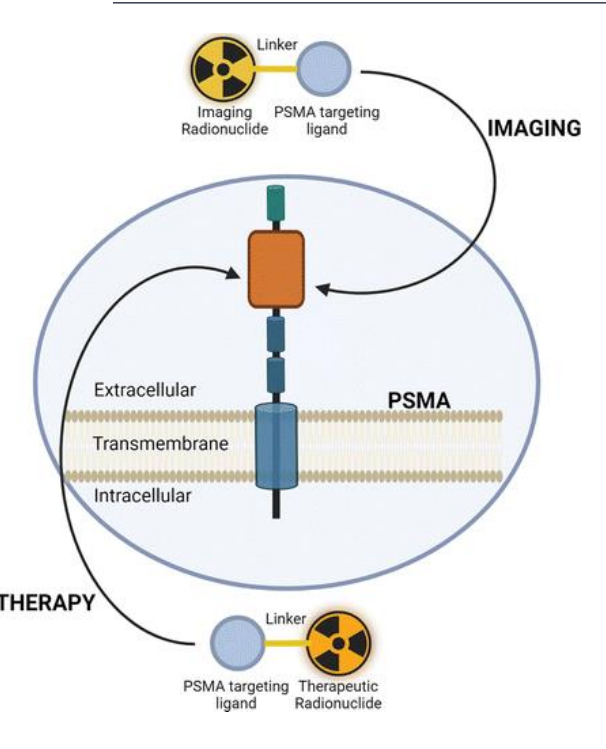


Figure 4. Écart entre la capacité déclarée en nombre de cures et le besoin en nombre de cures (patients éligibles) 2024





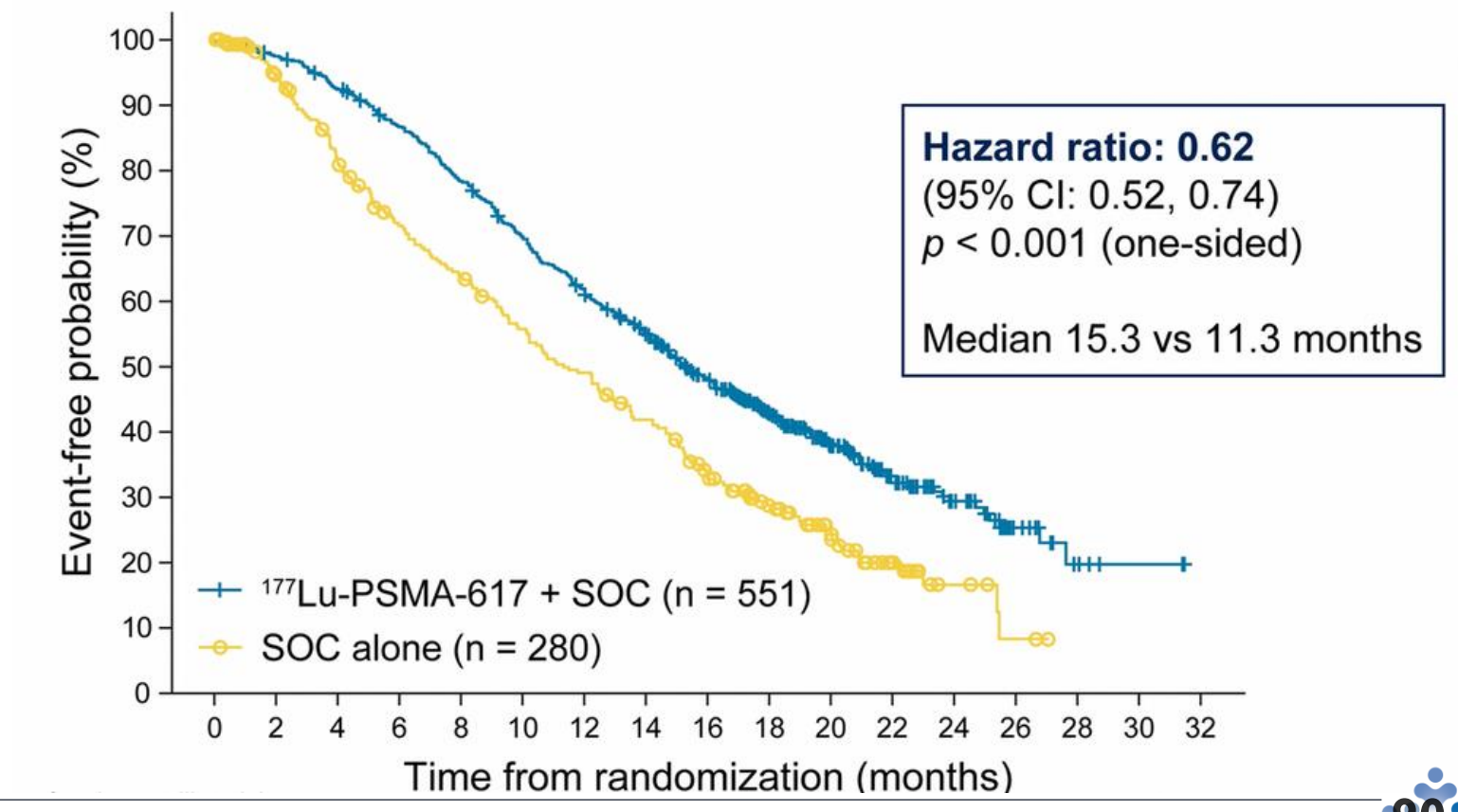


→ [177Lu]Lu-PSMA radioligand therapy in mCRPC

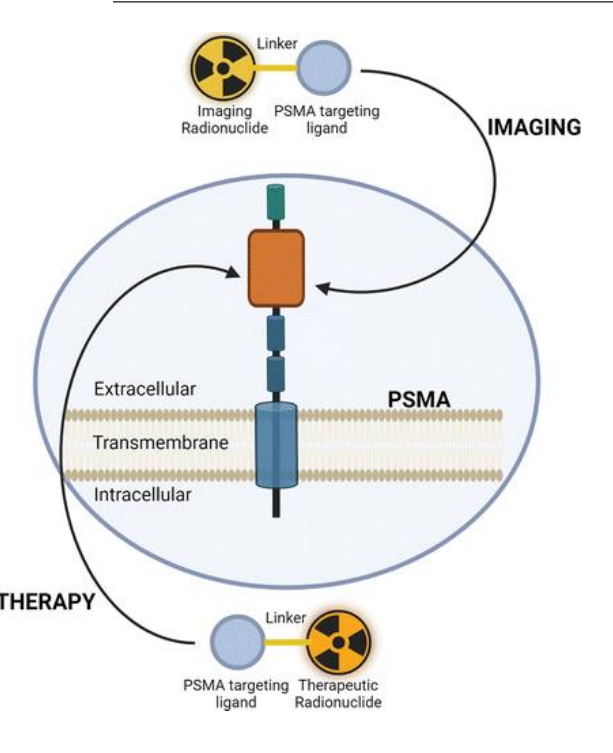
PSMA-Positive mCRPC on PET/CT with [68Ga]Ga-PSMA

Overall therapy well tolerated

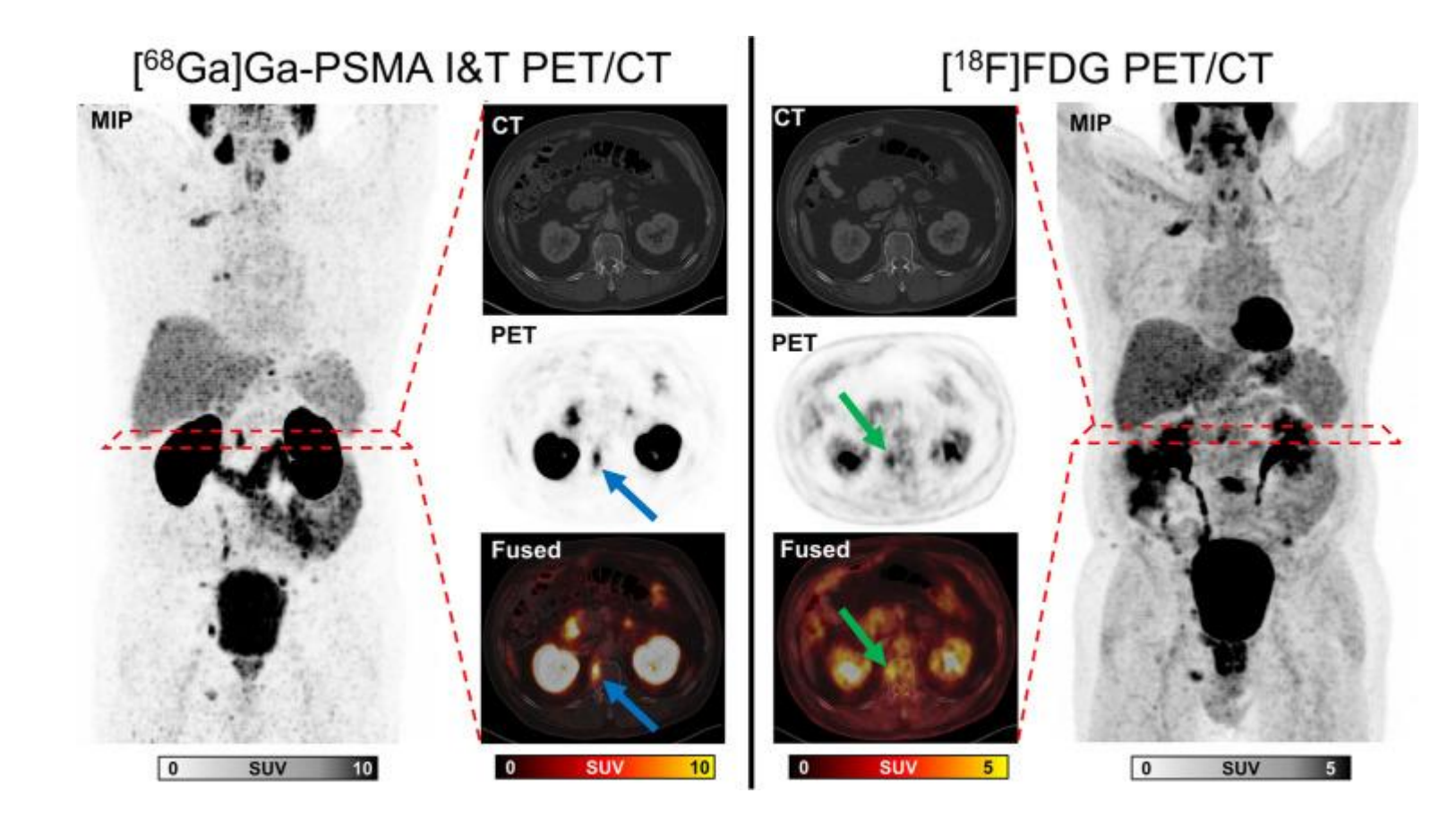
Approved by the FDA in March 2022 and by the European Commission in December 2022







→ PET imaging of PSMA is crucial for patient selection



Man eligible according to VISION criteria (VISION+) but excluded due to TheraP criteria (TheraP-)



